



دانشگاه صنعتی اصفهان

دانشکده علوم ریاضی

# بازی شلیک چیپ و $b$ -رنگ آمیزی گراف‌ها

پایان‌نامه کارشناسی ارشد ریاضی محض

رامین جوادی جورتانی

استاد راهنما

دکتر بهناز عمومی



دانشگاه صنعتی اصفهان

دانشکده علوم ریاضی

پایان نامه کارشناسی ارشد ریاضی محض آقای رامین جوادی جورجانی  
تحت عنوان

## بازی شلیک چیپ و $b$ -رنگ آمیزی گراف‌ها

در تاریخ ۱۳۹۶/۶/۸ توسط کمیته تخصصی زیر مورد بررسی و تصویب نهائی قرار گرفت.

دکتر بهنazar عمومی

۱— استاد راهنمای پایان نامه

دکتر سید عبدالله محمودیان

۲— استاد مشاور پایان نامه

دکتر غلامرضا امیدی

۳— استاد داور ۱

دکتر بیژن طائری

۴— استاد داور ۲

دکتر رسول نصر اصفهانی

سرپرست تحصیلات تکمیلی دانشکده



کلیه حقوق مادی مترتب بر نتایج مطالعات،  
ابتكارات و نوآوری‌های ناشی از تحقیق موضوع  
این پایان‌نامه متعلق به دانشگاه صنعتی  
اصفهان است.

بسم الله الرحمن الرحيم

هست کلید در گنج حکیم

تو مگو ما را ببر آن شه بار نیست  
با کریمان کارها دشوار نیست

حضرت مولانا

# فهرست مطالب

۴

## قسمت اول بازی شلیک چیپ

۵

### فصل ۱ شلیک چیپ روی گراف‌های غیر جهت‌دار

۶

۱-۱ تعاریف و مقدمات .....

۸

۲-۱ شلیک چیپ و گریدویدهای با تکرار .....

۱۱

۳-۱ پایان‌پذیری .....

۱۴

۴-۱ طول بازی .....

۱۸

### فصل ۲ بازی شلیک چیپ روی گراف‌های جهت‌دار

۱۹

۱-۲ تعاریف و مقدمات .....

۲۱

۲-۲ پایان‌پذیری .....

۲۲

۳-۲ ماتریس لابلسین جهت‌دار .....

۲۵

۴-۲ گشت‌های تصادفی روی گراف‌های جهت‌دار .....

۳۳

۵-۲ دوره تناوب و طول بازی .....

۴۰

۶-۲ چرتکه احتمالاتی .....

۴۴

### فصل ۳ بازی دلا رو گروه بحرانی

۴۵

۱-۳ تعاریف و مقدمات .....

۴۶

۲-۳ آرایش‌های بحرانی .....

۵۰

۳-۳ گروه بحرانی یک گراف .....

۵۲

۴-۳ چندجمله‌ای نات و گروه بحرانی .....

۵۹

۵-۳ بررسی ساختاری گروه بحرانی .....

## قسمت دوم $b$ -رنگ آمیزی گراف‌ها

۶۵	فصل ۴ $b$ -رنگ آمیزی حاصل ضرب دکارتی گراف‌ها
۶۶	۱-۴ عدد $b$ -رنگی گراف $K_m \square G$
۶۷	۲-۴ عدد $b$ -رنگی گراف $K_m \square C_n$
۷۰	۳-۴ عدد $b$ -رنگی گراف $K_m \square P_n$
۷۴	۴-۴ عدد $b$ -رنگی گراف $K_n \square K_n$
۸۲	فصل ۵ $b$ -رنگ آمیزی گراف‌های کنسر
۸۳	۱-۵ طرح‌های سه‌تایی اشتاینر
۸۶	۲-۵ عدد $b$ -رنگی گراف‌های کنسر
۹۳	۳-۵ $b$ -پیوستگی گراف‌های کنسر
۱۰۰	واژه‌نامه فارسی به انگلیسی
۱۰۵	نمایه
۱۰۸	کتاب‌نامه

## چکیده:

این پایان نامه از دو قسمت تشکیل شده است. در قسمت اول به بررسی یک بازی یا فرایند روی یک گراف به نام بازی شلیک چیپ می پردازیم. بازی شلیک چیپ یک بازی یک نفره یا یک فرایند انتشار روی یک گراف است. با وجودی که از تعریف این بازی بیش از ۲۰ سال نمی گذرد اما روابط جالبی که بین این فرایند و بسیاری از مفاهیم مهم مانند گشتهای تصادفی، ماتریس لاپلاسین، چندجمله‌ای تات، چندجمله‌ای رنگی، نظریه جبری گراف، نظریه گروه‌ها و هم‌چنین فیزیک نظری وجود دارد، آن را به یک موضوع مهم و جذاب در ترکیبیات بدل کرده است. تاکنون نسخه‌های گوناگونی از این بازی تعریف و ویژگی‌های آن تحلیل شده است. در این قسمت بازی شلیک چیپ روی گراف‌های غیرجهت‌دار و جهت‌دار، هم‌چنین نسخه تغییر یافته‌ای از این بازی به نام بازی دلار را مورد تحلیل و بررسی جامع قرار می‌دهیم.

قسمت دوم این پایان نامه به پاسخ به برخی از سوالات باز در زمینه یک نوع رنگ آمیزی راسی روی گراف‌ها به نام  $b$ -رنگ آمیزی اختصاص یافته است. در این قسمت  $b$ -رنگ آمیزی حاصل ضرب دکارتی مسیرها، دورها و گراف‌های کامل و هم‌چنین گراف‌های کسر را مطالعه می‌کنیم.

## مقدمه

یکی از موضوعات جالب تحقیقاتی در ترکیبیات، تعریف بازی‌های مختلف روی یک گراف و بررسی خواص آن است. اولین بازی روی گراف‌ها توسط گراندی تعریف شد [۱۹] و تاکنون انواع متنوعی از بازی مانند بازی رنگ آمیزی [۴۱]، بازی احاطه‌گری [۱]، بازی رمزی [۳] و ... مورد مطالعه قرار گرفته است.

یکی از این بازی‌ها، یک بازی یک نفره یا یک فرایند انتشار روی یک گراف است که بازی شلیک چیپ خوانده می‌شود. اولین نسخه از این بازی توسط بورنر و دیگران [۸] معرفی شد. پس از آن نسخه‌های مختلفی از این بازی تعریف و خواص آن‌ها بررسی شده است. ویژگی مهم بازی شلیک چیپ، روابط جالبی است که بین این فرایند و بسیاری از مفاهیم مهم ترکیبیات مانند گشت‌های تصادفی، ماتریس لابلائین، چندجمله‌ای تات و چندجمله‌ای رنگی و همچنین نظریه جبری گراف، نظریه گروه‌ها و حتی فیزیک نظری وجود دارد. قسمت اول این پایان‌نامه به مطالعه این بازی اختصاص داده شده است.

نسخه اولیه این بازی روی یک گراف غیرجهت‌دار اجرا می‌شود. یک گراف غیرجهت‌دار  $G = (V, E)$  داده شده (یال چندگانه و طوقه مجاز است) و روی هر راس گراف تعدادی چیپ قرار گرفته است. شکل اولیه توزیع چیپ‌ها روی راس‌های گراف، آرایش شروع گفته شده و یک راس در یک آرایش را آماده می‌گویند هرگاه در این آرایش حداقل به تعداد درجه خود چیپ داشته باشد. بازی شلیک چیپ روی گراف  $G$  به این صورت انجام می‌شود که در هر آرایش یک راس آماده انتخاب و شلیک می‌شود. پس از شلیک یک راس، از هر یال واقع بر آن، یک چیپ به همسایه مجاور می‌رود. اگر در یک وضعیت، راس آماده‌ای وجود نداشته باشد، بازی پایان می‌پذیرد. شلیک یک راس ممکن است یک راس ناآماده را آماده کند. در مرحله بعد بار دیگر یک راس آماده، انتخاب و شلیک می‌شود. وقتی که هیچ راس آماده‌ای وجود نداشته باشد، بازی تمام می‌شود. شکل توزیع چیپ‌ها در پایان را آرایش پایانی می‌نامند. در فصل ۱ به بررسی بازی شلیک چیپ روی گراف‌های غیرجهت‌دار و مطالعه ویژگی‌های آن می‌پردازیم.

می‌توان با اندکی تغییر این بازی را روی یک گراف جهت‌دار اجرا کرد. این نسخه توسط بورنر و دیگران [۷] بررسی شد. در فصل ۲، تعمیم فرایند شلیک چیپ به گراف‌های جهت‌دار را مورد مطالعه قرار می‌دهیم. در این

فصل به سوالاتی در مورد پایان‌پذیری بازی، طول بازی و نقش ترتیب انتخاب راس‌ها می‌پردازیم. همچنین ارتباط این بازی را با ماتریس لایل‌سین گراف‌های جهت دار و گشت‌های تصادفی روی گراف‌های جهت دار روشن می‌کنیم که ما را به سمت روابطی در مورد طول یک بازی متناهی و دوره تناوب یک بازی نامتناهی رهنمون می‌سازد.

اولین بار بیگز [۴] یک نسخه تغییر یافته از این بازی را معرفی کرد. این بازی روی گراف غیر جهت دار همبند  $(V, E)$  اجرا می‌شود که یک راس خاص  $v \in V$  مشخص شده و تعدادی چیپ روی راس‌های دیگر غیر از  $v$  توزیع شده است. در هر نوبت می‌توانیم یک راس آماده غیر از  $v$  (راسی که حداقل به تعداد درجه اش چیپ دارد) را شلیک کنیم. بازی تا جایی ادامه پیدا می‌کند که هیچ راس آماده‌ای غیر از  $v$  وجود نداشته باشد. در این حالت راس  $v$  شلیک می‌شود و بازی ادامه پیدا می‌کند. بنابراین راس  $v$  می‌تواند شلیک کند اگر و تنها اگر هیچ راس آماده‌ای غیر از  $v$  وجود نداشته باشد. وجود راس  $v$  تضمین می‌کند که بازی هیچ‌گاه پایان نپذیرد. در واقع می‌توانیم به جای چیپ‌ها با دلارها بازی کنیم و بازی را به عنوان یک "اقتصاد" و راس  $v$  را به عنوان "دولت" در نظر بگیریم. اقتصاد حرکت می‌کند و هرجا که به بن‌بست رسید دولت مقداری دلار به آن تزریق می‌کند و دوباره حرکت ادامه پیدا می‌کند. به همین دلیل این بازی به بازی دلار معروف است. در فصل ۳، این بازی را معرفی کرده و نشان می‌دهیم که به کمک این بازی می‌توانیم یک گروه آبلی به هر گراف نسبت دهیم که گروه بحرانی نام دارد. در واقع خواهیم دید که مرتباً این گروه برابر تعداد درخت‌های فرآگیر گراف  $G$  است. به کمک قضیه اساسی گروه‌های آبلی، ساختار این گروه را بررسی کرده و به ارتباط آن با چند جمله‌ای ثابت می‌پردازیم.

قسمت دوم این پایان‌نامه به پاسخ به برخی از سوالات باز در زمینه یک نوع رنگ‌آمیزی راسی روی گراف‌ها به نام  $b$ -رنگ‌آمیزی اختصاص یافته است. فرض کنید  $(V, E)$  یک گراف ساده باشد. یک  $b$ -رنگ‌آمیزی از گراف  $G$  با  $k$  رنگ، یک رنگ‌آمیزی معتبر از راس‌های  $G$  با  $k$  رنگ است به طوری که در هر کلاس رنگی  $i$  یک راس  $x_i$  وجود دارد که در همه  $1 - k$  کلاس رنگی دیگر همسایه دارد. راس  $x_i$  را یک راس  $b$ -احاطه‌گر و مجموعه  $\{x_1, x_2, \dots, x_k\}$  را یک سیستم  $b$ -احاطه‌گر می‌نامیم. بزرگترین عدد  $k$  که  $G$  دارای یک  $b$ -رنگ‌آمیزی با  $k$  رنگ است را عدد  $b$ -رنگی گراف  $G$  گفته و با  $\chi(G)$  نشان می‌دهیم. مفهوم  $b$ -رنگ‌آمیزی اولین بار توسط ایروینگ و منلاو [۲۳] معرفی شده است. در فصل ۴ به مطالعه  $b$ -رنگ‌آمیزی حاصل ضرب دکارتی گراف کامل و هر گراف دلخواه  $G$  و به طور خاص دورها، مسیرها و گراف کامل می‌پردازیم. گراف  $G$ ،  $b$ -پیوسته نامیده می‌شود هرگاه برای هر عدد صحیح  $k$ ،  $\varphi(G) \leq k \leq \chi(G)$  یک  $b$ -رنگ‌آمیزی برای  $G$  با  $k$  رنگ وجود داشته باشد. فرض کنید  $k$  و  $n$  دو عدد طبیعی هستند که  $n < 2k$ . برای مجموعه  $T$  اندازه  $n$ ،  $V$  را مجموعه همه زیرمجموعه‌های  $k$  عضوی  $S$  در نظر بگیرید. گراف کسر با پارامترهای  $n$  و  $k$  که با  $K(n, k)$  نشان داده می‌شود گرافی با مجموعه راس‌های  $V$  است به طوری که دو راس مجاورند اگر و تنها اگر زیر مجموعه‌های متناظر آن‌ها مجزا باشند. گراف‌های کنسر از دیدگاه‌های مختلف مطالعه بوده است. در

فصل آخر ضمن بررسی  $b$ -رنگ آمیزی گراف‌های کنسر و محاسبه عدد  $b$ -رنگی این گراف‌ها برای پارامترهای خاص، ثابت می‌کنیم گراف کنسر  $K(n, k)$  با پارامترهای  $k = 2$  و  $n \geq 16$  و  $b$ -پیوسته است.

قسمت اول

بازی شلیک چیپ

## فصل ۱

# شلیک چیپ روی گراف‌های غیر جهت‌دار

در این فصل قصد داریم یک بازی یا نفره یا یک فرایند را روی گراف‌های غیر جهت‌دار معرفی و بررسی کنیم. این بازی اولین بار توسط بورنر و دیگران [۸] معرفی شد. یک گراف غیر جهت‌دار  $(V, E) = G$  داده شده (یال چندگانه و طوقه مجاز است) و روی هر راس گراف تعدادی چیپ قرار گرفته است. شکل اولیه توزیع چیپ‌ها روی راس‌های گراف را آرایش شروع می‌گوییم. بازی شلیک چیپ روی گراف  $G$  به این صورت انجام می‌شود. در آرایش موجود یک راس را آماده گوییم هرگاه تعداد چیپ‌های روی آن راس حداقل به اندازه درجه آن راس باشد. در ابتدا یک راس آماده را انتخاب کرده و آن را شلیک می‌کنیم. وقتی یک راس آماده  $k \in V$  شلیک می‌شود، از طریق هر یال روی  $v$ ، یک چیپ به راس مجاور  $k$  منتقل می‌شود. شلیک یک راس ممکن است یک راس ناآماده را آماده کند. در مرحله بعد بار دیگر یک راس آماده انتخاب و شلیک می‌شود. وقتی که هیچ راس آماده‌ای وجود نداشته باشد، بازی تمام می‌شود. شکل توزیع چیپ‌ها در پایان را آرایش پایانی می‌گوییم.

متعاقب تعریف این بازی دو سوال به طور طبیعی مطرح می‌شود. یکی این که در چه مواردی بازی بعد از تعداد متناهی حرکت تمام می‌شود و چه موقع بازی نامتناهی است؟ از طرف دیگر ممکن است در یک آرایش چند راس آماده وجود داشته باشد و بنابراین حرکت‌های مختلفی از آن آرایش قابل انجام است. از این رو سوال دوم این است که آیا متناهی بودن بازی و آرایش پایانی به حرکت‌های بازی و ترتیب راس‌های شلیک شده وابسته است یا این که تنها به آرایش شروع بستگی دارد؟ در این فصل پس از تعریف دقیق بازی شلیک چیپ به کمک نظریه گریدویدها ثابت می‌کنیم که متناهی بودن بازی و آرایش پایانی از حرکت‌های انجام شده مستقل

است و تنها به آرایش شروع بستگی دارد. سپس پایان‌پذیری بازی را بر اساس تعداد کل چیپ‌های روی راس‌ها بررسی کرده و در صورت پایان‌پذیر بودن بازی، کرانی برای طول بازی ارایه می‌کنیم.

## ۱-۱ تعاریف و مقدمات

ابتدا اجازه دهید تعریف بازی شلیک چیپ را به صورت دقیق‌تر و با نمادهای ریاضی بیان کنیم. فرض کنید  $G = (V, E)$  یک گراف غیرجهت‌دار باشد که راس‌های آن را با اعداد  $1, 2, \dots, n$  برچسب‌گذاری کرده‌ایم. برای راس  $V \in V$  تعداد یال‌های غیرطوقه روی  $k$  را با  $\text{exdeg}(k)$  و دو برابر تعداد طوقه‌های روی  $k$  را با  $\text{indeg}(k) = \text{exdeg}(k) + \text{indeg}(k)$  تعریف کرده و تعداد یال‌هایی که دو راس  $i, j \in V$  را به هم وصل می‌کند با  $d_{i,j}$  نشان می‌دهیم.

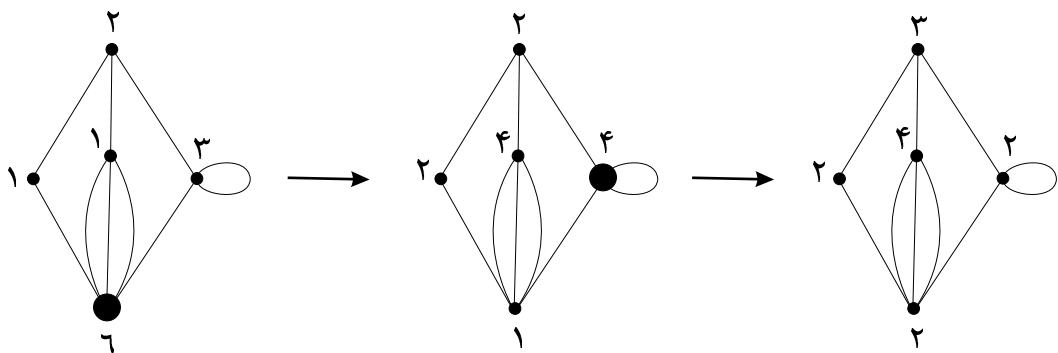
**تعریف ۱-۱-۱** [۳۳] منظور از یک آرایش روی گراف  $(V, E)$  یک تابع  $\theta : V \rightarrow \mathbb{Z}$  است که برای هر  $v \in V$ ،  $\theta(v) \geq 0$ . در واقع  $\theta(k)$  تعداد چیپ‌های روی راس  $k$  را نشان می‌دهد. در یک آرایش  $\theta$  روی گراف غیرجهت‌دار  $G$ ، راس  $k$  را آماده گوییم هرگاه  $\theta(k) \geq \text{deg}(k)$ .

در یک حرکت می‌توانیم یک راس آماده در آرایش موجود را شلیک کنیم. پس از شلیک راس آماده  $i \in V$  از چیپ‌های روی راس  $i$  به تعداد  $\text{exdeg}(i)$  کم شده و به هر راس  $j \neq i$  به اندازه  $d_{i,j}$  اضافه می‌شود. بنابراین آرایش  $\theta$  به آرایش  $\theta'$  تبدیل می‌شود که  $\theta'$  به صورت زیر تعریف می‌گردد:

$$\theta'(j) = \begin{cases} \theta(j) + d_{i,j} & i \neq j, \\ \theta(i) - \text{exdeg}(i) & i = j. \end{cases}$$

توجه کنید که اگر روی راس  $i$  یک طوقه وجود داشته باشد، آنگاه با شلیک راس  $i$  دو چیپ بر روی این طوقه حرکت می‌کنند و به راس  $i$  باز می‌گردند. بنابراین طوقه‌ها تاثیری در توزیع مجدد چیپ‌ها ندارند و تنها اثر آن‌ها در آماده بودن یا نبودن یک راس است. در شکل ۱-۱ آرایش شروع و دو حرکت متوالی در یک گراف نشان داده شده است. عدد کنار هر راس تعداد چیپ‌های روی آن راس را نشان می‌دهد و در هر آرایش، راسی که قرار است شلیک شود بزرگتر نشان داده شده است.

**تعریف ۱-۱-۲** [۳۳] یک دنباله قانونی  $\sigma$  برای آرایش شروع  $\theta = \theta_0, \theta_1, \dots, \theta_n$  است که برای هر  $1 \leq i \leq n-1$  راس  $k_i$  در آرایش  $\theta_i$  آماده است و آرایش  $\theta_{i+1}$  از



شکل ۱-۱ دو مرحله از بازی شلیک چیپ روی یک گراف غیرجهت‌دار.

آرایش  $\theta_i$  با شلیک راس  $k_i$  به دست می‌آید. فرایند شلیک متوالی راس‌های یک دنباله قانونی را یک بازی قانونی می‌گوییم. هم‌چنین امتیاز یک دنباله قانونی  $\sigma$ ، یک بردار  $\mathbb{Z}^{|V|} \in [\sigma]$  تعریف می‌شود که برای هر  $V \in [k]$  برابر تعداد دفعات شلیک راس  $k$  در آن دنباله است.

قانون شلیک یک راس را می‌توانیم به وسیله ماتریس لaplاسین گراف بیان کنیم.

**تعریف ۱-۱-۳** [۱۸] برای گراف غیرجهت‌دار  $G$ ، ماتریس لaplاسین این گراف  $L(G) = L$  یک ماتریس  $|V| \times |V|$  است که

$$L_{i,j} = \begin{cases} -d_{i,j} & i \neq j, \\ \text{exdeg}(i) & i = j. \end{cases}$$

حال فرض کنید  $\theta$  یک آرایش شروع و  $(k_0, \dots, k_{n-1}) = \sigma$  یک دنباله قانونی برای  $\theta$  باشد. اگر  $\theta$  و  $[\sigma]$  را به عنوان بردارهایی ستونی در  $\mathbb{Z}^{|V|}$  در نظر بگیریم، آن‌گاه با شلیک راس  $k_0$  به آرایش  $\theta - Le_{k_0}$  می‌رسیم که بردار  $e_{k_0}$  بردار شاخص در  $\mathbb{Z}^{|V|}$  است. سپس با شلیک راس  $k_1$  به آرایش  $\theta - Le_{k_0} - Le_{k_1}$  می‌رسیم و الی آخر. در نتیجه اگر  $\theta'$  آرایش حاصل بعد از اجرای بازی قانونی  $\sigma$  باشد، آن‌گاه

$$\theta' = \theta - L(e_{k_0} + \dots + e_{k_{n-1}}) = \theta - L[\sigma].$$

این بحث علاوه بر نشان دادن ارتباط شلیک‌ها و ماتریس لaplاسین، نتیجه زیر را به دنبال دارد.

**نتیجه ۱-۱-۴** در یک بازی شلیک چیپ روی یک گراف غیرجهت‌دار، آرایش نهایی بعد از اجرای بازی قانونی  $\sigma$ ، تنها به امتیاز دنباله  $\sigma$  یعنی  $[\sigma]$  بستگی دارد، نه ترتیب شلیک راس‌ها.

## ۱-۲ شلیک چیپ و گریدویدهای با تکرار

فرض کنید گراف  $G$  و آرایش شروع  $\theta$  داده شده است و مجموعه همه دنباله‌های قانونی برای  $\theta$  بگیرید. در این بخش پس از تعریف «پاد متروید با تکرار» ثابت می‌کنیم که  $\mathcal{L}$  یک پاد متروید با تکرار است. به کمک این حقیقت ثابت می‌کنیم که در صورتی که آرایش شروع داده شده باشد، همه بازی‌های قانونی می‌توانند تا نامتناهی ادامه یابند یا همه بازی‌های قانونی بعد از تعداد متناهی و ثابتی حرکت پایان می‌یابند و در صورت اخیر تعداد دفعاتی که یک راس مشخص شلیک می‌شود در همه بازی‌های قانونی یکسان است. همچنین در صورت متناهی بودن بازی، آرایش پایانی در همه بازی‌های قانونی یکسان است.

**تعریف ۱-۲-۱** [۸] فرض کنید  $V$  یک مجموعه متناهی از حروف باشد که آن را الفبا می‌نامیم. مراد از یک کلمه یک دنباله متناهی از اعضای  $V$  است و مجموعه‌ای از کلمات را یک زبان گوییم. یک زیرکلمه از یک کلمه  $\alpha$  با حذف چند حرف از آن به دست می‌آید و یک پیشوند از آن، چند حرف اول از آن کلمه است. طول کلمه  $\alpha$  را با  $(\alpha) \ell$  و امتیاز آن را با  $[\alpha]$  نشان می‌دهیم. منظور از امتیاز  $\alpha$  یک بردار  $\in \mathbb{Z}^{|\mathcal{V}|}$  است که برای هر حرف  $v \in V$ ،  $x \in [\alpha]$  برابر تعداد دفعات تکرار حرف  $v$  در کلمه  $\alpha$  می‌باشد.

برای دو بردار  $u, v \in \mathbb{R}^n$ ، نماد  $u \vee v$  را برای بردار ماکزیمم مولفه به مولفه آن دو و نماد  $u \wedge v$  را برای بردار مینیمم مولفه به مولفه آن دو استفاده می‌کنیم. همچنین  ${}_1-$ نرم بردار  $u$  را با  $|u|$  و  ${}_2-$ نرم بردار  $u$  را با  $\|u\|$  نشان می‌دهیم؛ یعنی  $|u| = \sum_{i=1}^n u_i$  و  $\|u\| = (\sum_{i=1}^n u_i^2)^{\frac{1}{2}}$ .

**تعریف ۱-۲-۲** [۸] گوییم زبان  $\mathcal{L}$  موروثی-چپ (یا به طور خلاصه موروثی) است، هرگاه:

(مچ) برای هر کلمه در  $\mathcal{L}$ ، هر پیشوند از آن کلمه نیز در  $\mathcal{L}$  باشد.

زبان  $\mathcal{L}$  را موضعی آزاد گوییم هرگاه:

(آ) برای هر کلمه  $\alpha \in \mathcal{L}$  و دو حرف متمایز  $x, y \in V$ ، آنگاه  $. \alpha xy \in \mathcal{L}$  و  $\alpha y \in \mathcal{L}$  و  $\alpha x \in \mathcal{L}$  هستند.

زبان  $\mathcal{L}$  را جایگشت‌پذیر می‌خوانیم هرگاه:

(جپ) برای هر  $\beta \in \mathcal{L}$  و  $\alpha \in V$ ، آنگاه  $\beta x \in \mathcal{L}$  و  $\alpha x \in \mathcal{L}$  هستند.

لم ۱-۲-۳ [۸] فرض کنید  $G$  یک گراف و  $\theta$  یک آرایش شروع در بازی شلیک چیپ روی  $G$  باشد و  $\mathcal{L}$  را مجموعه همه دنباله‌های قانونی برای  $\theta$  قرار دهد. در این صورت  $\mathcal{L}$  یک زبان موروثی چپ، موضعاً آزاد و جایگشت‌پذیر است.

برهان. موروثی بودن  $\mathcal{L}$  بدیهی است. فرض کنید  $\alpha \in \mathcal{L}$  یک دنباله قانونی و  $x, y \in V(G)$  دو راس متمایز باشند که  $\alpha x \in \mathcal{L}$  و  $\alpha y \in \mathcal{L}$ ، در این صورت پس از شلیک متوالی دنباله راس‌های  $\alpha$  به وضعیتی می‌رسیم که هر دو راس  $x$  و  $y$  در آن آماده هستند. چون با شلیک راس  $x$ ، تعداد چیپ‌های روی  $y$  کاهش نمی‌یابد، لذا  $y$  پس از شلیک متوالی دنباله  $\alpha x$  نیز آماده است و در نتیجه  $\alpha xy \in \mathcal{L}$  و  $\mathcal{L}$  موضعاً آزاد است. حال فرض کنید  $\alpha, \beta \in \mathcal{L}$  و  $\alpha x \in \mathcal{L}$ ، در این صورت طبق نتیجه ۱-۱-۴ بخش قبل آرایش حاصل پس از شلیک  $\alpha$  با آرایش حاصل پس از شلیک  $\beta$  یکسان است. در نتیجه چون  $x$  پس از شلیک  $\alpha$  آماده است، لذا  $x$  پس از شلیک  $\beta$  نیز آماده است و در نتیجه  $\beta x \in \mathcal{L}$  و  $\mathcal{L}$  جایگشت‌پذیر است. ■

این ویژگی‌های یک زبان، خاصیتی قوی را برای آن نتیجه می‌دهد که به خاصیت تبدیل قوی معروف است:

(تق) اگر  $\alpha, \beta \in \mathcal{L}$ ، آن‌گاه  $\alpha$  شامل یک زیر کلمه  $\alpha'$  است که  $\beta\alpha' = [\alpha] \vee [\beta]$  و  $\beta\alpha' \in \mathcal{L}$ .

ویژگی اخیر حالت قوی‌تری از خاصیت تبدیل گردیده است که به صورت زیر تعریف می‌شود:

(تگ) اگر  $\alpha, \beta \in \mathcal{L}$  و  $\beta(\alpha) < \ell(\beta)$ ، آن‌گاه حرف  $\alpha$  در  $\beta x \in \mathcal{L}$  یافت می‌شود که  $\beta x \in \mathcal{L}$ .

تعریف ۱-۲-۴ [۹] زبان  $\mathcal{L}$  ساده خوانده می‌شود هرگاه در همه کلمات آن، هر حرف حداکثر یک بار ظاهر شود. زبانی که ساده، موروثی و دارای خاصیت تبدیل گردیده باشد را یک گردیده می‌گوییم. در صورتی که شرط ساده بودن را از زبان برداریم، آن را گردیده با تکرار می‌خوانیم. هرگاه ترتیب حروف در کلمات گردیده مهم نباشد، آن را متروید گوییم. هم‌چنین زبان‌های ساده، موروثی و دارای خاصیت تبدیل قوی، دسته خاصی از گردیده‌ها را تشکیل می‌دهند که پادمتروید خوانده می‌شوند. در صورتی که شرط ساده بودن را از زبان برداریم، آن را پادمتروید با تکرار گوییم.

برای بررسی جامع گردیده‌ها [۲۶] و گردیده‌های با تکرار [۹] را ببینید. یک نتیجه از قضیه زیر این است که مجموعه دنباله‌های قانونی برای یک آرایش شروع  $\theta$  یک پادمتروید با تکرار است.

قضیه ۱-۲-۵ [۸] فرض کنید  $\mathcal{L}$  یک زبان موروثی-چپ باشد، در این صورت  $\mathcal{L}$  موضعاً آزاد و جایگشت‌پذیر است اگر و تنها اگر  $\mathcal{L}$  دارای خاصیت تبدیل قوی باشد.

برهان. ابتدا فرض کنید  $\mathcal{L}$  دارای خاصیت تبدیل قوی باشد. اگر  $\alpha \in \mathcal{L}$  و  $x, y \in V$  دو حرف منمایز باشند که  $[\alpha x \alpha'] = [\alpha y] \vee [\alpha x]$  باشد. آنگاه طبق (تق) یک زیرکلمه  $\alpha'$  از  $\alpha y$  موجود است که  $\alpha x \alpha' \in \mathcal{L}$  و  $\alpha x \alpha' = [\alpha x] \vee [\alpha y] = [\alpha xy]$ . این نشان می‌دهد که  $\alpha xy \in \mathcal{L}$  و خاصیت (مآ) برقرار است. حال فرض کنید  $\mathcal{L}$  دارای خاصیت (تق) باشد. اما  $\alpha x \in \mathcal{L}$  و  $\beta x \in \mathcal{L}$  در این صورت طبق (تق) یک زیرکلمه  $\alpha'$  از  $\alpha x$  موجود است که  $\beta x = [\beta x] \vee [\beta] = [\beta \alpha'] = [\alpha x] \vee [\beta]$ . اما چون  $[\beta \alpha'] = [\beta x]$  ولذا  $\beta x \in \mathcal{L}$  در خاصیت (جپ) صدق می‌کند.

حال بر عکس فرض کنید  $\mathcal{L}$  در خاصیتهای (مآ) و (جپ) صدق می‌کنیم که  $\mathcal{L}$  در خاصیت (تق) صدق می‌کند. این مطلب را با استقرا روی  $[\alpha] \vee [\beta]$  نشان می‌دهیم. کلمه‌های  $\alpha, \beta \in \mathcal{L}$  را در نظر بگیرید و برای هر حرف  $x$  در  $\alpha$ ، تعداد  $[\beta]_x$  تکرار اول این حرف  $x$  در  $\alpha$  را حذف کنید و کلمه به دست آمده را بنامید. واضح است که  $[\beta]_x = [\beta \alpha'] = [\alpha] \vee [\beta]$  نشان می‌دهیم که  $\beta \alpha' \in \mathcal{L}$ .

کلمه  $\alpha''$  را طولانی‌ترین پیشوند  $\alpha'$  بگیرید که  $\beta \alpha'' \in \mathcal{L}$ . با برهان خلف فرض کنید که  $\alpha'' \neq \alpha'$  و  $x$  را حرف بعد از  $\alpha''$  در  $\alpha'$  بگیرید. بنابراین

$$[\alpha]_x = [\beta]_x + [\alpha']_x > [\beta]_x + [\alpha'']_x = [\beta \alpha'']_x.$$

لذا می‌توانیم  $\alpha$  را به صورت  $\alpha_1 x \alpha_2$  بنویسیم که  $[\alpha_1]_x = [\beta \alpha'']_x$ . حال  $[\beta \alpha'']_x \leq [\alpha_1]_x$  و لذا  $[\beta \alpha''] = [\beta \alpha''] \vee [\alpha_1] = [\alpha] \vee [\beta]$ . علاوه بر این  $[\beta \alpha''] < |\beta \alpha'| = ||\alpha| \vee |\beta||$  در نتیجه طبق فرض استقرا یک زیرکلمه  $\gamma$  از  $\beta \alpha''$  موجود است که  $\beta \alpha'' = [\beta \alpha''] \vee [\alpha_1 \gamma] = [\beta \alpha'']$  و  $\alpha_1 \gamma \in \mathcal{L}$ . تساوی اخیر نشان می‌دهد که در  $\gamma$  حرف  $x$  وجود ندارد، همچنان  $\alpha_1 \gamma \in \mathcal{L}$  و  $\alpha x \in \mathcal{L}$  به دست آوریم  $\alpha_1 \gamma x \in \mathcal{L}$ . اکنون با به کارگیری قانون (جپ) به دست می‌آوریم  $[\beta \alpha'']_x = [\beta \alpha''] \vee [\alpha_1 \gamma x]$  که خلاف فرض ماکسیم بودن  $\alpha''$  است. این نشان می‌دهد که  $\beta \alpha' \in \mathcal{L}$ . ■

**تعریف ۱-۲-۶** [۸] فرض کنید  $\mathcal{L}$  یک زبان موروثی-چپ باشد. کلمه  $\alpha \in \mathcal{L}$  را اساسی گویند هرگاه پیشوند سرهایی از هیچ عضو  $\mathcal{L}$  نباشد.

**لم ۱-۲-۷** اگر  $\mathcal{L}$  یک زبان موروثی-چپ با خاصیت تبدیل قوی باشد، آنگاه هر دو کلمه اساسی در  $\mathcal{L}$  دارای امتیاز و طول یکسان است.

برهان. فرض کنید  $\alpha, \beta \in \mathcal{L}$  دو کلمه اساسی باشند. در این صورت طبق خاصیت (تق)، زیرکلمه  $\alpha'$  از  $\alpha$  و زیرکلمه  $\beta'$  از  $\beta$  یافت می‌شوند که  $[\alpha \beta'] = [\beta \alpha'] = [\alpha] \vee [\beta]$  و  $\alpha \beta', \beta \alpha' \in \mathcal{L}$ . اما با توجه به اساسی بودن

و  $\beta$ ، داریم  $\emptyset = \beta' = \alpha'$ . در نتیجه  $[\beta] = [\alpha]$ . از طرف دیگر برای هر کلمه  $\mathcal{L} \in \mathcal{L}$ ، داریم  $[\gamma] = \ell(\gamma)$ ، پس  
 ■  $\ell(\alpha) = \ell(\beta)$

**تعريف ۱-۲-۸** [۸] طول یک کلمه اساسی در زبان موروشی-چپ با خاصیت تبدیل قوی  $\mathcal{L}$  را رتبه  $\mathcal{L}$  گوییم و در صورتی که  $\mathcal{L}$  کلمه اساسی نداشته باشد آن را از رتبه بی‌نهایت می‌خوانیم.

اکنون آن‌چه در این بخش در مورد زبان‌های موروشی با خاصیت تبدیل قوی گفتیم را برای زبان دنباله‌های قانونی روی گراف  $G$  با آرایش شروع  $\theta$  به کار می‌گیریم تا نتیجه اصلی این بخش را به دست آوریم. این حقیقت که در زبان دنباله‌های قانونی، کلمات اساسی همان دنباله‌های منجر به آرایش پایانی هستند، به همراه  $\text{lm } 1-2-7$  و نتیجه  $1-1-4$  بی‌درنگ نتیجه زیر را حاصل می‌کنند.

**نتیجه ۱-۲-۹** فرض کنید یک گراف غیرجهت‌دار  $G$  و آرایش شروع  $\theta$  داده شده است. در این صورت هر بازی قانونی با شروع از  $\theta$  می‌تواند به طور نامحدود ادامه یابد یا هر بازی قانونی با شروع از  $\theta$  بعد از تعداد متناهی حرکت با یک آرایش پایانی یکسان خاتمه می‌یابد. در حالت دوم تعداد دفعاتی که یک راس شلیک می‌شود در همه بازی‌های قانونی منجر به وضعیت پایانی یکسان است.

### ۱-۳ پایان‌پذیری

هدف این بخش پاسخ دادن به این سوال است که در بازی شلیک چیپ کدام بازی‌ها پایان‌پذیر و کدام یک نامتناهی هستند. در اولین تلاش برای پاسخ دادن به این سوال دولم ساده‌اما مهم زیر به دست می‌آیند.

**لم ۱-۳-۱** [۸] اگر یک بازی شلیک چیپ روی گراف غیرجهت‌دار  $G$  پایان‌پذیر باشد، آن‌گاه یک راس وجود دارد که اصلاً شلیک نشده است.

برهان. طبق برهان خلف فرض کنید که همه راس‌ها شلیک شوند. راس  $k$  را راسی بگیرید که آخرین شلیک آن زودتر از آخرین شلیک همه راس‌ها باشد. در این صورت همه همسایه‌های  $k$ ، بعد از آخرین شلیک  $k$ ، حداقل یک بار شلیک می‌شوند و لذا  $k$  از هر همسایه‌اش حداقل یک چیپ دریافت می‌کند. این نشان می‌دهد که در

■ پایان تعداد چیپ‌های  $k$  حداقل برابر با  $\deg(k)$  بوده که تناقض است.

**لم ۱-۳-۲** [۳۷] اگر یک بازی شلیک چیپ روی گراف غیرجهت‌دار و همبند  $G$  نامتناهی باشد، آن‌گاه همه راس‌ها بی‌نهایت بازی شلیک می‌شوند.

برهان. فرض کنید تعداد کل چیپ‌ها روی راس‌های  $G$  برابر  $N$  باشد. چون بازی نامتناهی است یک راس  $v$  وجود دارد که نامتناهی بازی شلیک شده است. فرض کنید  $z$  راس مجاور  $v$  باشد. با هر بازی شلیک راس  $v$ ، راس  $z$  یک چیپ دریافت می‌کند. چون راس  $z$  نمی‌تواند بیشتر از  $N$  چیپ داشته باشد، بنابراین حتماً باید بی‌نهایت بازی شلیک شود. با توجه به همبندی گراف، این بحث نشان می‌دهد که همه راس‌های گراف بی‌نهایت بازی شلیک می‌شوند. ■

قضیه زیر بین تعداد کل چیپ‌ها و پایان پذیری بازی یک رابطه برقرار می‌کند.

**قضیه ۱-۳-۳** [۸] فرض کنید  $G$  یک گراف همبند با  $n$  راس و  $m$  یال باشد و تعداد کل چیپ‌ها روی راس‌های  $G$  برابر  $N$  باشد. بازی شلیک چیپ را روی این گراف انجام می‌دهیم. در این صورت

الف) اگر  $n - 2m < N$ ، آن‌گاه بازی نامتناهی است.

ب) اگر  $n - 2m \leq N \leq m$ ، آن‌گاه یک آرایش شروع وجود دارد که نامتناهی بودن بازی را تضمین می‌کند و یک آرایش شروع وجود دارد که نامتناهی بودن بازی را تضمین می‌کند.

ج) اگر  $m < N$ ، آن‌گاه بازی متناهی است.

برهان.

الف) اگر در یک آرایش  $\theta$ ، هیچ راس آماده‌ای وجود نداشته باشد، آن‌گاه برای هر  $k \in V(G)$ ،  $\sum_{k=1}^n \theta(k) \leq \sum_{k=1}^n (\deg(k) - 1) = 2m - n$ . لذا  $N = \sum_{k=1}^n \theta(k) \leq \sum_{k=1}^n (\deg(k) - 1) = 2m - n$ . پس در هر آرایش  $\theta$ ، یک راس آماده وجود دارد و در نتیجه بازی نامتناهی است.

ب) اگر  $n - 2m < N$ ، آن‌گاه روی هر راس  $k$  حداقل به اندازه  $1 - \deg(k)$  چیپ قرار می‌دهیم و در نتیجه آرایش شروعی به دست می‌آوریم که در آن هیچ راس آماده‌ای وجود ندارد و بازی متناهی است. حال ثابت می‌کنیم که هر گاه  $N \geq m$ ، یک آرایش شروع وجود دارد که بازی نامتناهی است. کافی است

این مساله را برای  $N = m$  نشان دهیم. به آسانی دیده می‌شود که برای هر گراف غیرجهت‌دار، یک جهت‌گذاری بدون دور وجود دارد. حال بک جهت‌گذاری بدون دور روی گراف غیرجهت‌دار  $G$  در نظر می‌گیریم. سپس روی هر راس  $k$  به تعداد درجه خروجی آن،  $\deg^+(k)$  چیپ قرار می‌دهیم. این را آرایش شروع بنامید. در هر جهت‌گذاری بدون دور روی  $G$  حتماً یک راس  $k$  وجود دارد که  $\deg^+(k) = \deg(k)$ ، زیرا اگر همه راس‌ها حداقل یک یال ورودی داشته باشند و  $P$  یک مسیر جهت‌دار ماکزیمال در  $G$  باشد، آن‌گاه راس ابتدای این مسیر یک یال ورودی دارد و درنتیجه  $G$  یک دور پیدا می‌کند. این تناقض نشان می‌دهد که در آرایش شروع حداقل یک راس آماده  $k$  وجود دارد. این راس آماده را شلیک می‌کنیم. سپس همه جهت‌های یال‌های روی  $k$  را عوض می‌کنیم. واضح است که جهت‌گذاری جدید نیز بدون دور است زیرا در جهت‌گذاری جدید  $\deg^+(k) = \deg(k)$  ولذا هیچ دوری شامل  $k$  وجود ندارد و چون جهت بقیه یال‌ها تعییر نکرده، در جهت‌گذاری جدید هیچ دوری وجود ندارد. از طرف دیگر در آرایش جدید و جهت‌گذاری جدید نیز هر راس به تعداد درجه خروجی اش چیپ دارد. در نتیجه طبق آن‌چه گفته شد در این جهت‌گذاری یک راس وجود دارد که یال ورودی ندارد و لذا آماده است. با ادامه این روند می‌بینیم که بازی پایان ناپذیر است.

ج) فرض کنید  $\theta$  یک آرایش شروع دلخواه باشد که در آن  $m < N$ . یک جهت‌گذاری بدون دور روی گراف  $G$  در نظر بگیرید و قرار دهید:

$$T = \sum_{k=1}^n \max\{0, \theta(k) - \deg^+(k)\}$$

در این آرایش راس  $i$  را ناقص گوییم، هرگاه  $\deg^+(i) < \theta(i)$ . فرض کنید  $k$  اولین راس شلیک شده باشد. پس از شلیک راس  $k$ ، جهت‌های خروجی  $k$  را عوض کنید. ادعا می‌کنیم در آرایش و جهت‌گذاری جدید مقدار  $T$  افزایش نمی‌یابد و در صورتی که مجموعه راس‌های ناقص تعییر کند، مقدار  $T$  کم می‌شود.

عبارت متناظر با  $k$  در  $T$  در آرایش شروع  $(k) - \deg^+(k)$  و در آرایش جدید (پس از شلیک  $k$ )  $\theta(k) - \deg(k)$  است. بنابراین این عبارت به مقدار  $(k) - \deg^+(k) = \deg^-(k) - \deg(k)$  کم می‌شود. اگر  $i$  یک همسایه ورودی  $k$  باشد (یعنی  $i \in E$ ) آن‌گاه عبارت متناظر با  $i$  حداقل یک واحد اضافه می‌شود. عبارت متناظر با بقیه راس‌ها نیز تعییر نمی‌کند. این نشان می‌دهد که در آرایش جدید مقدار  $T$  افزایش نمی‌یابد. در ضمن اگر یک همسایه ورودی  $k$  مثل  $i$ ، ناقص باشد، آن‌گاه مقدار متناظر با  $i$  در آرایش شروع و آرایش جدید صفر است و لذا مقدار  $T$  کاهش می‌یابد و در صورتی که هیچ کدام از همسایه‌های ورودی  $k$  ناقص نباشند، با شلیک  $k$  مجموعه راس‌های ناقص تعییر نمی‌کند. این نشان می‌دهد که اگر مجموعه راس‌های ناقص تعییر کند، آن‌گاه مقدار  $T$  کاهش می‌یابد. حال فرض کنید که بازی پایان ناپذیر

باشد. لذا طبق لم ۳-۲، همه راس‌ها بی‌نهایت بازی شلیک می‌شوند. چون  $m < N$ ، در هر آرایش یک راس ناقص وجود دارد. از طرفی یک راس ناقص نمی‌تواند شلیک شود. درنتیجه مجموعه راس‌های ناقص بی‌نهایت بازی تغییر پیدا می‌کند. لذا عدد نامنفی  $T$  بی‌نهایت بازی کاهش می‌باید. این تناقض نشان می‌دهد که بازی حتماً پایان‌پذیر است. ■

## ۱-۴ طول بازی

دریک بازی شلیک چیپ پایان‌پذیر، تعداد کل شلیک‌ها را طول بازی گوییم. درنتیجه ۹-۲ ثابت کردیم که طول بازی مستقل از حرکت‌های بازی است و فقط به آرایش شروع بستگی دارد. در این بخش، برای طول یک بازی پایان‌پذیر روی گراف ساده  $G$ ، دو کران چندجمله‌ای بر حسب تعداد راس‌ها به دست می‌آوریم. ابتدا لم زیر را بیان می‌کنیم.

**لم ۱-۴-۱** [۳۷] در طول یک بازی شلیک چیپ روی گراف غیرجهت‌دار  $G$ ، اختلاف تعداد شلیک‌های دو راس مجاور حداقل برابر با تعداد کل چیپ‌ها است.

برهان. فرض کنید  $\sigma$  یک دنباله قانونی باشد و  $i \in V(G)$ . دو راس مجاور  $G$  باشند که  $[\sigma]_i > [\sigma]_j$ . مجموعه  $H$  را مجموعه راس‌هایی قرار دهید که تعداد شلیک آن‌ها بیشتر از تعداد شلیک  $j$  باشد، یعنی  $\{i \in V \mid [\sigma]_i \leq [\sigma]_j\}$ . در این صورت  $i \in H^c$  و  $j \in H$ . اگر  $j \in H$ ، دو راس مجاور باشند که  $i \in H$  و  $j \in H^c$ ، آن‌گاه  $j$  بیشتر از  $i$  شلیک نشده است، بنابراین تعداد چیپ‌هایی که از طریق یال  $j$  به  $H$  وارد شده است بزرگتر یا مساوی تعداد چیپ‌هایی است که از طریق آن یال از  $H$  خارج شده است و در یال  $i$  این اختلاف برابر  $[\sigma]_i - [\sigma]_j$  است. بنابراین تعداد کل چیپ‌های راس‌های  $H$  بعد از شلیک دنباله  $\sigma$  حداقل به اندازه  $[\sigma]_i - [\sigma]_j$  افزایش می‌باید. اما این مقدار نمی‌تواند بیشتر از تعداد کل چیپ‌ها یعنی  $N$  افزایش باید، درنتیجه  $[\sigma]_i - [\sigma]_j \leq N$ . ■

حال قضیه اصلی را به صورت زیر بیان می‌کنیم.

**قضیه ۱-۴-۲** [۳۷] اگر  $G$  یک گراف همبند غیرجهت‌دار با  $n$  راس،  $m$  یال و قطر  $d$  باشد، آن‌گاه هر بازی شلیک چیپ پایان‌پذیر روی  $G$  بعد از حداقل  $2nmd$  شلیک پایان می‌باید.

برهان. فرض کنید  $N$  تعداد کل چیپ‌ها باشد. چون بازی پایان‌پذیر است، طبق لم ۱-۳-۱ یک راس  $i$  وجود دارد که اصلاً شلیک نشده است. با استفاده مکرر از لم قبل، هر راس  $j$  در فاصله  $d'$  از  $i$ ، حداکثر  $Nd'$  بار شلیک شده است. بنابراین بازی حداکثر بعد از  $nNd'$  شلیک پایان می‌یابد. از طرف دیگر چون بازی پایان‌پذیر است، طبق قضیه ۱-۳-۲ (الف) داریم  $2m \leq N$ . درنتیجه طول بازی حداکثر  $2nm$  است. ■

درصورتی که گراف  $G$  ساده باشد، با توجه به این‌که  $n^2 \leq 2m \leq d$ ، طول بازی حداکثر از  $O(n^4)$  است. این یک کران چندجمله‌ای از تعداد راس‌ها برای طول بازی شلیک چیپ روی گراف ساده  $G$  به دست می‌دهد. مثال زیر نشان می‌دهد که این کران در حالت کلی بهترین کران است.

مثال ۱-۴-۳ گراف  $G$  را به صورت زیر در نظر بگیرید. به یک گراف کامل با  $\lceil \frac{n}{7} \rceil$  راس یک مسیر با  $\lceil \frac{n}{7} \rceil$  راس اضافه کنید که مسیر از یکی از راس‌های گراف کامل شروع شود. در سر دیگر مسیر به تعداد  $2n - \lceil \frac{n}{7} \rceil^2$  چیپ بگذارید. با این آرایش شروع، بازی با  $O(n^3 + \frac{n}{32})$  حرکت ادامه می‌یابد و سپس متوقف می‌شود. لذا طول این بازی از  $(n^4)\Theta$  است.

همان‌طور که در بخش ۱-۱ دیدیم بین بازی شلیک روی گراف  $G$  و ماتریس لاپلاسین آن گراف،  $L$  ارتباطی وجود دارد. در ادامه کرانی برای طول یک بازی شلیک چیپ پایان‌پذیر روی  $G$  ارایه می‌کنیم که این طول را با کوچکترین مقدار ویژه مثبت  $L$  مرتبط می‌کند. مجموع درایه‌های هر سطر  $L$  برابر صفر است، لذا صفر یک مقدار ویژه  $L$  متناظر با بردار ویژه  $(1, \dots, 1)$  است. در ضمن  $L$  یک ماتریس نیم‌معین مثبت است (یعنی همه مقادیر ویژه آن نامنفی اند)، زیرا برای هر بردار  $x \in \mathbb{R}^{|V|}$ ,

$$x^\top L x = \sum_i x_i^\top \text{exdeg}(i) - \sum_{\substack{i,j \\ i \neq j}} x_i x_j d_{i,j} = \sum_{e=ij \in E(G)} (x_i - x_j)^\top \geq 0.$$

فرض کنید  $G$  همیند باشد در این صورت بقیه مقادیر ویژه  $L$  مثبتند اند؛ زیرا عبارت فوق تنها وقتی صفر می‌شود که  $x$  مضربی از بردار  $(1, \dots, 1)$  باشد. کوچکترین مقدار ویژه ناصرف  $L$  را با  $\lambda_2$  نشان می‌دهیم. قضیه زیر کرانی برای طول بازی شلیک چیپ بر حسب  $\lambda_2$  بیان می‌کند.

قضیه ۱-۴-۴ [۸] در یک بازی شلیک چیپ پایان‌پذیر با  $N$  چیپ روی گراف همیند  $G$ ، تعداد کل شلیک‌ها حداکثر برابر  $\frac{2nN}{\lambda_2}$  است.

برهان. فرض کنید  $\theta_0$  آرایش شروع و  $\theta_1$  آرایش پایانی باشند و  $\sigma$  دنباله قانونی باشد که  $\theta_0$  را به  $\theta_1$  تبدیل می‌کند. راس‌های  $G$  را با اعداد  $1, \dots, n$  برچسب‌گذاری کنید و بردار  $x \in \mathbb{Z}^{|V|}$  را بردار امتیاز  $\sigma$  بگیرید.

هم‌چنین فرض کنید  $x = \mathbf{1}^T s$  تعداد کل شلیک‌ها باشد. طبق لم  $1-3-1$  یک راس وجود دارد که اصلًا شلیک نشده است، لذا بدون کم شدن کلیت مساله می‌توانیم فرض کیم  $\theta_1 - \theta_0 = 0$ . از بخش ۱ می‌دانیم که

$$Lx = \theta_1 - \theta_0.$$

حال فرض کنید  $\lambda_1 < \lambda_2 \leq \dots \leq \lambda_n$  یک پایه متعامد  $\mathbf{1} = v_1, v_2, \dots, v_n$  مقادیر ویژه ماتریس  $L$  و  $P_{n \times n}$  را ماتریسی بگیرید که ستون‌های آن بردارهای  $v_n, \dots, v_2, v_1$  را ماتریس قطری بگیرید که روی قطر آن اعداد  $\lambda_1, \lambda_2, \dots, \lambda_n$  باشد. در این صورت

$$L = PDP^T = \sum_{i=1}^n \lambda_i \cdot v_i v_i^T.$$

قرار دهید

$$L' = \sum_{i=1}^n \frac{1}{\lambda_i} \cdot v_i v_i^T,$$

در این صورت چون  $\{v_1, \dots, v_n\}$  یک پایه متعامد یکه است، داریم:

$$L'L = \sum_{i,j=1}^n \frac{\lambda_j}{\lambda_i} v_i v_i^T v_j v_j^T = \sum_{i=1}^n v_i v_i^T = PP^T - v_1 v_1^T = I - \frac{1}{n} J.$$

بنابراین

$$e_1^T L' L = e_1^T - \frac{1}{n} \mathbf{1}^T,$$

ولذا

$$\begin{aligned} s &= \mathbf{1}^T x = (ne_1^T - ne_1^T L' L)x = -ne_1^T L' Lx \\ &= -ne_1^T L' (\theta_1 - \theta_0) = \sum_{i=1}^{n-1} -\frac{n}{\lambda_i} (e_1^T v_i)(v_i^T (\theta_1 - \theta_0)). \end{aligned}$$

حال با استفاده از نامساوی کشی–شوارتز داریم:

$$\begin{aligned} s &\leq \frac{n}{\lambda_1} \sum_{i=1}^{n-1} |e_1^T v_i| \cdot |v_i^T (\theta_1 - \theta_0)| \leq \frac{n}{\lambda_1} \sqrt{\sum_{i=1}^{n-1} (e_1^T v_i)^2} \sqrt{\sum_{i=1}^{n-1} (v_i^T (\theta_1 - \theta_0))^2} \\ &\leq \frac{n}{\lambda_1} \sqrt{e_1^T \sum_{i=1}^{n-1} (v_i v_i^T) e_1} \sqrt{(\theta_1 - \theta_0)^T \sum_{i=1}^{n-1} (v_i v_i^T) (\theta_1 - \theta_0)} \\ &\leq \frac{n}{\lambda_1} \sqrt{e_1^T e_1} \sqrt{(\theta_1 - \theta_0)^T (\theta_1 - \theta_0)} \\ &\leq \frac{n}{\lambda_1} \|\theta_1 - \theta_0\| \leq \frac{\gamma n N}{\lambda_1}. \end{aligned}$$

و حکم ثابت می‌شود.

لم زیر یک کران پایین معروف برای  $\lambda_2$  به دست می‌دهد.

**لم ۱-۴-۵** اگر  $G$  یک گراف همبند با  $n$  راس و قطر  $d$  باشد، آن‌گاه  $\lambda_2 \geq \frac{1}{nd}$ .

برهان. فرض کنید  $w$  بردار ویژه یکه متناظر با مقدار ویژه  $\lambda_2$  باشد، در این صورت یک راس  $G$ ، مثلاً راس ۱ وجود دارد که  $\frac{1}{\sqrt{n}} \geq |w_1|$ . بدون کم شدن کلیت مساله می‌توانیم فرض کنیم که  $w_1 > 0$ . چون  $L$  متقارن است،  $w$  بردار ویژه متناظر با صفر عمود است، لذا  $\sum_j w_j = 0$  و بنابراین یک راس  $k$  وجود دارد که  $w_k < 0$ . فرض کنید مسیر  $1, 2, \dots, k$  کوتاهترین مسیر از راس ۱ به راس  $k$  باشد. درنتیجه  $d \leq k - 1$  و داریم:

$$\begin{aligned} \lambda_2 &= w^\top L w = \sum_{ij \in E(G)} (w_i - w_j)^2 \\ &\geq \sum_{i=1}^{k-1} (w_i - w_{i+1})^2 \geq \frac{1}{k-1} \left( \sum_{i=1}^{k-1} (w_i - w_{i+1}) \right)^2 \\ &= \frac{1}{k-1} (w_1 - w_k)^2 \geq \frac{1}{(k-1)n} \geq \frac{1}{nd}. \end{aligned}$$

ولذا حکم ثابت می‌شود.

با استفاده از لم فوق و قضیه ۱-۴-۴ به دست می‌آوریم  $G$  ساده باشد، آن‌گاه با توجه به متناهی بودن بازی داریم  $N \leq m - n \leq n^2$ . درنتیجه به دست می‌آوریم که طول بازی حداقلراز  $O(n^5)$  است. این کران در حالت کلی ضعیفتر از کران قضیه ۱-۴-۲ است، اما در مواردی که از پایین کران دار باشد<sup>۱</sup>، کران قضیه ۱-۴-۴ بهتر است.

---

<sup>۱</sup> گراف‌هایی که  $\lambda_2$  آن‌ها از پایین کران دار است گراف‌های توسعی نامیده می‌شوند [۲۱].

## فصل ۲

# بازی شلیک چیپ روی گراف‌های جهت‌دار

در این فصل فرایند شلیک چیپ را به گراف‌های جهت‌دار تعمیم می‌دهیم. گراف جهت‌دار  $G$  داده شده و روی هر راس تعدادی چیپ قرار گرفته است. در هر مرحله یک راس آماده یعنی راسی که حداقل به اندازه درجه خروجی اش چیپ دارد را انتخاب کرده و آن را شلیک می‌کنیم. شلیک یک راس باعث می‌شود که از طریق هر یال خروجی راس مورد نظر، یک چیپ به راس انتهای آن یال منتقل شود. این فرایند تا جایی که هیچ راس آماده‌ای یافت نشود ادامه می‌یابد. در این فصل به سوالاتی در مورد پایان‌پذیری بازی، طول بازی و نقش ترتیب انتخاب راس‌ها می‌پردازیم. در تحلیل بازی شلیک چیپ روی گراف‌های جهت‌دار از همان دورهیافت فصل پیش، یعنی رهیافت زبان‌های با خاصیت تبدیل قوی و رهیافت عملگر لایل‌سین گراف  $G$  استفاده می‌کنیم. رهیافت زبان‌ها به طور طبیعی به حالت جهت‌دار تعمیم می‌یابد ولی در مورد عملگر لایل‌سین کار به این سر راستی نیست، زیرا در این حالت ماتریس لایل‌سین متقارن نیست و نمی‌توانیم از تجزیه طیفی آن به عنوان یک ابزار استفاده کنیم. با این حال ارتباطی جالب بین ماتریس لایل‌سین و گشت‌های تصادفی روی گراف جهت‌دار  $G$  وجود دارد که نزدیکی بین گشت‌های تصادفی و بازی شلیک چیپ برقرار می‌کند و می‌تواند ما را به سمت روابطی در مورد طول یک بازی متناهی و دوره تناوب یک بازی نامتناهی رهنمون سازد.

## ۱-۲ تعاریف و مقدمات

فرض کنید  $G = (V, E)$  یک گراف جهت‌دار باشد (یال چندگانه و طوقه مجاز است). که تعداد راس‌ها و یال‌های آن به ترتیب،  $n$  و  $m$  است و راس‌های آن با اعداد  $1, 2, \dots, n$  برچسب‌گذاری شده‌اند. درجه خروجی و ورودی راس  $k$  را به ترتیب با  $\deg^+(k)$  و  $\deg^-(k)$  نشان می‌دهیم. یک راس  $k$  را راس چاهک گوییم هرگاه  $d^+(k) = d^-(k)$ . برای دو راس  $i, j$ ، تعداد یال‌های با دم  $i$  و سر  $j$  را با  $d_{i,j}$  نشان داده و از  $i$  تعداد طوقه‌های روی  $v$  را مراد می‌کنیم. دست آخر تعریف می‌کنیم  $\Delta = \max_{k \in V} \deg^+(k)$  و برای بردار  $v \in \mathbb{R}^{|V|}$ ، قرار می‌دهیم

$$\|v\| = \sum_{k \in V} d^+(k)|v_k| \text{ و } |v| = \sum_{k \in V} |v_k|$$

**تعریف ۱-۱-۱** [۷] فرض کنید  $G = (V, E)$  یک گراف جهت‌دار و  $\theta : V \rightarrow \mathbb{Z}^+$  یک آرایش باشد که برای هر راس  $k$ ،  $\theta(k)$  تعداد چیپ‌های روی  $k$  را نشان می‌دهد. یک راس  $k \in V$  را در آرایش  $\theta$  آماده گویند، هرگاه  $\theta(k) \geq \deg^+(k)$

اگر راس  $k$  در آرایش  $\theta$  آماده باشد، آن‌گاه می‌توانیم آن را شلیک کنیم. با شلیک یک راس، از هر یال خروجی آن یک چیپ به همسایه خروجی آن راس منتقل می‌شود. بنابراین آرایش  $\theta$  به آرایش جدید  $\theta'$  تبدیل می‌شود که به صورت زیر تعریف شده است:

$$\theta'(i) = \begin{cases} \theta(i) + d_{i,k} & i \neq k, \\ \theta(k) - d^+(k) + d_{k,k} & i = k. \end{cases}$$

توجه کنید که اگر راس  $k$  یک راس چاهک باشد، آن‌گاه این راس همیشه آماده است و در هر مرحله می‌تواند شلیک شود. شلیک این راس هیچ تغییری در آرایش بازی ندارد. بنابراین اغلب فرض می‌شود که یک راس چاهک نمی‌تواند شلیک شود. ما این فرض را در مدل خود با گذاشتن تعداد کافی حلقه روی راس‌های چاهک رعایت می‌کنیم. هم‌چنین توجه کنید که هر گراف غیر جهت‌دار را می‌توان با جایگزین کردن هر یال غیر جهت‌دار با دو یال در جهت متضاد، به یک گراف جهت‌دار تبدیل کرد. لذا نتایج این فصل در مورد گراف‌های غیر جهت‌دار نیز صادقند. یک گراف جهت‌دار را اویلری گوییم هرگاه برای هر راس  $k$ ,  $\deg^+(k) = \deg^-(k)$ . با توجه به آن‌چه گفته شد هر گراف غیر جهت‌دار را می‌توان یک گراف جهت‌دار اویلری در نظر گرفت و خواهیم دید که بسیاری از نتایج در مورد گراف‌های غیر جهت‌دار بدون تغییر به گراف‌های جهت‌دار اویلری تعمیم می‌یابد.

گراف  $G$  را قویاً همبند گوییم هرگاه برای هر دو راس  $i$  و  $j$ ، یک مسیر جهت‌دار از  $i$  به  $j$  در  $G$  وجود داشته باشد. هم‌چنین گراف  $G$  را همبند ضعیف (یا به طور خلاصه همبند) گوییم هرگاه گراف زمینه آن (گراف غیرجهت‌داری که از حذف جهت یال‌های  $G$  به دست می‌آید)، همبند باشد. یک زیرگراف ماقسیمال قویاً همبند

از  $G$  را یک مولفه قویاً همبند  $G$  می‌گوییم. هر گراف را می‌توان به طوریکتا به مولفه‌های قویاً همبند افزای کرد. یک مولفه قویاً همبند در  $G$  را مولفه چاهک گوییم، هرگاه هیچ پالی مولفه را ترک نکند. به عبارت دیگر هر یالی که یک سر آن درون مولفه و سر دیگر آن بیرون مولفه است، دمش در بیرون مولفه باشد.

در ادامه قصد داریم ثابت کنیم که پایان‌پذیری بازی شلیک چیپ روی گراف‌های جهت‌دار مستقل از ترتیب شلیک راس‌هاست و تنها به آرایش شروع بستگی دارد. آن‌چه در لم ۱-۲-۳ برای گراف‌های غیرجهت‌دار اثبات شد، در مورد گراف‌های جهت‌دار نیز صادق است و اثبات آن عیناً مشابه اثبات آن لم است. ما از تکرار اثبات صرف نظر می‌کنیم.

لم ۱-۲-۲ [۷] فرض کنید  $G$  یک گراف جهت‌دار و  $\theta$  یک آرایش شروع باشد. مجموعه همه دنباله‌های قانونی برای آرایش شروع  $\theta$ ، یک زبان موروثی چپ، موضعاً آزاد و جایگشت‌پذیر است.

بنابراین با استفاده از لم ۱-۲-۷ نتیجه زیر را بدست می‌آوریم.

نتیجه ۱-۲-۳ [۷] فرض کنید یک گراف جهت‌دار  $G$  و آرایش شروع  $\theta$  داده شده است. در این صورت هر بازی قانونی با شروع از  $\theta$  می‌تواند به طور نامحدود ادامه یابد یا هر بازی قانونی با شروع از  $\theta$  بعد از تعداد متناهی حرکت با یک آرایش پایانی یکسان خاتمه می‌یابد. در حالت دوم تعداد دفعاتی که یک راس شلیک می‌شود در همه بازی‌های قانونی منجر به وضعیت پایانی یکسان است.

بعداً در بخش ۲-۵ نیاز داریم که زبان دیگری را در ارتباط با یک گراف جهت‌دار مورد بررسی قرار دهیم. برای یک زبان  $\mathcal{L}$  با الفبای  $V$  و بردار  $a \in \mathbb{Z}_+^{|V|}$ ، مجموعه  $\mathcal{L}[a]$  را مجموعه همه کلماتی در  $\mathcal{L}$  قرار می‌دهیم که هر حرف  $x$  در آن کلمه، حداقل  $a_x$  بار ظاهر شود. به عبارت دیگر  $\mathcal{L}[a] = \{\alpha \in \mathcal{L} \mid [\alpha]_x \leq a_x, \forall x \in V\}$ . در این صورت لم زیر را داریم:

لم ۱-۲-۴ [۷] اگر  $\mathcal{L}$  یک زبان موروثی-چپ، موضعاً آزاد و جایگشت‌پذیر باشد، آن‌گاه  $\mathcal{L}[a]$  نیز این گونه است.

برهان. موروثی بودن  $\mathcal{L}[a]$  مستقیماً از موروثی بودن  $\mathcal{L}$  نتیجه می‌شود. اگر  $\alpha x, \alpha y \in \mathcal{L}[a]$ ، آن‌گاه با توجه به موضعاً آزاد بودن  $\mathcal{L}$  داریم  $\alpha xy \in \mathcal{L}$ . از طرفی  $\alpha xy \in \mathcal{L}$  داریم  $[\alpha xy]_y = [\alpha y]_y$  و  $[\alpha xy]_x = [\alpha x]_x$  و  $[\alpha xy]_{xy} = [\alpha xy]_y$ ، هم‌چنین برای هر  $\alpha xy \in \mathcal{L}[a]$ ، پس  $[\alpha xy]_z = [\alpha]_z$ ،  $z \neq x, y$ . این نشان می‌دهد که  $\mathcal{L}[a]$  موضعاً آزاد است. حال فرض کنید  $\alpha$  و  $\beta$  در  $\mathcal{L}[a]$  هم‌چنین  $\alpha x \in \mathcal{L}[a]$  و  $\beta x \in \mathcal{L}[a]$ . در این صورت از جایگشت‌پذیر بودن  $\mathcal{L}$  داریم  $\beta x \in \mathcal{L}[a]$ ، اما  $[\beta x] = [\beta x] = [\alpha x] \leq a$ .

■

## ۲-۲ پایان‌پذیری

در بخش ۱-۳ دو لم مقدماتی درباره بازی شلیک چیپ متناهی و نامتناهی روی گراف‌های غیر جهت‌دار بیان کردیم. بر طبق این دو لم، اگر بازی متناهی باشد، آن‌گاه یک راس وجود دارد که اصلًاً شلیک نشده است (لم ۱-۳-۱) و اگر بازی نامتناهی باشد آن‌گاه همه راس‌ها بی‌نهایت بار شلیک شده‌اند (لم ۱-۳-۲). لم دوم بدون مشکل به حالت جهت‌دار تعمیم می‌یابد (لم ۲-۲-۲). لم اول در حالت جهت‌دار تنها برای گراف‌های اویلری صادق است. (برای اثبات این مطلب نتیجه ۲-۵-۸ را ببینید.)

**لم ۱-۲-۱** [۷] در هر بازی شلیک چیپ نامتناهی روی یک گراف جهت‌دار  $G$ ، یک مولفه چاهک در  $G$  وجود دارد که هر راس آن مولفه بی‌نهایت بار شلیک شده است.

برهان. چون بازی نامتناهی است، یک راس  $k$  وجود دارد که بی‌نهایت بار شلیک شده است. اگر از  $k$  به ز یک یال وجود داشته باشد، آن‌گاه زنیز بی‌نهایت بار شلیک شده است، زیرا در غیراین صورت بعد از آخرین شلیک ز تعداد نامتناهی چیپ در ز جمع می‌شود در حالی که تعداد کل چیپ‌ها متناهی است. در نتیجه همه راس‌هایی که از راس  $k$  به آن‌ها مسیر وجود دارد، بی‌نهایت بار شلیک می‌شوند. از طرف دیگر اگر مولفه قویاً همبندی که از  $k$  در آن قرار دارد یک مولفه چاهک نباشد، آن‌گاه می‌توانیم از آن مولفه به یک مولفه دیگر برویم و همین طور این کار را ادامه دهیم تا به یک مولفه چاهک برسیم. لذا از  $k$  به یک مولفه چاهک، یک مسیر وجود دارد. این نشان می‌دهد که هر راس آن مولفه بی‌نهایت بار شلیک شده است. ■

در قضیه ۱-۳-۳ رابطه‌ای بین پایان‌پذیری بازی و تعداد کل چیپ‌ها بیان کردیم. یک قسمت از این قضیه به راحتی برای حالت جهت‌دار تعمیم می‌یابد.

**گزاره ۲-۲-۲** [۷] فرض کنید در یک بازی شلیک چیپ روی گراف جهت‌دار  $G$  با  $n$  راس و  $m$  یال، تعداد کل چیپ‌ها  $N$  باشد و  $n - m > N$ ، آن‌گاه بازی نامتناهی است.

برهان. اگر در یک آرایش  $\theta$  روی  $V(G)$ ، هیچ راس آماده‌ای وجود نداشته باشد، آن‌گاه برای هر  $v \in V$ ،  $\theta(v) = 0$  و لذا  $\sum_{v \in V} \theta(v) = m - n$ . بنابراین در هر آرایش حداقل یک راس آماده وجود دارد و در نتیجه بازی نامتناهی است. ■

برای تعمیم قسمت دوم قضیه ۱-۳-۳ با این سوال روبرو هستیم که کمترین تعداد چیپ‌ها که می‌توان با آن‌ها یک بازی نامتناهی روی گراف جهت‌دار  $G$  انجام داد چقدر است؟ این سوال هنوز در حالت کلی جواب داده

نشده است. این عدد تنها تابعی از تعداد راس‌ها و یال‌ها نیست. به عنوان مثال  $G_1$  را یک دور به طول  $n$  با یال‌های دوگانه بگیرید که همگی در دو جهت مخالف جهت‌گذاری شده‌اند و  $G_2$  را دوری به طول  $n$  با یال‌های دوگانه بگیرید که یال‌ها هم جهت جهت‌گذاری شده‌اند. طبق قضیه ۱-۳-۳ هر بازی با کمتر از  $n$  چیپ روی  $G_1$ ، پایان‌پذیر است، اما با قرار دادن دو چیپ روی یک راس گراف  $G_2$  می‌توان یک بازی نامتناهی ترتیب داد. با این حال کران زیر برای این عدد پیدا شده است.

**قضیه ۲-۲-۳ [۷]** فرض کنید  $G$  یک گراف قویاً همبند و  $h$  ماتریسیم تعداد دورهای جهت‌دار و یال-مجزا در  $G$  باشد، در این صورت هر بازی شلیک چیپ با کمتر از  $h$  چیپ پایان‌پذیر است.

برهان. فرض کنید  $C_1, \dots, C_k$  یک خانواده از دورهای جهت‌دار و یال-مجزا در  $G$  باشد. در طول بازی فرض کنید چیپی که برای اولین بار از یک یال دور  $C_i$  عبور می‌کند، توسط این دور تصاحب می‌شود و تا آخر بازی باید در این دور بماند. این مطلب با قانون بازی تناقض ندارد، زیرا طبق چیپی که در یک دور از راس به راس  $1 + k$  می‌رود، در صورت شلیک راس  $1 + k$  می‌تواند به راس  $2 + k$  برود و چون دورها یال-مجزا هستند، تا آخر در تصاحب همین دور می‌مانند. حال اگر  $h < N$ ، آن‌گاه یک دور وجود دارد که چیپی را تصاحب نمی‌کند، لذا راس‌های این دور هرگز شلیک نمی‌شوند. اما طبق لم ۲-۲-۱ اگر بازی نامتناهی باشد، آن‌گاه همه راس‌ها باید شلیک شوند. لذا بازی روی  $G$  با  $N$  چیپ پایان‌پذیر است. ■

### ۳-۲ ماتریس لاپلاسین جهت‌دار

ماتریس لاپلاسین گراف‌های غیر جهت‌دار بسیار مورد توجه محققین بوده است و نتایج و خواص گوناگون این ماتریس به ویژه ارتباط آن با خواص توسعی گراف‌ها مورد مطالعه قرار گرفته است. اما ویژگی‌های ماتریس لاپلاسین گراف‌های جهت‌دار کمتر بررسی شده است. ارتباطات جالبی بین ماتریس لاپلاسین و گشت‌های تصادفی وجود دارد که گشت‌های تصادفی را به بازی شلیک چیپ مرتبط می‌کند. این بخش و بخش بعد را به مطالعه ماتریس لاپلاسین گراف‌های جهت‌دار و گشت‌های تصادفی روی گراف‌های جهت‌دار اختصاص داده و ابزارهای لازم را برای بررسی بازی شلیک چیپ جمع آوری می‌کیم.

**تعريف ۲-۳-۱** برای گراف جهت‌دار  $(V, E)$ ، ماتریس لاپلاسین  $G$ ، یک ماتریس  $|V| \times |V|$  است که به صورت زیر تعریف می‌شود:

$$L_{ij} = \begin{cases} d_{ji}, & i \neq j, \\ -d^+(i) + d_{i,i}, & i = j. \end{cases}$$

توجه کنید که مجموع درایه‌های یک ستون در  $L$  صفر است، لذا  $\mathbf{1}^\top L = \mathbf{0}$  و در نتیجه  $L$  منفرد است. اگر  $G$  جهت‌دار اویلری باشد، آن‌گاه  $\mathbf{0}^\top L\mathbf{1} = 1$ .

فرض کنید  $\sigma$  یک دنباله قانونی از وضعیت شروع  $\theta$  باشد که پس از شلیک متوالی راس‌های آن به وضعیت  $\theta'$  برسیم. با استدلالی مشابه آن‌چه در بخش ۱-۱ ارائه کردیم می‌توان نشان داد که اگر  $[\sigma]$  بردار امتیاز دنباله  $\sigma$  باشد، آن‌گاه

$$\theta' = \theta - L[\sigma].$$

بنابراین می‌توانیم فرایند شلیک راس‌ها در بازی شلیک چیپ روی گراف‌های جهت‌دار را به کمک ماتریس لaplacian گراف‌های جهت‌دار بیان و توصیف کنیم. در ادامه به بررسی ماتریس لaplacian گراف‌های جهت‌دار می‌پردازیم.

قضیه زیر یک قضیه معروف و اساسی است که قضیه پرون-فروبینوس<sup>۱</sup> نام دارد و توصیفاتی در مورد مقادیر و بردارهای ویژه ماتریس‌های نامنفی (ماتریس‌هایی با همه درایه‌ها نامنفی) بیان می‌کند. برای یک ماتریس  $n \times n$  حقیقی  $A$ ، گراف زمینه  $A$  یک گراف جهت‌دار تعریف می‌شود که برای هر  $i, j \leq n$ ، از  $i$  به  $j$  یال وجود دارد، اگر و تنها اگر  $A_{ij} \neq 0$  و ماتریس  $A$  تحويل ناپذیر گفته می‌شود هرگاه گراف زمینه آن قویاً همبند باشد. هم‌چنین ما کزیم قدر مطلق مقادیر ویژه یک ماتریس  $A$  را شعاع طیفی  $A$  گوییم و با  $\rho(A)$  نشان می‌دهیم.

قضیه ۲-۳-۲ (پرون-فروبینوس)<sup>[۱۸]</sup> فرض کنید  $A$  یک ماتریس حقیقی نامنفی و تحويل ناپذیر  $n \times n$  باشد. در این صورت:

الف)  $\rho(A)$  یک مقدار ویژه ساده  $A$  است، یعنی بعد فضای ویژه متناظر  $(A)\rho$ ، یک است. در ضمن اگر  $x$  یک بردار ویژه متناظر  $(A)\rho$  باشد، آن‌گاه همه مولفه‌های  $x$  ناصفر بوده و همگی هم علامتند.

ب) اگر  $A_1$  یک ماتریس نامنفی حقیقی  $n \times n$  و  $A - A_1$  نامنفی باشد، آن‌گاه  $\rho(A_1) \leq \rho(A)$  و تساوی برقرار است اگر و تنها اگر  $A_1 = A$ .

ج) اگر  $\theta$  یک مقدار ویژه  $A$  باشد که  $|\theta| = \rho(A)$ ، آن‌گاه  $e^{\frac{\theta}{\rho(A)}m}$  یک ریشه  $A$  است و برای هر عدد صحیح  $r$ ،  $e^{\frac{r\pi ir}{m}}\rho(A)$  یک مقدار ویژه  $A$  است.

Perron-Frobenius<sup>۱</sup>

د) اگر  $u$  یک بردار ویژه چپ برای  $A$  متناظر با مقدار ویژه  $\lambda$  باشد که همه مولفه‌های آن نامنفی است، آن‌گاه

$$\lambda = \rho(A)$$

برای اثبات قسمت‌های (الف)، (ب) و (ج)، [۱۸] را بینید. در ذیل اثباتی برای قسمت (د) می‌آوریم.  
برهان. طبق (الف)، یک بردار ویژه  $v$  با همه مولفه‌های مثبت متناظر با  $\rho(A) = \rho$  وجود دارد.  
پس  $\rho v = \rho u^T A v = \lambda u^T v = \rho u^T v$  ولذا داریم  $u^T A v = \lambda u^T v$ . از طرفی چون  $u$  برداری ناصرف و  
نامنفی (همه مولفه‌ها نامنفی) و  $v$  برداری مثبت (همه مولفه‌ها مثبت) است، داریم  $u^T v > 0$ ، درنتیجه  $\lambda = \rho$ . ■

برای مطالعه ارتباط ماتریس لاپلاسین با گشت‌های تصادفی روی گراف‌ها به توصیفی از فضای پوچ  $L$ ،  
یعنی فضای همه بردارهای  $v \in \mathbb{R}^{|V|}$  که  $Lv = 0$  نیاز داریم. در قضیه زیر نشان می‌دهیم که برای این فضا یک  
پایه از بردارهای نامنفی وجود دارد که تکیه‌گاه آن‌ها مولفه‌های چاہک  $G$  است.

قضیه ۲-۳-۲ [۷] فرض کنید گراف جهت‌دار  $(V, E) = G$  دارای  $k$  مولفه چاہک  $S_1, \dots, S_k$  باشد، در  
این صورت بردارهای  $v_1, \dots, v_k \in \mathbb{Z}^{|V|}$  وجود دارد که

(الف) مجموعه  $\{v_1, \dots, v_k\}$  یک پایه برای فضای پوچ ماتریس لاپلاسین  $G$  است.

(ب) برای هر  $j \in S_i$   $(v_i)_j > 0$  و برای هر  $j \notin S_i$   $(v_i)_j = 0$ .

(ج) اگر  $S_i$  اویلری باشد، آن‌گاه برای هر  $j \in S_i$   $(v_i)_j = 1$ .

برهان. ابتدا فرض کنید  $G$  قویاً همبند باشد. اگر  $\Delta$  ماکزیمم درجه خروجی در  $G$  باشد، آن‌گاه ماتریس  $L + \Delta I$  یک ماتریس حقیقی نامنفی و تحويل ناپذیر است که ۱ یک بردار ویژه چپ آن متناظر با  $\Delta$  است. بنابراین طبق قضیه پرون-فروینوس قسمت (د)،  $\Delta = \rho(A) = \rho(L + \Delta I)$  است. لذا طبق قضیه پرون-فروینوس قسمت (الف)، فضای ویژه ماتریس  $L + \Delta I$  متناظر با مقدار ویژه  $\Delta$ ، یک بعدی است و توسط یک بردار مثبت تولید می‌شود. اما این فضای ویژه دقیقاً همان فضای پوچ  $L$  است. پس فضای پوچ  $L$  توسط یک بردار مثبت تولید می‌شود که بعد از ضرب در یک عدد صحیح مناسب می‌توانیم فرض کنیم با مولفه‌های صحیح است. به ویژه اگر  $G$  همبند و اویلری باشد، آن‌گاه بردار ۱ یک پایه برای فضای پوچ  $L$  است.

حال فرض کنید  $G$  یک گراف جهت‌دار دلخواه باشد. ادعا می‌کنیم اگر  $Lv = 0$  آن‌گاه همه مولفه‌های مربوط به راس‌های بیرون از مولفه‌های چاہک صفر است. فرض کنید چنین نباشد و  $T^+$  و  $T^-$  را به ترتیب راس‌های با مولفه مثبت و راس‌های با مولفه منفی در  $(S_1 \cup \dots \cup S_k) \setminus V$  بردار  $v$  بگیرید. در این صورت  $Lv = 0$  ولذا

$$\sum_{j \in V} d_{j,i} v_j = d^+(i)v_i,$$

و با جمع بستن روی  $i \in T^+$  داریم:

$$\sum_{i \in T^+} d^+(i)v_i = \sum_{i \in T^+} \sum_{j \in V} d_{j,i}v_j = \sum_{j \in V} v_j \sum_{i \in T^+} d_{j,i}.$$

در جمع طرف راست می‌توانیم تنها روی  $j \in T^+ \cup T^-$  جمع بیندیم. زیرا برای  $j \notin T^+ \cup T^-$ ، یا  $v_j = 0$  یا  $j$  در یک مولفه چاهک قرار دارد و هیچ یالی از  $i$  به  $j$  وجود ندارد. بنابراین به دست می‌آوریم:

$$\sum_{i \in T^+} d^+(i)v_i = \sum_{j \in T^+} v_j d(j, T^+) + \sum_{j \in T^-} v_j d(j, T^+),$$

که منظور از  $d(A, B)$ ، تعداد یال‌هایی است که دم در  $A$  و سر در  $B$  دارند. از طرف دیگر:

$$\sum_{i \in T^+} d^+(i)v_i = \sum_{i \in T^+} v_i d(i, T^+) + \sum_{i \in T^+} v_i d(i, V \setminus T^+),$$

و در نتیجه از دو معادله اخیر به دست می‌آوریم:

$$\sum_{j \in T^-} v_j d(j, T^+) = \sum_{i \in T^+} v_i d(i, V \setminus T^+).$$

در این معادله طرف چپ نامثبت و طرف راست نامنفی است. بنابراین برای هر  $i \in T^+$ ،  $d(i, V \setminus T^+) = 0$ . از این رو  $T^+$  حاوی یک مولفه چاهک است که با تعریف آن در تناقض است.

حال چون هیچ یالی بین دو مولفه چاهک وجود ندارد، تهدید هر بردار در فضای پوچ  $L$  به هر مولفه چاهک، یک بردار در فضای پوچ ماتریس لاپلاسین آن مولفه است. همان طور که ثابت شد این فضای پوچ مولفه یک بعدی است و توسط یک بردار مثبت تولید می‌شود. اجازه دهید  $v_1, \dots, v_k$  را به ترتیب بردارهای مثبت مولدهای پوچ ماتریس لاپلاسین مولفه‌های  $S_1, \dots, S_k$  قرار دهیم. بدون تغییر نماد بردار  $v_i$  را با قرار دادن صفر در بیرون مولفه  $S_i$ ، برداری در  $\mathbb{Z}^{|V|}$  در نظر می‌گیریم. اکنون خانواده  $\{v_1, \dots, v_k\}$  همگی بردارهایی در فضای پوچ  $L$  هستند که این فضا را تولید می‌کنند. در ضمن چون تکیه‌گاه این بردارها مجزا است، آن‌ها مستقل خطی هستند و در نتیجه پایه‌ای برای فضای پوچ  $L$  تشکیل می‌دهند. ■

## ۴-۲ گشت‌های تصادفی روی گراف‌های جهت‌دار

در این بخش دوره مختصری بر خواص گشت‌های تصادفی روی گراف‌های جهت‌دار، با تأکید بر ارتباط آن با ماتریس لاپلاسین گراف‌های جهت‌دار انجام می‌دهیم. نتایج بدست آمده در این بخش ما را در بررسی خواص

تناوبی بازی شلیک چیپ در بخش بعد یاری خواهد کرد. در بخش ۲-۶ نیز موضوعی به نام چرتکه احتمالاتی را معرفی می‌کنیم که ارتباط دیگری را بین گشت‌های تصادفی و بازی شلیک چیپ برقرار می‌کند. فرض کنید گراف  $G$  و یک راس شروع  $k$  داده شده باشد، یکی از همسایه‌های خروجی  $k$  را به تصادف انتخاب می‌کنیم و به آن حرکت می‌کنیم. این کار را برای راس جدید تکرار می‌کنیم. دنباله راس‌های انتخاب شده، یک گشت تصادفی تشکیل می‌دهند. نظریه گشت‌های تصادفی کلاسیک به بررسی گشت‌های تصادفی روی گراف‌های ساده اما نامتناهی مثل گریدها می‌پردازد. احتمال این که یک گشت تصادفی با شروع از یک راس پس از تعداد متناهی قدم به راس اولیه بازگردد چقدر است؟ این نظریه به سوالاتی از این دست پاسخ می‌دهد. اخیراً مطالعه گشت‌های تصادفی روی گراف‌های کلی تر ولی متناهی مورد توجه قرار گرفته است. در این تحلیل‌ها کمیت‌های بیشتری می‌تواند بررسی شود، مثلًاً این که با شروع از یک راس چند قدم تصادفی می‌زنیم تا به راس اولیه یا یک راس دیگر بررسیم و یا از همه راس‌ها عبور کنیم؟ در ادامه دوره‌ای از برخی خواص مهم گشت‌های تصادفی روی گراف‌های جهت‌دار ارائه می‌کنیم. برای مطالعه بیشتر [۲۵] و [۳۱] را ببینید.

یک فرایند تصادفی یک آزمایش تصادفی است که در چند مرحله اتفاق می‌افتد به طوری که نتیجه پیشامد شده در یک مرحله می‌تواند به نتیجه پیشامد شده در مراحل قبل وابسته باشد. مثلًاً فرض کنید یک سکه پرتاب می‌کنیم، در صورتی که شیر آمد، یک تاس پرتاب می‌کنیم و در صورتی که خط آمد دوباره آن سکه را پرتاب می‌کنیم. این یک فرایند تصادفی دو مرحله‌ای است. در شرایطی که در یک فرایند تصادفی، نتیجه مرحله  $n$ -ام تنها به نتیجه مرحله  $(n-1)$ -ام (ونه مراحل قبل) وابسته باشد، آن را یک فرایند مارکوف می‌گوییم. در صورتی که یک آزمایش تصادفی ثابت، در چند مرحله تکرار شود، آن را یک زنجیر مارکوف گوییم. چون هدف ما تحلیل گشت‌های تصادفی روی گراف‌های متناهی است، بررسی خود را به حالت متناهی تحدید می‌کنیم. اجازه دهید تعاریف را دقیق‌تر بیان کنیم.

**تعریف ۲-۴-۱** [۲۵] فرض کنید برای  $\{f_n\}_{n \in \mathbb{N}}$  یک آزمایش تصادفی و  $A_n$  فضای نمونه آن باشد. اگر برای هر  $a \in A_n$   $\Pr(f_n = a)$  تابعی از پیشامدهای رخداده در آزمایش‌های  $f_{n-1}, \dots, f_0$  باشد آن‌گاه دنباله  $(f_0, f_1, \dots)$  را یک فرایند تصادفی گوییم. اگر به علاوه برای هر  $A_i = A$   $i \in \mathbb{N}$  که مجموعه‌ای متناهی است، آن‌گاه آن را فرایند تصادفی متناهی گوییم. یک فرایند تصادفی را فرایند مارکوف می‌خوانیم هرگاه برای هر گزاره‌ی  $s$  که درستی آن تنها وابسته به نتایج آزمایش‌های  $f_{n-1}, \dots, f_0$  باشد، هر  $\Pr(f_n = a | f_{n-1} = b) \cap s = \Pr(f_n = a | f_{n-1} = b)$  باشیم ( $a \in A_n$ ،  $b \in A_{n-1}$  و  $n \in \mathbb{N}$ ). همچنین احتمال انتقال از  $b$  به  $a$  در مرحله  $n$ -ام که با  $p_{a,b}(n)$  نشان می‌دهیم، به صورت زیر تعریف می‌کنیم:

$$p_{a,b}(n) = \Pr(f_n = a | f_{n-1} = b).$$

یک زنجیر مارکوف متناهی یک فرایند مارکوف متناهی است که برای هر  $p_{a,b}(n)$ ،  $a, b \in A$  مستقل از  $n$  باشد. اگر فرض کنیم  $\{1, \dots, n\} = A$ ، آن‌گاه ماتریس  $P = (p_{i,j})_{n \times n}$  را ماتریس انتقال گوییم. توزیع احتمال آغازی را با  $(p_*)_i = p_n$  نشان می‌دهیم که  $(p_*)_i = \Pr(f_n = i)$  و توزیع احتمال در مرحله  $n$  است که  $(p_n)_i = \Pr(f_n = i)$ .

یک زنجیر مارکوف متناهی را می‌توانیم به صورت یک فرایند در نظر بگیریم که از حالت به حالت دیگر تغییر می‌کند. با احتمال  $i$  از  $j$  شروع می‌کنیم. در صورتی که در یک زمان در حالت  $j$  باشیم، در گام بعد با احتمال  $p_{ij}$  به حالت  $i$  می‌رویم. توزیع احتمال آغازی و ماتریس انتقال، به طور کامل فرایند زنجیر مارکوف را مشخص می‌کنند.

**تعريف ۲-۴-۲** [۲۵] فرض کنید  $G$  یک گراف جهت‌دار باشد که فاقد راس چاهک است، یعنی برای هر  $k \in V(G)$   $d^+(k) > 0$ . یک گشت تصادفی روی  $G$ ، یک زنجیر مارکوف  $(f_0, f_1, \dots)$  است که مقادیر همه  $f_i$ ‌ها در  $V(G)$  است. با یک توزیع احتمالی روی راس‌های  $G$  مثل  $p$  شروع می‌کنیم. (هم‌چنین می‌توانیم از یک راس  $k$  شروع کنیم که در واقع یک توزیع است که احتمال  $k$  احتمال بقیه راس‌ها صفر است). در صورتی که مقدار  $f_t$  داده شده باشد، برای راس  $k$  احتمال این‌که  $k = f_{t+1}$  برابر نسبت تعداد یال‌های واصل  $f_t$  به بر کل یال‌های خروجی  $f_t$  است. در واقع احتمالات انتقال در گشت تصادفی روی  $G$  به صورت زیر هستند.

$$p_{i,j} = \frac{d_{i,j}}{d^+(i)}, \quad i, j \in V(G). \quad (1.2)$$

یک توزیع ایستا برای یک زنجیر مارکوف، یک توزیع آغازی  $p_0 = q$  است که  $p_1 = \dots = p_n = q$ . در واقع اگر یک توزیع ایستا باشد، آن‌گاه برای هر  $n \in \mathbb{N}$   $p_n = q$ .

با توجه تعریف فوق برای توزیع ایستای  $q$  در یک گشت تصادفی روی گراف  $G$ ، اگر در یک زمان احتمال این‌که در راس  $k$  باشیم  $q_k$  باشد، آن‌گاه بعد از یک قدم تصادفی نیز احتمال این‌که در  $k$  باشیم همان  $q_k$  است. لم زیر بین توزیع ایستا و ماتریس لابلسین و ماتریس انتقال روابطی برقرار می‌کند:

**لم ۲-۴-۳** فرض کنید  $G$  یک گراف جهت‌دار،  $L$  ماتریس لابلسین آن،  $(p_{ij}) = P$  ماتریس معرفی شده در معادله (۱.۲) و  $(q_i; i \in V(G))$  یک توزیع احتمال روی  $G$  باشد. در این صورت موارد زیر معادلند:

الف)  $q$  ایستا است.

ب)  $q$  یک بردار ویژه چپ متناظر با مقدار ویژه یک برای ماتریس  $P$  است.

ج) بردار  $x$  که به صورت  $x_i = \frac{q_i}{d^+(i)}$  تعریف شده، در معادله  $Lx = \mathbf{0}$  صدق کند.

برهان. توزیع احتمالی روی راس‌ها بعد از یک قدم تصادفی است، بنابراین برای هر  $i \in V$  داریم

$$(p_1)_i = \Pr(f_1 = i) = \sum_{j=1}^n \Pr(f_1 = i | f_0 = j) \cdot \Pr(f_0 = j) = \sum_{j=1}^n \frac{d_{j,i}}{d^+(j)} q_j.$$

در نتیجه  $p_1 = q$  اگر و تنها اگر  $q^\top P = q^\top$ ، یعنی  $q$  بردار ویژه چپ ماتریس  $P$  متناظر با مقدار ویژه یک باشد. هم‌چنین  $p_1 = q$  اگر و تنها اگر برای هر  $i \in V$

$$\sum_{j=1}^n d_{j,i} \frac{q_j}{d^+(j)} - d^+(i) \frac{q_i}{d^+(i)} = 0.$$

لذا با قرار دادن  $x_i = \frac{q_i}{d^+(i)}$  آوریم  $p_1 = q$  اگر و تنها اگر  $Lx = \mathbf{0}$ .

توجه کنیم که چون  $q$  یک توزیع احتمالی است، بردار  $x$  تعریف شده در لم بالا در شرط  $\|x\| = 1$  صدق می‌کند. از طرف دیگر اگر  $G$  یک گراف قویاً همبند باشد، آنگاه طبق قضیه ۳-۳-۲ معادله  $Lx = \mathbf{0}$  با  $\|x\| = 1$  یک جواب یکتای مثبت دارد. در نتیجه یک توزیع ایستای یکتا روی  $G$  وجود دارد که برابر  $x_i = d^+(i) \cdot q_i$  است و برای هر  $i \in V$ . هم‌چنین اگر علاوه بر این  $G$  اویلری باشد، آنگاه قضیه ۳-۳-۲ نتیجه می‌دهد که  $x_i = \frac{1}{m}$  است.

**تعریف ۴-۴-۲** [۷] برای دو راس  $i$  و  $j$ ، زمان دسترسی راس  $i$  از راس  $j$  را برابر امید ریاضی تعداد گام‌ها در یک گشت تصادفی با شروع از  $i$  قبل از اولین برخورد با  $j$  تعریف می‌کنیم و با  $\text{acc}(i, j)$  نمایش می‌دهیم. بنابراین  $\text{acc}(i, i)$  برابر امید ریاضی تعداد گام‌ها با شروع از  $i$  قبل از اولین بازگشت به  $i$  است. ماکزیمم زمان دسترسی بین هر دو راس  $G$  را با  $\text{acc}(G)$  نشان می‌دهیم.

در گزاره زیر ثابت می‌کنیم که همواره در گراف‌های قویاً همبند مقدار  $\text{acc}(i, j)$  متناهی است.

**گزاره ۴-۵** اگر  $G$  یک گراف جهت‌دار قویاً همبند باشد، آنگاه برای هر  $(i, j) \in V(G)$   $\text{acc}(i, j)$  متناهی است.

برهان. ابتدا ثابت می‌کنیم  $\text{acc}(i, i)$  متناهی است. یک گشت تصادفی  $(i, f_1, f_2, \dots)$  با شروع از راس  $i$  در نظر می‌گیریم. فرض کنیم راس  $i$  روی یک دور جهت‌دار  $C$  باشد. (که چون  $i$  راس چاهک نیست و  $G$  قویاً همبند است، امکان پذیر است.) بنابراین احتمال این که گشت زن تصادفی روی  $C$  حرکت کند و به  $i$  برگردد مثبت

است. لذا احتمال این که گشتزن تصادفی بعد از تعداد متناهی حرکت به راس  $i$  بازگردد، مثبت است.<sup>۲</sup> پس یک وجود دارد که  $n \in \mathbb{N}$  فرض کنید.  $\Pr(f_n = i) > 0$ . کوچکترین عددی باشد که این احتمال مثبت است و قرار دهید  $p = \Pr(f_{n_0} = i) > 0$ . بنابراین

$$\Pr(f_{\lceil n_0 \rceil} = i) \geq \Pr(f_{\lceil n_0 \rceil} = i \cap f_{n_0} = i) = \Pr(f_{\lceil n_0 \rceil} = i | f_{n_0} = i) \cdot \Pr(f_{n_0} = i) = p^t.$$

با تکرار استدلال فوق ثابت می‌شود که  $\Pr(f_{tn_0} = i) \geq p^t$  برای هر  $t \in \mathbb{N}$ . در نتیجه

$$\begin{aligned} \text{acc}(i, i) &= n_0 \Pr(f_{n_0} = i) + \sum_{k=n_0+1}^{\infty} k \Pr(f_k = i \cap f_{k-1} \neq i \cap \dots \cap f_{n_0} \neq i) \\ &\leq n_0 p + \sum_{t=1}^{\infty} (t+1) n_0^t \Pr(f_{tn_0} \neq i) \leq n_0 p + \sum_{t=1}^{\infty} (t+1) n_0^t (1-p^t) \\ &\leq n_0 p + n_0^t \sum_{t=1}^{\infty} (t+1) (1-p)^t < \infty. \end{aligned}$$

حال فرض کنید  $V$  یک مسیر باشد که  $i$  را به  $j$  وصل می‌کند و یک گشتزن تصادفی با شروع از  $i$  را در نظر بگیرید. فرض کنید که باید  $\tau_1$  گام منتظر بمانیم تا از یال  $e_1$  عبور کنیم. بعد از آن باید  $\tau_2$  گام منتظر بمانیم تا از  $e_2$  عبور کنیم و همین طور تا آخر. بنابراین بعد از  $\tau_1 + \dots + \tau_h$  گام به  $j$  می‌رسیم و در نتیجه  $E(\tau_1 + \dots + \tau_h) \leq E(\tau_1, j) \leq \text{acc}(i, j)$ . لذا با توجه به خاصیت خطی امید ریاضی، کافی ثابت کنیم  $E(\tau_k)$  متناهی است. این مطلب را برای  $E(\tau_1)$  ثابت می‌کنیم و بقیه به طور مشابه است. قرار دهید  $d = d^+(i)$ ، احتمال این که گشتزن تصادفی پس از  $t$ -امین ملاقات راس  $i$  از  $e_1$  عبور کند برابر  $(1/d)^t$  است، لذا

$$E(\tau_1) = \sum_{t=0}^{\infty} \frac{1}{d} \left(1 - \frac{1}{d}\right)^t (t \cdot \text{acc}(i, i) + 1) < \infty.$$

در نتیجه حکم ثابت می‌شود. ■

در قضیه زیر مقدار دقیق  $\text{acc}(i, i)$  را به دست می‌آوریم.

**قضیه ۲-۴-۶** [۷] اگر  $G$  یک گراف جهت‌دار قویاً همبند و  $q$  توزیع ایستا روی  $V(G)$  باشد، آن‌گاه

$$\text{acc}(i, i) = \frac{1}{q_i}$$

در واقع این احتمال برابر یک است. راس  $j$  را گرفته و فرض کنید  $r_i$  احتمال این باشد که یک گشتزن تصادفی با شروع از  $i$  بعد از تعداد متناهی گام به  $j$  برسد. واضح است که  $1 = \min_k r_k$  و برای هر  $i \neq j$ ،  $r_i = \sum_k \frac{d_{i,k}}{d+(i)} r_k$ . در این صورت برای هر همسایه خروجی  $i$ ،  $r_k = r_i$  داریم. مثل  $k$  داشته باشیم  $r_k > r_i$ . آن‌گاه  $r_i = \sum_k \frac{d_{i,k}}{d+(i)} r_k = \sum_k \frac{d_{i_0,k}}{d+(i_0)} r_k > \sum_k \frac{d_{i,k}}{d+(i)} r_i$  است. با تکرار این استدلال با توجه به این که  $G$  قویاً همبند است، به دست می‌آوریم برای هر  $k$ ،  $r_k = r_{j_0} = 1$ ؛ یعنی با شروع از هر راس  $k$ ، حتماً بعد از تعداد متناهی گام به  $j$  می‌رسیم.

برهان. قرار دهید  $M = (m_{i,j})$  و  $m_{i,j} = \text{acc}(i, j)$  را برابر تعداد گام‌های تصادفی با شروع از  $i$ ، قبل از اولین برخورد با  $j$  بگیرید. در این صورت

$$\begin{aligned} m_{i,j} &= \mathbf{E}(X) = \sum_k \mathbf{E}(X|f_1 = k) \cdot \mathbf{Pr}(f_1 = k) = \frac{d_{i,j}}{d^+(i)} + \sum_{k \neq j} \frac{d_{i,k}}{d^+(i)}(1 + m_{k,j}) \\ &= \frac{1}{d^+(i)} \sum_k d_{i,k} + \sum_{k \neq j} \frac{d_{i,k}}{d^+(i)} m_{k,j}. \end{aligned}$$

بنابراین

$$m_{i,j} = 1 + \sum_{k \neq j} p_{i,k} m_{k,j} = 1 + \sum_k p_{i,k} m_{k,j} - p_{i,j} m_{j,j}. \quad (2.2)$$

اگر  $D$  یک ماتریس قطری باشد که درایه‌های روی قطرش اعداد  $m_{n,n}, \dots, m_{1,1}$  است و  $J$  ماتریسی با همه درایه‌های ۱ باشند، آن‌گاه می‌توان معادله (2.2) را به فرم ماتریسی زیرنوشت:

$$M = J + P(M - D).$$

از طرفی طبق لم ۲-۴-۳،  $q$  یک مقدار ویژه راست برای  $P$  است ولذا

$$q^\top M = q^\top J + q^\top P(M - D) = \mathbf{1}^\top + q^\top(M - D).$$

واز آن جا داریم  $\mathbf{1}^\top = q^\top D$ . در نتیجه برای هر  $i \in V(G)$  و لذا  $m_{ii} = \frac{1}{q_i} q_i m_{ii} = 1$  داشته باشیم. در نظر بگیرید و فرض

قضیه زیر کرانی برای مقدار  $\text{acc}(i, j)$  در گراف‌های قویاً همبند به دست می‌دهد.

قضیه ۲-۴-۷ [۷] گراف جهت‌دار قویاً همبند  $G$  را توزیع ایستای  $q$  روی  $V(G)$  در نظر بگیرید و فرض کنید دو راس  $i$  و  $j$  بوسیله مسیر جهت‌دار  $i = i_0, i_1, \dots, i_h = j$  بهم وصل شده‌اند. در این صورت

$$\text{acc}(i, j) \leq \left( \sum_{r=0}^{h-1} \frac{d^+(i_r)}{q_{i_r}} \right) - h.$$

برهان. فرض کنید  $e_1 = i_0, e_1, \dots, e_h = i_h$  یال‌های متوالی مسیر داده شده باشد. یک گشته تصادفی با شروع از  $i$  را در نظر بگیرید. فرض کنید باید  $\tau_1$  گام منتظر بمانیم تا از یال  $e_1$  عبور کنیم. بعد از آن باید  $\tau_2$  گام منتظر بمانیم تا از  $e_2$  عبور کنیم و همین طور تا آخر. بنابراین بعد از  $\tau_1 + \dots + \tau_h$  گام به  $j$  می‌رسیم و در

نتیجه  $\text{acc}(i, j) \leq \mathbf{E}(\tau_1 + \dots + \tau_h)$ . لذا با توجه به خاصیت خطی امید ریاضی، کافی است ثابت کنیم

$$\mathbf{E}(\tau_{k+1}) \leq \frac{d^+(i_r)}{q_{i_r}} - 1. \quad (3.2)$$

این مطلب را برای  $r = n$  نشان می‌دهیم و بقیه مشابه است. اگر  $d^+(i) = q_i$  آن‌گاه بهوضوح  $\mathbf{E}(\tau_1) = 1$  با توجه به ایستا بودن  $q_k$  و  $q_{i_r} \geq q_i$  ولذا  $q_{i_r} = q_i + \sum_{k \neq i_r} d_{k,i_r}/d^+(k)$  صادق است. قرار دهید  $d = d^+(i) > 1$  و با شروع از  $i$  فرض کنید  $\mathbf{E}(k)$  امید تعداد گام‌ها قبل از بازگشت به  $i$  باشد، به شرطی که حرکت اول از یکی از یال‌های واصل  $i$  به  $k$  باشد. در این صورت

$$\sum_k \frac{d_{i,k}}{d} \mathbf{E}(k) = \text{acc}(i, i) = \frac{1}{q},$$

که تساوی اخیر با توجه به گزاره ۶-۴-۲ است. درنتیجه امید تعداد گام‌ها قبل از بازگشت به  $i$  به شرطی که در حرکت اول از یال  $e_1$  عبور نکنیم برابر است با

$$\frac{1}{d-1} \left[ \sum_k d_{i,k} \mathbf{E}(k) - \mathbf{E}(i_1) \right] \leq \frac{d}{d-1} \frac{1}{q} - \frac{2}{d-1} = \frac{d-2q}{(d-1)q}.$$

حال احتمال این که گشت‌زن تصادفی پس از  $t$ -امین ملاقات راس  $i$  از  $e_1$  عبور کند برابر  $(1 - \frac{1}{d})^t$  است، لذا  $\mathbf{E}(\tau_1)$  حد اکثر برابر با مقدار زیر است:

$$\sum_{t=0}^{\infty} \frac{1}{d} \left( 1 - \frac{1}{d} \right)^t \left( t \frac{d-2q}{(d-1)q} + 1 \right) = \frac{d}{q} - 1$$

و ادعا ثابت می‌شود. ■

نتیجه ۲-۴-۸ [۷] برای گراف جهت‌دار قویاً همبند  $G$  با توزیع ایستای  $q$ ، داریم  $\text{acc}(G) \leq \|(\frac{1}{q_k})\|$ .

برهان.

$$\text{acc}(i, j) \leq \sum_{r=0}^{h-1} \frac{d^+(i_r)}{q_{i_r}} \leq \sum_{k \in V} \frac{d^+(k)}{q_k} = \left\| \left( \frac{1}{q_k} \right) \right\|.$$

ولذا حکم ثابت می‌شود. ■

نتیجه ۲-۴-۹ [۷] برای گراف همبند و اویلری  $G$  با  $n$  راس و  $m$  یال، داریم  $\text{acc}(G) \leq nm$ .

برهان. اگر  $q$  توزیع ایستا روی  $V(G)$  باشد، آنگاه طبق قضیه ۲-۳-۴-۲، برای هر راس  $k$ ،

$$\text{acc}(G) \leq \left\| \left( \frac{1}{q_k} \right) \right\| = \sum_k m = nm.$$

لذا به کمک نتیجه ۲-۴-۸،  $q_k = d^+(k)/m$  لم زیر رابطه دیگری را بین ماتریس لaplاسین و زمان دسترسی به دست می‌دهد.

لم ۲-۴-۱۰ [۷] فرض کنید  $G$  یک گراف جهت‌دار قویاً همبند با ماتریس لaplاسین  $L$  باشد و دو راس متمایز در  $G$  باشند. در این صورت یک بردار  $w \in \mathbb{R}^{|V|}$  وجود دارد که

$$Lw = e_j - e_i, \quad w \geq \circ, \quad w_j = \circ, \quad (4.2)$$

و

$$\text{acc}(i, j) = \|w\|.$$

(توجه کنید که شرایط (۴.۲)،  $w$  را به طور یکتا مشخص می‌کند.)

برهان. فرض کنید  $u_k$  برابر امید تعداد دفعاتی باشد که یک گشت‌زن تصادفی با شروع از  $i$  راس  $k$  را ترک می‌کند، قبل از این‌که به راس  $j$  برسورد کند. بنابراین  $u_j = \circ$  و برای هر  $r \neq i, j$ ، داریم

$$u_r = \sum_k d_{k,r} \frac{u_k}{d^+(k)},$$

زیرا  $u_k/d^+(k)$  برابر امید تعداد دفعاتی است که گشت‌زن تصادفی از یک یال مشخص واصل  $k$  به  $r$  می‌گذرد. برای  $i = r$  به خاطر شروع یک واحد به مقدار فوق اضافه می‌شود و برای  $j = r$  به خاطر پایان یک واحد از مقدار فوق کم می‌شود، لذا

$$u_i = \sum_k d_{k,i} \frac{u_k}{d^+(k)} + 1, \quad \circ = u_j = \sum_k d_{k,j} \frac{u_k}{d^+(k)} - 1.$$

در نتیجه برای  $(i)$  و  $w = (w_1, \dots, w_n)$  داریم  $Lw = e_j - e_i$  و به وضوح  $w \geq \circ$  و  $w_j = \circ$ . علاوه بر این

$$\text{acc}(i, j) = \sum_k u_k = \|w\|.$$

بنابراین حکم برقرار است.

در پایان این بخش نتیجه‌ای را بیان می‌کیم که در بخش بعد استفاده خواهد شد.

قضیه ۲-۱-۴ [۷] فرض کنید  $G$  یک گراف جهت‌دار قویاً همبند،  $w \in \mathbb{R}^{|V|}$  و  $\min_k w_k = 0$ . در این صورت

$$\|w\| \leq \frac{1}{\gamma} |Lw| \text{ acc}(G).$$

برهان. فرض کنید  $V^- = \{i : (Lw)_i < 0\}$  و  $V^+ = \{i : (Lw)_i > 0\}$ . بنابراین

$$Lw = \sum_{j \in V^+} a_j e_j - \sum_{i \in V^-} a_i e_i,$$

که برای هر  $\sum_{j \in V^+} a_j - \sum_{i \in V^-} a_i = \mathbf{1}^\top Lw = 0$  از طرفی  $\mathbf{1}^\top L = \mathbf{0}$  لذا  $e_k > 0$ ،  $k \in V^+ \cup V^-$ . در

نتیجه

$$Lw = \sum_{j \in V^+} a_j (e_j - e_i) + \sum_{i \in V^-} a_i (e_j - e_i) = \sum_{j \in V^+, i \in V^-} \left( \frac{a_j}{|V^-|} + \frac{a_i}{|V^+|} \right) (e_j - e_i).$$

قرار دهید  $Lw = \sum_{j \in V^+, i \in V^-} \beta_{ij} (e_j - e_i)$  و لذا  $\beta_{ij} = \frac{a_j}{|V^-|} + \frac{a_i}{|V^+|}$  بردار به دست آمده در لم ۲-۴-۱۰ باشد که

$$Lw^{(ij)} = e_j - e_i, \quad w^{(ij)} \geq 0, \quad w_j^{(ij)} = 0,$$

و قرار دهید  $L(w' - w) = 0$ . پس  $w' = \sum_{j \in V^+, i \in V^-} \beta_{ij} w^{(ij)}$  طبق قضیه ۲-۳-۳ همه مولفه‌های بردار  $w - w'$  هم علامت هستند. از طرفی چون  $w' \geq 0$  داریم  $w \leq w'$ . در نتیجه

$$\begin{aligned} \|w\| &\leq \|w'\| = \sum_{j \in V^+, i \in V^-} \beta_{ij} \|w^{(ij)}\| = \sum_{i,j} \beta_{i,j} \text{ acc}(i,j) \\ &\leq \left( \sum_{i,j} \beta_{i,j} \right) \text{ acc}(G) = \frac{1}{\gamma} |Lw| \text{ acc}(G). \end{aligned}$$

ولذا حکم برقرار است.

■

## ۵-۲ دوره تناوب و طول بازی

در این بخش به بررسی دوره تناوب بازی‌های نامتناهی و طول بازی‌های متناهی می‌پردازیم. فرض کنیم  $G = (V, E)$  یک گراف جهت‌دار و  $L$  ماتریس لاپلاسین آن باشد و یک بازی شلیک چیپ روی  $G$  در نظر

بگیریم. در صورتی که این بازی نامتناهی باشد، با توجه به این که تعداد آرایش‌های مختلف متناهی است، حتماً بعد از تعداد متناهی شلیک یک آرایش  $\theta$  تکرار می‌شود. فرض کنیم  $(k_0, \dots, k_{n-1}) : \sigma$  یک دنباله قانونی از راس‌ها باشد که ترتیب راس‌های شلیک شده از اولین ظهر آرایش  $\theta$  تا دومین ظهر آرایش  $\theta$  را نشان دهد. بردار  $v = [v_i] = v$  را بردار امتیاز دنباله  $\sigma$  قرار می‌دهیم. به یاد می‌آوریم که برای هر  $i \in V$ ،  $v_i$  برابر تعداد دفعات شلیک راس  $\theta$  در دنباله  $\sigma$  است. در نتیجه داریم  $Lv = \theta - Lv$ ، یعنی  $Lv = 0$ .

**تعريف ۲-۵-۱** [۷] یک بردار  $v \in \mathbb{R}^{|V|}$  را یک بردار تناوب می‌گوییم هرگاه همه مولفه‌های  $v$  صحیح و نامنفی باشند و  $Lv = 0$ . بردار تناوب  $v$  را اولیه گوییم هرگاه مولفه‌های  $v$ ، مقسوم‌علیه مشترک نابدیهی نداشته باشند.

قضیه ۲-۳-۲ مستقیماً نشان می‌دهد که در گراف‌های قویاً همبند یک بردار تناوب اولیه یکتا وجود دارد. ما نتایج قضیه مذکور را در گزاره زیر جمع می‌کنیم.

**گزاره ۲-۵-۲** فرض کنید  $G$  یک گراف جهت‌دار باشد. در این صورت

الف) اگر  $G$  قویاً همبند باشد، آن‌گاه  $G$  یک بردار تناوب اولیه یکتای  $v_G$  دارد. این بردار اکیداً مثبت است و همه بردارهای تناوب مضارب طبیعی  $v_G$  هستند.

ب) اگر  $G$  همبند اویلری باشد، آن‌گاه  $1 \cdot v_G = 1$ .

ج) در حالت کلی بردارهای تناوب یک گراف جهت‌دار دلخواه  $G$  بردارهایی به شکل  $\sum_{i=1}^k \lambda_i v_i$ ،  $\lambda_i \in \mathbb{Z}_+ \cup \{0\}$  بردارهای تناوب اولیه مولفه‌های چاهک  $G$  می‌باشند.

**تعريف ۲-۵-۳** برای هر گراف جهت‌دار قویاً همبند  $G$ ، مقدار  $\text{per}(v_G) = \sum_k |v_G|$  را دوره تناوب  $G$  گفته و با  $\text{per}(G)$  نمایش می‌دهیم. هم‌چنین برای هر گراف دلخواه  $G$ ،  $\text{per}(G)$  را برابر مجموع  $\text{per}(H)$  روی همه مولفه‌های قویاً همبند  $H$  از  $G$  تعریف می‌کنیم.

با توجه به تعریف فوق به عنوان مثال اگر همه مولفه‌های قویاً همبند  $G$  اویلری باشند، آن‌گاه  $\text{per}(G) = n$ . در لم ۱-۳-۱ ثابت کردیم که در یک بازی پایان‌پذیر روی یک گراف غیرجهت‌دار، راسی وجود دارد که شلیک نشده است. اکنون آمده‌ایم تا تعمیمی از این لم را برای گراف‌های جهت‌دار اویلری ثابت کنیم. ابتدا یک لم مهم

و جالب را بیان می‌کنیم. یک نتیجه از این لم است که اگر از یک بازی قانونی روی  $G$ ، یک دوره تناوب کم کنیم، آن‌گاه باز هم یک دنباله قانونی به دست می‌آوریم.

**لم ۲-۵-۴** فرض کنید  $\sigma$  یک دنباله قانونی از یک آرایش شروع  $\theta$  باشد و بردار نامنفی  $v \in \mathbb{Z}^{|V|}$  به گونه‌ای باشد که  $Lv - \theta = \theta'$  یک تابع آرایش باشد. حال  $\sigma'$  را زیردنباله‌ای از  $\sigma$  بگیرید که از حذف اولین  $v_i$  بار وقوع راس  $i$  در  $\sigma$ ، برای هر  $i$  به دست می‌آید. (اگر راس  $i$  کمتر از  $v_i$  بار اتفاق افتاده باشد، آن‌گاه همه  $i$ ها را حذف می‌کنیم.) در این صورت  $\sigma'$  یک دنباله قانونی با شروع از آرایش  $\theta'$  است.

برهان. فرض کنید  $\sigma$  باستقرای فرض می‌کنیم دنباله  $x_{i_1} \dots x_{i_k} \dots x_m = x_1 \dots x_{i_k} \dots x_{i_{k-1}} \dots x_{i_1} = \sigma$ . با استقرای فرض می‌کنیم دنباله  $y = x_{i_k} \dots x_{i_1} = \sigma'$ . در بازی  $\sigma$  با شروع از  $\theta$  بعد از  $i_k - 1$  شلیک اول، نوبت شلیک  $y$  می‌رسد و بنابراین در این لحظه  $y$  به اندازه  $(y) \geq d^+(y) \geq c$  چیپ دارد. اجازه دهید این عدد را با تعداد چیپ‌های روی  $y$  بعد از  $i_k - 1$  حرکت اول در بازی  $\sigma$  با شروع از  $\theta$  مقایسه کنیم. اولاً تعداد چیپ‌های روی  $y$  در آرایش شروع  $\theta$  به اندازه  $(y) - Lv$  بیشتر از آرایش شروع  $\theta$  است. ثانیاً ما  $v(y)$  وقوع اول  $y$  را در  $\sigma$  حذف کرده‌ایم، بنابراین  $y$  به اندازه  $(y) - Lv$  بار کمتر شلیک شده است. به این خاطر در آرایش حاضر  $(y) - d_{y,y}v(y)$  چیپ بیشتر روی  $y$  قرار دارد. اما از طرف دیگر همسایه‌های  $y$  هم کمتر شلیک شده‌اند و از این بابت  $y$  چیپ‌های کمتری از آنان دریافت می‌کند. به بیان دقیق‌تر برای هر راس  $u$ ، اگر بعد از  $i_k - 1$  شلیک اول در بازی  $\sigma$ ،  $y$  به تعداد  $a(u) - d_{u,y}v(u)$  چیپ از  $u$  دریافت کند، آن‌گاه بعد از  $i_k - 1$  حرکت اول در بازی  $\sigma'$ ، به اندازه  $\max\{0, a(u) - d_{u,y}v(u)\}$  چیپ از آن دریافت می‌کند. بنابراین به اندازه  $a(u) - \min\{0, a(u) - d_{u,y}v(u)\} = \min\{a(u), d_{u,y}v(u)\}$  کمتر چیپ از  $u$  دریافت می‌کند. درنتیجه تعداد چیپ‌های روی  $y$  بعد از  $i_k - 1$  شلیک اول در بازی  $\sigma'$  با شروع از  $\theta'$  برابر است با

$$\begin{aligned} & c - (Lv)_y + (d^+(y) - d_{y,y})v(y) - \sum_{u: u \neq y} \min\{a(u), d_{u,y}v(u)\} \\ & \geq c - (Lv)_y + d^+(y)v(y) - \sum_u d_{u,y}v(u) = c \geq d^+(y). \end{aligned}$$

بنابراین  $\sigma'$  یک دنباله قانونی با شروع از  $\theta'$  است. ■

**نتیجه ۲-۵-۵** فرض کنید  $v$  یک بردار تناوب گراف جهت‌دار  $G$ ،  $\sigma$  یک دنباله قانونی از آرایش شروع  $\theta$  و  $\sigma'$  دنباله مذکور در لم فوق باشد، در این صورت  $\sigma'$  نیز یک دنباله قانونی از آرایش شروع  $\theta$  است.

برهان. طبق فرض داریم  $Lv = \theta$  نامنفی است و طبق لم قبل  $\sigma'$  یک دنباله قانونی از آرایش شروع  $\theta'$  است. ■

**تعريف ۲-۵-۶** [۷] بردار غیرصفر  $a \in \mathbb{R}^{|V|}$  را تقلیل یافته می‌گوییم هرگاه برای هر بردار تناوب  $v$ ، یک راس  $i$  وجود داشته باشد که  $a_i < v_i$ .

قضیه زیر نشان می‌دهد که تنها در بازی‌های نامتناهی ممکن است یک دوره تناوب، کامل اجرا شود.

**قضیه ۲-۵-۷** [۷] هر بردار امتیاز یک بازی قانونی پایان‌پذیر، تقلیل یافته است.  
برهان. فرض کنید  $\sigma$  یک دنباله قانونی با بردار امتیاز غیرتقلیل یافته  $[\sigma]$  باشد. بنابراین بردار تناوب  $v$  وجود دارد که  $[\sigma] \leq v$ . لذا طبق نتیجه ۲-۵-۵ یک بازی قانونی  $\sigma'$  با بردار امتیاز  $v - [\sigma]$  وجود دارد. اما زبان دنباله‌های قانونی دارای خاصیت تبدیل قوی است.<sup>۳</sup>. لذا یک زیر دنباله  $\beta$  از  $\sigma$  وجود دارد که  $\sigma'^\beta$  یک بازی قانونی است و  $[\sigma] = [\sigma'^\beta]$ . بنابراین  $v = [\sigma'^\beta]$  و درنتیجه  $\sigma'^\beta$  به یک آرایش منجر می‌شوند. لذا  $\sigma'^{\beta\beta}$  یک بازی قانونی نامتناهی است. همچنان  $\sigma$  و  $\sigma'^\beta$  به یک آرایش منجر می‌شوند (چون دارای امتیاز یکسانند)، درنتیجه  $\sigma\beta\beta$  نیز یک بازی قانونی نامتناهی است. ■

تعمیم لم ۱-۳-۱ برای گراف‌های اویلری نتیجه مستقیم قضیه بالا است.

**نتیجه ۲-۵-۸** [۷] اگر یک بازی شلیک چیپ روی گراف اویلری  $G$  متناهی باشد، آن‌گاه راسی وجود دارد که هرگز شلیک نشده است.

برهان. فرض کنید  $\sigma$  دنباله قانونی این بازی باشد. طبق گزاره ۲-۵-۲ بردار ۱، یک بردار تناوب برای  $G$  است. از طرفی طبق قضیه ۲-۵-۷، بردار امتیاز این بازی،  $[\sigma]$  تقلیل یافته است. لذا یک راس  $i$  وجود دارد که  $[\sigma]_i < 1$ ، یعنی راس  $i$  شلیک نشده است. ■

تاکنون برای گراف‌های جهت‌دار قویاً همبند، دو پارامتر معرفی کردیم که هر کدام به نوعی سرعت انتشار را در گراف  $G$  اندازه‌گیری می‌کنند، یکی زمان دسترسی،  $(G)$  acc و دیگری دوره تناوب،  $(G)$  per. قضیه زیر رابطه‌ای بین دوره تناوب و زمان دسترسی در گراف‌های قویاً همبند برقرار می‌کند.

<sup>۳</sup>بخش ۱-۲ را ببینید.

قضیه ۲-۵-۹ [۷] برای هر گراف قویاً همبند  $G$ ، داریم  $\text{acc}(G) \leq n\Delta \text{ per}(G)$ .

برهان. فرض کنیم  $v_G = v$  بردار تناوب اولیه  $G$  باشد و  $q$  را توزیع ایستا روی  $V(G)$  بگیرید. در این صورت طبق لم ۲-۴-۳، برای هر  $i \in V$

$$\frac{q_i}{d^+(i)} = \frac{v_i}{\|v\|}. \quad (6.2)$$

لذا به کمک نتیجه ۲-۴-۸ داریم

$$\begin{aligned} \text{acc}(G) &\leq \sum_k \frac{d^+(k)}{q_k} = \|v\| \sum_k \frac{1}{v_k} \leq n\|v\| \\ &\leq n\Delta \sum_k v_k = n\Delta \text{ per}(G). \end{aligned} \quad (6.2)$$

و این حکم را ثابت می‌کند. ■

علاوه بر پارامترهای زمان دسترسی،  $\text{acc}(G)$  و دوره تناوب،  $\text{per}(G)$ ، پارامتر دیگری از این دست برای یک گراف جهت‌دار قابل تعریف است.

تعریف ۲-۵-۱۰ [۷] برای گراف جهت‌دار  $G$ ، طول بازی  $G$  را ماکزیمم طول یک بازی متناهی روی گراف  $G$ ، یعنی ماکزیمم تعداد راس‌های شلیک شده در یک بازی متناهی روی گراف  $G$ ، تعریف کرده و با  $\text{game}(G)$  نشان می‌دهیم.

برای گراف اویلری بدون یال چندگانه  $G$ ، طبق نتیجه ۲-۴-۲،  $\text{acc}(G)$  از  $O(n^3)$  بوده و طبق گزاره ۲-۵-۲،  $\text{per}(G) = n$ . هم‌چنین قبلًا برای گراف غیرجهت‌دار ساده  $G$ ، طی قضیه ۱-۴-۲ ثابت کردیم که  $\text{game}(G)$  از  $O(n^4)$  است. در ادامه ضمن یافتن رابطه‌ای بین طول بازی و دوره تناوب، ثابت می‌کنیم که  $\text{game}(G)$  برای گراف‌های اویلری بدون یال چندگانه از  $O(n^5)$  است.

لم ۲-۵-۱۱ [۷] فرض کنید  $G$  یک گراف قویاً همبند با بردار تناوب اولیه  $v$  باشد و  $a$  را یک بردار نامنفی تقلیل یافته در نظر بگیرید. در این صورت

$$\|a\| \leq (1 + \frac{n}{\sqrt{\chi}} |La|) \|v\|.$$

برهان. با توجه به تعریف بردار تقلیل یافته، یک  $1 < \lambda < 0$  وجود دارد که  $\min_k (a_k - \lambda v_k) = 0$ . بنابراین طبق قضیه ۲-۴-۱،

$$\|a - \lambda v\| \leq \frac{1}{2} |L(a - \lambda v)| \text{ acc}(G).$$

از طرف دیگر با توجه به تعریف بردار تناوب،  $L(a - \lambda v) = La$ . لذا به کمک نامساوی (۶.۲)،

$$\|a\| \leq \lambda \|v\| + \frac{1}{2} |La| \text{ acc}(G) \leq \|v\| + \frac{1}{2} |La| n \|v\|.$$

در نتیجه حکم ثابت می‌شود. ■

**لم ۲-۵-۱۲** [۷] فرض کنید  $a$  بردار امتیاز یک بازی با  $N$  چیپ روی یک گراف جهت‌دار  $G$  باشد. اگر  $a$  تقلیل یافته باشد، آن‌گاه  $|a| < 2nN\Delta \text{ per}(G)$ .

برهان. فرض کنید  $\theta$  آرایش شروع و  $\theta'$  آرایش پایانی بازی باشد. در این صورت  $|La| = |\theta' - \theta| \leq 2N$ . اگر  $G$  قویاً همبند باشد، آن‌گاه طبق لم ۲-۵-۱۱،

$$|a| \leq \|a\| \leq (1 + nN) \|v\| < 2nN\Delta \text{ per}(G).$$

در ادامه، لم را برای گراف جهت‌دار دلخواه  $G$  به دست می‌آوریم. فرض کنید برای هر مولفه قویاً همبند  $H$  از  $G$  بردار  $a_H$  از تحدید بردار  $a$  به راس‌های مولفه  $H$  به دست آید، بنابراین  $|a_H|$  برابر تعداد شلیک‌ها در آن مولفه است. به دو ملاحظه زیر توجه کنید:

ملاحظه ۱ – اگر یک مولفه قویاً همبند  $H_1$  به یک مولفه قویاً همبند  $H_2$  وصل باشد، آن‌گاه شلیک راس‌های  $H_2$  نمی‌تواند به شلیک راس‌های  $H_1$  کمک کند. درنتیجه می‌توانیم فرض کنیم که همه شلیک‌های راس‌های  $H_2$  بعد از همه شلیک‌های راس‌های  $H_1$  انجام می‌شود.

ملاحظه ۲ – اگر در یک گراف قویاً همبند  $H$  با ماتریس لاپلاسین  $L_H$ ، به یکی از راس‌ها طوقه‌ای اضافه شود آن‌گاه هر بردار  $v \in \mathbb{R}^{|V|}$  مقدار  $L_H v$  تغییری نمی‌کند. بنابراین بردار تناوب اولیه آن،  $v_H$  و در نتیجه دوره تناوب آن  $\text{per}(H)$  تغییر نمی‌کند.

در صورتی که  $H$  یک مولفه قویاً همبند  $G$  باشد، می‌توانیم روی هر راس  $k$  در  $H$ ، به تعداد همسایه‌های خروجی  $k$  که بیرون از  $H$  هستند طوقه اضافه کرده و کلیه راس‌های بیرون  $H$  را حذف می‌کنیم تا گراف  $H'$  را به دست آوریم. بنابراین طبق ملاحظه ۱، شلیک‌هایی که درون  $H$  انجام شده، یک بازی روی  $H'$  ترتیب می‌دهد که بردار امتیاز آن  $a_H$  است.

حال فرض کنید  $H$  یک مولفه چاهک باشد. در این صورت از گزاره ۲-۵-۲ داریم که  $a_H$  در  $H$  یک بردار تقلیل یافته است. لذا طبق قسمت اول اثبات، برای هر مولفه چاهک  $H$ ,

$$|a_H| \leq 2nN\Delta \text{ per}(H).$$

حال اگر  $H$  مولفه چاهک نباشد، آن‌گاه یک راس  $u \in H$  وجود دارد که به راسی بیرون  $H$  وصل است. بنابراین با هر بار شلیک راس  $u$ ، یک چیپ برای همیشه از  $H$  خارج می‌شود. لذا  $u$  نمی‌تواند بیشتر از  $N$  بار شلیک شود، یعنی  $N \leq a_u$ . حال طبق آن‌چه گفتیم یک بازی روی  $H'$  ترتیب می‌دهیم. فرض کنیم دوره تناوب  $H$  باشد و فرار می‌دهیم  $v_H = v = \min_{k \in H} (a_k - \lambda v_k) = 0$ ، بنابراین  $\lambda = \min_{k \in H} a_k/v_k = \min_{k \in H} a_k - v_H = \min_{k \in H} a_k$ . هم‌چنین  $a_u/v_u \leq a_u \leq N$  است. در نتیجه به کمک قضیه ۲-۴-۱۱، قضیه ۲-۵-۹ و ملاحظه ۲ داریم،

$$\begin{aligned} \|a_H - \lambda v\| &\leq \frac{1}{2} |L_{H'}(a_H - \lambda v)| \text{ acc}(H') = \frac{1}{2} |L_H(a_H)| \text{ acc}(H') \\ &\leq Nn\Delta \text{ per}(H') = nN\Delta \text{ per}(H). \end{aligned}$$

و بنابراین

$$\begin{aligned} |a_H| &\leq \|a_H\| \leq \|a_H - \lambda v_H\| + \lambda \|v_H\| \\ &\leq nN\Delta \text{ per}(H) + N\Delta \text{ per}(H) < 2nN\Delta \text{ per}(H). \end{aligned}$$

■

در نتیجه با جمع روی همه مولفه‌های قویاً همبند حکم حاصل می‌شود.

قضیه ۲-۵-۲ [۷] برای هر گراف جهت‌دار  $G$ ،  $\text{game}(G) \leq 2nm\Delta \text{ per}(G)$ .

برهان. یک بازی متناهی با طول ماکزیمم روی  $G$  در نظر گرفته و فرض کنید  $a$  بردار امتیاز آن باشد. طبق قضیه ۲-۵-۷ بردار  $a$  تقلیل یافته است و طبق گزاره ۲-۲-۲،  $N \leq m - n$ . بنابراین لم اخیر نشان می‌دهد  
■  $\text{game}(G) = |a| < 2n(m - n)\Delta \text{ per}(G)$

نتیجه ۲-۵-۲ [۷] اگر هر مولفه قویاً همبند  $G$  اویلری باشد، آن‌گاه  $\text{game}(G) \leq 2n^2m\Delta \text{ per}(G)$  و اگر علاوه

بر این  $G$  یال چندگانه نداشته باشد، آن‌گاه  $\text{game}(G) \leq 2n^5$ .

نتیجه فوق، قضیه ۱-۴-۲ را به گراف‌های جهت‌دار اوپلری بدون یال چندگانه تعمیم می‌دهد. اما در مورد گراف‌های جهت‌دار کلی چه طور؟ اریکسون ثابت کرده است که هیچ کران چندجمله‌ای بر حسب تعداد راس‌ها برای طول بازی یک گراف جهت‌دار دلخواه وجود ندارد و در واقع طول بازی یک گراف جهت‌دار ممکن است به طور نمایی بزرگ باشد [۱۶].

تا به حال در قضیه‌های ۲-۵-۹ و ۲-۵-۱۳ کران‌هایی برای  $\text{acc}(G)$  و  $\text{game}(G)$  بر حسب  $\text{per}(G)$  بیان کردیم. قضیه زیر کران بالایی برای  $\text{per}(G)$  ارایه می‌دهد.

قضیه ۲-۵-۱۵ [۷] برای هر گراف جهت‌دار  $G$ ،  $\text{per}(G) < (2\Delta)^{n-1}$ .

برهان. ابتدا فرض کنید  $G$  قویاً همبند است. چون طبق قضیه ۱-۳-۲-۱،  $\text{rank } L = n - 1$ ، یک زیرماتریس  $(n - 1) \times (n - 1)$  وجود دارد، مثلاً زیرماتریس حاصل از حذف سطر  $i$ ام و ستون  $j$ ام به طوری که دترمینان آن،  $L^{i,j}$  ناصفر باشد. بردار  $(u_1, \dots, u_n) = u$  را به صورت  $u_k = (-1)^{i+k} L^{i,k}$  تعریف کنید.  $u$  یک بردار ناصفر با مولفه‌های صحیح است و داریم  $0 = Lu = (l_{ij})L = l_{ij}$ ، آن‌گاه  $(l_{ij})$  برابر دترمینان ماتریسی است که از جایگزینی سطر  $i$ ام آن به دست می‌آید. در نتیجه  $u$  یک بردار تناوب است. از طرف دیگر طبق نامساوی هادامارد،  $|\det(A)| \leq \text{per}(A)$  برای هر ماتریس  $A$ ، حداکثر برابر حاصل ضرب طول بردارهای ستونی  $A$  است. لذا برای هر راس  $k$

$$|u_k| = L^{i,k} \leq \prod_{k \neq j} \left( \sum_t (l_{tk})^2 \right)^{\frac{1}{2}} \leq \prod_{k \neq j} \left( 2d^+(k)^2 \right)^{\frac{1}{2}} \leq (\sqrt{2}\Delta)^{n-1}.$$

بنابراین  $\text{per}(G) \leq \sum_k |u_k| \leq n(\sqrt{2}\Delta)^{n-1}$ . حال برای گراف دلخواه  $G$  با مولفه‌های قویاً همبند  $H_1, H_\omega, \dots, H_1$  داریم

$$\text{per}(G) = \sum_{t=1}^{\omega} \text{per}(H_t) \leq \sum_t n_t (\sqrt{2}\Delta)^{n-1} = n(\sqrt{2}\Delta)^{n-1} < (2\Delta)^{n-1}.$$

و حکم ثابت می‌شود. ■

## ۶-۲ چرتکه احتمالاتی

فرض کنید  $G$  یک گراف جهت‌دار با  $h$  راس چاهک  $t_1, \dots, t_h$  و یک راس غیر چاهک دیگر به نام  $s$  باشد. هم‌چنین فرض کنید  $G$  مولفه چاهک دیگری غیر از این  $h$  راس نداشته باشد. حال یک گشت تصادفی را روی

$G$  با شروع از  $s$  در نظر بگیرید. این گشت اولین باری که به یکی از راس‌های  $t_1, \dots, t_h$  بررسد متوقف می‌شود. یک مساله جالب در مورد این گشت تصادفی؛ پیدا کردن  $p_i$ ، احتمال این که گشت زن تصادفی در راس چاهک  $t_i$  متوقف شود و هم چنین مقدار زمان دسترسی  $\text{acc}(s, t_i)$  است. البته این مسائل را می‌توان با ابزارهای محاسبه زمان دسترسی در نظریه زنجیرهای مارکوف و جبر خطی مقدماتی پاسخ گفت [۲۵]. اما در اینجا به منظور مشاهده ارتباطی دیگر بین گشت‌های تصادفی و بازی شلیک چیپ، از یک روش ترکیبیاتی به نام چرتکه احتمالاتی استفاده می‌کنیم. چرتکه احتمالاتی که توسط ا. انجل [۱۴، ۱۵] معرفی شده است یک بازی شلیک چیپ روی گراف  $G$  است که در آن علاوه بر قوانین معمول این قانون نیز وجود دارد که راس‌های  $t_1, \dots, t_h$  نمی‌توانند شلیک شوند. (می‌توانیم برای تامین این قانون در مدل معمول خودمان روی هر راس  $t_i$  به تعداد کافی طوفه بگذاریم). در ابتدا روی هر راس غیر چاهک به تعداد  $1 - \deg^+(k)$  چیپ قرار می‌دهیم. این آرایش را آرایش مرزی می‌گوییم. سپس یک چیپ اضافی نیز روی راس  $s$  قرار می‌دهیم. این موقعیت را فاز اول می‌نامیم. بازی طبق معمول اجرا می‌شود. اگر بازی در یک آرایش مرزی روی راس‌های غیر چاهک پایان‌پذیرد، آن‌گاه متوقف می‌شویم. در غیر این صورت یک چیپ به راس  $s$  اضافه کرده و بازی را دوباره اجرا می‌کنیم تا به یک آرایش پایانی برسیم. این موقعیت را فاز دوم گوییم. این بازی را تا جایی که به یک آرایش مرزی روی راس‌های غیر چاهک برسیم ادامه می‌دهیم و در این صورت متوقف می‌شویم. قبل از انجام هر کاری تضمین پایان‌پذیری چرتکه احتمالاتی برای کارایی آن لازم است، یعنی این که ثابت کنیم بعد از تعداد متناهی فاز به یک آرایش مرزی روی راس‌های غیر چاهک می‌رسیم. این مطلب موضوع قضیه بعد است.

### قضیه ۲-۶-۱ [۷] چرتکه احتمالاتی بعد از حداقل $\Delta^{n-h}$ فاز متوقف می‌شود.

برهان. چون راس‌های چاهک  $t_1, \dots, t_h$  هیچ‌گاه شلیک نمی‌شوند و مولفه چاهک دیگری نیز وجود ندارد، بنابراین طبق لم ۱-۲-۱ هر فاز بازی چرتکه احتمالاتی پایان‌پذیر است. در آرایش پایانی هر فاز، هر راس غیر چاهک  $k$  حداقل  $1 - \deg^+(k)$  چیپ دارد. بنابراین حداقل  $\Delta^{n-h}$  آرایش پایانی وجود دارد. در نتیجه حداقل بعد از اجرای  $\Delta^{n-h}$  فاز، یک آرایش پایانی  $\theta$  روی راس‌های غیر چاهک تکرار می‌شود. فرض کنید از اولین مشاهده  $\theta$  تا دومین مشاهده آن  $M$  فاز طول بکشد. حال گراف جدید  $G'$  از گراف  $G$  به اضافه کردن یک راس جدید  $r$  و وصل کردن آن با یک یال جهت‌دار به  $s$  بسازید. سپس  $M$  چیپ روی  $r$  و  $1 - \deg^+(k)$  چیپ روی راس‌های غیر چاهک قدیمی قرار دهید. حال می‌توانیم  $M$  فاز اول بازی چرتکه را به عنوان یک بازی شلیک چیپ واحد روی  $G'$  اجرا کنیم با این قانون که راس  $r$  تنها در صورت ضرورت شلیک شود. اسم این بازی را «بازی ۱» بگذارید. از طرفی می‌توانیم یک بازی شلیک چیپ دیگر را روی  $G'$  اجرا کنیم. ابتدا روی هر راس قدیمی  $k$  تعداد  $1 - \theta(k)$  چیپ را «منجمد» کرده و تصور می‌کنیم که روی هر راس  $k$  تنها  $\theta(k)$  چیپ وجود

دارد. سپس با این چیپ‌های باقی‌مانده،  $M$  فازی که از اولین مشاهده  $\theta$  تا دومین مشاهده آن در بازی چرتکه انجام می‌شود را روی  $G'$  به عنوان یک بازی شلیک چیپ واحد اجرا می‌کنیم. نام این بازی را هم «بازی ۲» بگذارید. طبق ساختار داده شده، بازی ۲ با آرایش مرزی روی راس‌های غیر چاهک و بدون چیپ روی راس  $r$  پایان می‌گیرد. بنابراین طبق نتیجه ۱-۳ برای بازی ۱ نیز همین اتفاق رخ می‌دهد. در نتیجه آرایش مرزی بعد از  $M$  فاز دوباره ظاهر می‌شود. ■

ا. بورنر و دیگران در [۷] یک گراف معرفی کرده‌اند که تعداد فازها در بازی چرتکه احتمالاتی روی آن از مرتبه نمایی نسبت به  $n$  است. بنابراین کران بالای ارایه شده در قضیه فوق کران مناسبی است. فرض کنید چرتکه احتمالاتی در  $M$  فاز پایان می‌پذیرد و  $a$  بردار امتیاز اجرای کامل آن است. هم‌چنین  $M_j$  را تعداد چیپ‌های روی راس چاهک  $t_j$  قرار دهید. چون در هر فاز یک چیپ به تعداد کل چیپ‌ها افزوده می‌شود و تعداد کل چیپ‌های روی راس‌های غیر چاهک در آغاز و پایان بازی یکسان است، بنابراین واضح است که  $\sum_{j=1}^h M_j = M$ .

قضیه ۲-۶-۲ [۱۵، ۱۴] فرض کنید  $M$  و  $M_j$ ،  $1 \leq j \leq h$ ، مقادیر تعریف شده در بالا باشند. در این صورت

الف) اگر  $p_j \leq h \leq j \leq 1$ ، احتمال توقف گشت تصادفی در راس چاهک  $t_j$  با شروع از راس  $s$  باشد، آن‌گاه  $p_j = \frac{M_j}{M}$ .

ب) اگر  $1 = h$ ، آن‌گاه  $\text{acc}(s, t_1) = \frac{\|a\|}{M}$ .

برهان. (الف) ما قصد داریم کل فرایند چرتکه احتمالاتی را به عنوان یک دوره تناوب یک بازی شلیک چیپ واحد اجرا کنیم. برای این کار یک راس جدید  $r$  به گراف  $G$  اضافه کرده و با یک یال جهت‌دار  $r$  را به  $s$  وصل کنید. هم‌چنین هر راس  $t_j$  را با یک یال جهت‌دار به  $r$  وصل کنید. گراف جدید را  $G'$  بنامید و روی هر راس غیر چاهک قدیمی  $k$  به تعداد  $1 - d^+(k)$  و روی  $r$  یک چیپ قرار دهید. اگر همواره این دو قانون را رعایت کنیم که (۱) تنها در صورت ضرورت  $r$  را شلیک کنیم و (۲) هر راس  $t_j$  را در هر زمان که مقدور بود شلیک کنیم. آن‌گاه دقیقاً کل فرایند چرتکه احتمالاتی روی  $G$  را به عنوان یک بازی شلیک چیپ واحد روی  $G$  اجرا کنیم. هنگامی که بعد از  $M$  فاز به آرایش مرزی برگشتیم، در واقع یک دوره تناوب از بازی را روی  $G'$  کامل کردہ‌ایم. علاوه بر این تعداد دفعاتی که  $t_j$  شلیک شده است برابر  $M_j$ ، تعداد چیپ‌هایی است که در چرتکه احتمالاتی روی  $t_j$  انباشته شده است. بنابراین اگر بردار امتیاز این دوره تناوب را  $w$  بنامیم، آن‌گاه  $w = tv(G)$ ، برای هر  $1 \leq j \leq h$  و چون  $G'$  قویاً همیند است، طبق گزاره ۲-۵-۲ داریم  $w = t v(G)$ ، برای یک عدد طبیعی  $t$  که  $v(G)$  دوره تناوب اولیه بازی است.

حال می‌توانیم گشت‌های تصادفی روی  $G$  را با گشت‌های تصادفی روی  $G'$  مرتبط کنیم به این صورت که هرگاه گشت‌زن تصادفی روی  $G$  متوقف شد، روی  $G'$  به  $r$  و سپس به  $s$  برمی‌گردد و دوباره از اول شروع می‌کند. درنتیجه اگر  $q$  توزیع ایستای گشت تصادفی روی  $G'$  باشد، آنگاه  $p_j$  برابر نسبت احتمال راس  $j$  در  $q$  است، یعنی  $(p_j = q_{t_j} / (\sum_k q_{t_k}))$ . لذا طبق معادله ۵.۲ داریم

$$p_j = \frac{w_{t_j} / \|w\|}{(\sum_k w_{t_k}) / \|w\|} = \frac{M_j}{\sum_k M_k} = \frac{M_j}{M}.$$

(ب) در این حالت تنها یک راس چاهک  $t = t_1$  وجود دارد. علاوه بر آرایش مرزی روی راس‌های غیر چاهک،  $M$  چیپ اضافه نیز روی  $s$  قرار دهد. بنابراین کل فرایند چرتکه احتمالی را می‌توان به عنوان یک بازی شلیک چیپ واحد روی  $G$  با بردار امتیاز  $a$  در نظر گرفت. اجرای این بازی تنها باعث می‌شود که  $M$  چیپ اضافی از راس  $s$  به راس  $t$  منتقل شود. بنابراین  $La = M(e_t - e_s)$ . درنتیجه طبق لم ۲-۴-۱۰ داریم  $\text{acc}(s, t) = \|a\|/M$ . توجه داشته باشید که در لم ۲-۴-۱۰،  $G$  قویاً همبند فرض شده است، برای تضمین این شرط می‌توانیم با یک یال جهت‌دار  $t$  را به  $s$  وصل کنیم که این یال تاثیری در روند بازی ندارد. ■

## فصل ۳

# بازی دلار و گروه بحرانی

در این فصل یک نوع تغییریافته از بازی شلیک چیپ را روی گراف‌های غیر جهت‌دار بررسی می‌کنیم. این بازی روی گراف غیر جهت‌دار همبند  $(V, E) = G$  اجرا می‌شود (یال چندگانه و طوقه مجاز است) که یک راس خاص  $\in V$  مشخص شده و تعدادی چیپ روی راس‌های دیگر غیر از  $q$  توزیع شده است. در هر نوبت می‌توانیم یک راس آماده غیر از  $q$  (راسی که حداقل به تعداد درجه اش چیپ دارد) را شلیک کنیم. بازی تا جایی ادامه پیدا می‌کند که هیچ راس آماده‌ای غیر از  $q$  وجود نداشته باشد. در این حالت راس  $q$  شلیک می‌شود و بازی ادامه پیدا می‌کند. بنابراین راس  $q$  می‌تواند شلیک کند اگر و تنها اگر هیچ راس آماده‌ای غیر از  $q$  وجود نداشته باشد. وجود راس  $q$  تضمین می‌کند که بازی هیچ‌گاه پایان نپذیرد. در واقع می‌توانیم به جای چیپ‌ها با دلارها بازی کنیم و بازی را به عنوان یک "اقتصاد" و راس  $q$  را به عنوان "دولت" در نظر بگیریم. اقتصاد حرکت می‌کند و هرجا که به بن‌بست رسید دولت مقداری دلار به آن تزریق می‌کند و دوباره حرکت ادامه پیدا می‌کند. به همین دلیل این بازی به بازی دلار معروف است. بازی دلار اولین بار توسط ن. بیگز [۴] معرفی شد. در این فصل نشان می‌دهیم که به کمک این بازی می‌توانیم یک گروه آبلی به هر گراف نسبت دهیم که گروه بحرانی نام دارد. در واقع خواهیم دید که مرتبه این گروه برابر تعداد درخت‌های فرآگیر گراف  $G$  است. ما به کمک قضیه اساسی گروه‌های آبلی، ساختار این گروه را بررسی کرده و به ارتباط آن با چندجمله‌ای تات می‌پردازیم. در سراسر این فصل، جز در جایی که ذکر کنیم،  $G$  را همبند فرض می‌کنیم.

### ۱-۳ تعاریف و مقدمات

فرض کنید  $(V, E) = G$  یک گراف غیر جهت دار همبند باشد که راس های آن را با اعداد  $1, 2, \dots, n$  مشخص شده است، می توانیم فرض کنیم  $n = q$ . از نمادهای تعریف نشده در این بخش همان تعاریف بخش ۱-۱ را مراد می کنیم.

**تعریف ۱-۱-۳** [۳۳] منظور از یک آرایش یکتابع  $\theta : V \rightarrow \mathbb{Z}$  است که برای هر راس  $i \neq j$ ،  $\theta(i) \geq \theta(j)$  که در واقع تعداد چیپ های روی راس  $i$  را نشان می دهد. همچنین  $\theta(k) = -\sum_{i \neq k} \theta(i)$ . در یک آرایش  $\theta$ ، راس  $i \neq j$  را آماده گوییم هرگاه  $\theta(i) \geq \deg(j)$  و راس  $j$  را آماده می خوانیم هرگاه هیچ راس دیگری آماده نباشد.

با توجه به تعریف فوق تابع آرایش در واقع چگونگی توزیع چیپ ها روی راس های گراف را در طول بازی نشان می دهد. تعریف  $\theta$  در واقع یک قرارداد است که برای سهولت در انجام محاسبات جبری صورت گرفته است، اما برای شهود بهتر تصور کنید  $\theta$  یک منبع نامتناهی از چیپ ها دارد. به یمن این قرارداد اگر  $\theta$  را برداری در  $\mathbb{Z}^{|V|}$  در نظر بگیریم، آنگاه داریم  $\theta = \sum_i \theta(i) e_i$ .

در یک حرکت می توانیم یک راس آماده در آرایش موجود را انتخاب و آن را شلیک کنیم. پس از شلیک راس آماده  $i \in V$ ، از چیپ های روی راس  $i$  به تعداد  $\deg(i)$  کم شده و به هر راس  $j \neq i$  به اندازه  $d_{i,j}$  چیپ اضافه می شود. بنابراین آرایش  $\theta$  به آرایش  $\theta'$  تبدیل می گردد که  $\theta'$  به صورت زیر تعریف شده است:

$$\theta'(j) = \begin{cases} \theta(j) + d_{i,j} & i \neq j, \\ \theta(i) - \deg(i) & i = j. \end{cases}$$

با توجه به آن چه گفته شد راس  $i$  تنها وقتی شلیک می شود که راس آماده دیگری وجود نداشته باشد و این شلیک آنقدر ادامه می یابد تا یک راس دیگر غیر از  $i$  آماده شود.

**تعریف ۱-۳-۲** [۳۳] یک دنباله قانونی  $\sigma$  برای آرایش شروع  $\theta = \theta_0$ ، یک دنباله از راس های  $(k_0, k_1, \dots, k_{n-1})$  است که برای هر  $1 \leq i \leq n-1$ ، راس  $k_i$  در آرایش  $\theta_i$  آماده است و آرایش  $\theta_{i+1}$  از آرایش  $\theta_i$  با شلیک راس  $k_i$  به دست می آید. فرایند شلیک متوالی راس های یک دنباله قانونی را یک بازی قانونی گویند. اگر بتوانیم با یک بازی قانونی از آرایش  $\theta_1$  به آرایش  $\theta_2$  برسیم، آنگاه می نویسیم  $\theta_1 \rightarrow \theta_2$ . امتیاز یک دنباله قانونی  $\sigma$ ، یک بردار  $\mathbb{Z}^{|V|} \in [\sigma]$  تعریف می شود که برای هر  $k \in V$ ،  $[k]_\sigma$  برابر تعداد دفعات شلیک راس  $k$  در آن دنباله است.

با توجه به توضیحات بخش ۱-۱ بعد از بازی قانونی  $\sigma$  با شروع از آرایش  $\theta$ ، یک آرایش  $\theta'$  به دست می‌آید که  $L[\sigma] = \theta'$  و  $L$  ماتریس لابلسین گراف  $G$  است. بنابراین نتیجه‌ای مشابه نتیجه ۱-۱-۴ را در کف داریم.

نتیجه ۳-۱-۳ در یک بازی دلار روی یک گراف غیرجهت‌دار، آرایش نهایی بعد از شلیک یک دنباله قانونی  $\sigma$ ، تنها به امتیاز دنباله  $\sigma$  یعنی  $[L[\sigma]]$  بستگی دارد.

## ۲-۳ آرایش‌های بحرانی

همان‌طور که می‌دانیم ممکن است در یک آرایش چند راس آماده وجود داشته باشد و در نتیجه از یک آرایش شروع ثابت در یک معنا به یک نتیجه ثابت منجر می‌شوند. ابتدا اجازه دهید مفهومی به نام آرایش‌های بحرانی را تعریف کنیم که خواهیم دید نقشی مشابه آرایش‌های پایانی را در بازی شلیک چیپ ایفا می‌کنند.

تعریف ۳-۲-۱ [۴] فرض کنید  $G$  یک گراف همبند باشد. یک آرایش  $\theta$  را پایدار گوییم هرگاه برای هر راس  $v$  با  $q < \deg(v)$ . در یک آرایش پایدار تنها راس آماده، راس  $v$  است. اگر گراف  $G$  تنها از حلقه‌ها تشکیل نشده باشد، آن‌گاه آرایش  $\theta$  را بازگشتی می‌گوییم هرگاه یک دنباله قانونی  $\sigma$  با طول  $l$ ،  $1 \leq l \leq n$  یافت شود که با شروع از آرایش  $\theta$  و شلیک دنباله قانونی  $\sigma$  به آرایش  $\theta$  بازگردیم. یک آرایش پایدار و بازگشتی را یک آرایش بحرانی می‌نامیم.

قضیه زیر نشان می‌دهد که از هر آرایش  $\theta$  می‌توان با یک بازی قانونی به یک آرایش بحرانی رسید.

قضیه ۳-۲-۲ [۴] برای گراف همبند  $G$  و آرایش شروع  $\theta$ ، هر دنباله قانونی با شروع از  $\theta$  را می‌توان به گونه‌ای توسعی داد که به یک آرایش بحرانی منجر شود.

برهان. با رعایت قوانین شلیک، بازی را روی  $G$  شروع می‌کنیم. ابتدا ثابت می‌کیم بدون شلیک راس  $v$ ، هیچ راس  $w$  با  $q \neq k$  نمی‌تواند نامتناهی بار شلیک شود. به خلف فرض کنید که یک راس  $w$  با  $q \neq k$  باشد که بدون این‌که راس  $v$ ، شلیک شود، نامتناهی بار شلیک گردد. در این صورت چون تعداد کل چیپ‌ها افزایش نمی‌باید، بنابراین راس‌های مجاور  $v$  نیز نامتناهی بار شلیک شده‌اند. حال چون گراف  $G$  همبند است لذا یک مسیر از  $k$  به

وجود دارد. در نتیجه راس  $q$  نیز بینهایت بار شلیک شده است (اثبات لم ۱-۳-۲). این خلاف این فرض است که  $q$  شلیک نشده است. در نتیجه بدون شلیک  $q$  هیچ راس غیر از  $q$  نمی‌تواند نامتناهی بار شلیک شود. این نشان می‌دهد که حتماً بعد از تعداد متناهی حرکت به یک آرایش پایدار می‌رسیم. سپس می‌توانیم راس  $q$  را به تعداد لازم شلیک کنیم و بازی را مجدداً آدامه دهیم تا به یک آرایش پایدار دیگر برسیم. اما می‌دانیم در هر آرایش پایدار تعداد کل چیپ‌ها روی راس‌های غیر از  $q$  کمتر از  $|E| - 2$  است. بنابراین تعداد کل آرایش‌های پایدار متناهی است. در نتیجه در روند فوق حتماً یک آرایش پایدار تکرار شده یک آرایش بحرانی است. ■

در واقع آن‌چه از این قضیه برداشت می‌شود این است که آرایش‌های بحرانی در بازی دلار، نقشی مشابه آرایش‌های پایانی در بازی شلیک چیپ را دارند. بنابراین سوالی که در فصل ۱ درباره استقلال آرایش‌های پایانی از نحوه اجرای بازی در بازی شلیک چیپ مطرح شد، این جا نیز درباره آرایش‌های بحرانی مطرح می‌شود: آیا آرایش بحرانی که از یک آرایش شروع  $\theta$  با شلیک دنباله قانونی  $\sigma$  به دست می‌آید مستقل از دنباله قانونی  $\sigma$  است؟ به عبارت بهتر آیا آرایش بحرانی به دست آمده از یک آرایش شروع  $\theta$  یکتاست؟ این سوالی است که باز هم پاسخ مثبت خود را در نظریه گریدویدهای با تکرار می‌یابد. البته اثبات‌های دیگری نیز برای این موضوع وجود دارد. به عنوان مثال می‌توانید یک اثبات مستقیم شمارشی را در [۴] ببینید.

فرض کنید گراف همبند  $G$  و آرایش شروع  $\theta = \theta_0, \dots, \theta_{n-1}$  داده شده است. دنباله قانونی  $(k_0, k_1, \dots, k_{n-1})$  برای آرایش شروع  $\theta$  را اولیه گوییم هرگاه هیچ کدام از آرایش‌های  $\theta_1, \dots, \theta_{n-1}$  بحرانی نباشد که آرایش  $\theta_{i+1}$  از آرایش  $\theta_i$  با شلیک راس  $k_i$  به دست می‌آید.

**لم ۳-۲-۳** [۳۳] برای گراف  $G$  و آرایش شروع  $\theta$ ، زبان  $\mathcal{L}$  متشكل از همه دنباله‌های قانونی اولیه، یک زبان موروثی-چپ، موضعاً آزاد و جایگشت پذیر است.

برهان. موروثی بودن  $\mathcal{L}$  بدیهی است. فرض کنید  $\mathcal{L} \in \alpha$  یک دنباله قانونی اولیه و  $x, y \in V(G)$  دو راس متمایز باشند که  $\alpha x \in \mathcal{L}$  و  $\alpha y \in \mathcal{L}$ ، در این صورت پس از شلیک متوالی دنباله راس‌های  $\alpha$  به وضعیتی می‌رسیم که هر دو راس  $x$  و  $y$  در آن آماده هستند. لذا  $q \neq x, y$  و هم‌چنین شلیک متوالی دنباله  $\alpha x$  به آرایش پایدار نمی‌انجامد. از طرفی چون با شلیک راس  $x$ ، تعداد چیپ‌های روی  $y$  کاهش نمی‌یابد، لذا  $y$  پس از شلیک متوالی دنباله  $\alpha x$  نیز آماده است و در نتیجه  $\alpha xy \in \mathcal{L}$  و  $\mathcal{L}$  موضعاً آزاد است. حال فرض کنید  $\mathcal{L} \in \alpha, \beta \in \mathcal{L}$   $x, y \in V$  و  $\alpha x \in \mathcal{L}$ ، در این صورت طبق نتیجه ۳-۲-۱ آرایش حاصل پس از شلیک  $\alpha$  با آرایش حاصل پس از شلیک  $\beta$  یکسان است. در نتیجه چون  $\mathcal{L} \in \alpha x$  آرایش بعد از شلیک  $\alpha$  بحرانی نیست و  $x$  پس

از شلیک  $\alpha$  آماده است، لذا آرایش بعد از شلیک  $\beta$  نیز بحرانی نیست و پس از شلیک  $\beta$  آماده است. لذا  $\beta x \in \mathcal{L}$  جایگشت‌پذیر است.

قضیه ۳-۲-۴ [۳۳] برای گراف  $G$  و آرایش  $\theta$ ، یک آرایش بحرانی یکتا  $\kappa$  وجود دارد به طوری که  $\theta \rightarrow \kappa$ .

برهان. فرض کنید  $\mathcal{L}$  زبان همه دنباله‌های قانونی اولیه برای آرایش  $\theta$  باشد. در این صورت یک کلمه اساسی در این زبان در واقع یک دنباله قانونی  $\sigma$  است که شلیک آن به یک آرایش بحرانی ختم می‌شود. اما هیچ کدام از آرایش‌های میانی به وجود آمده در شلیک  $\sigma$ ، بحرانی نیستند. از طرفی طبق لم ۳-۲-۱، قضیه ۵-۲-۱ و لم ۱-۲-۷، کلمه‌های اساسی در  $\mathcal{L}$  دارای طول و امتیاز پکسان هستند. در نتیجه همه کلمه‌های اساسی به یک آرایش بحرانی ختم می‌شوند.

قضیه اخیر نشان می‌دهد که نحوه انتخاب و ترتیب شلیک راس‌های آماده تاثیری در آرایش بحرانی که در نهایت به آن خواهیم رسید ندارد. در اینجا شایسته است ذکر کنیم که تعداد شلیک‌های لازم برای رسیدن به یک آرایش بحرانی از یک آرایش شروع  $\theta$  نسبت به تعداد یال‌های گراف  $G$  و همچنین تعداد کل چیپ‌ها در آرایش شروع، چندجمله‌ای است [۴۰].

نتیجه ۳-۲-۵ [۳۳] اگر  $\theta$  و  $\kappa$  دو آرایش بحرانی باشند به طوری که  $\kappa \rightarrow \theta$ ، آن‌گاه  $\kappa = \theta$ .  
برهان. چون  $\theta$  بازگشتنی است، بنابراین  $\theta \rightarrow \theta$ . در نتیجه طبق قضیه بالا  $\kappa = \theta$ .

مثال ۳-۲-۶ فرض کنید گراف  $G = (V, E)$  از گراف  $K_4$  با حذف یک یال به دست می‌آید که  $V = \{1, 2, 3, 4\}$  و راس‌های ۱ و ۲ راس‌های درجه ۳ هستند و راس ۴ به عنوان راس ۰ در نظر گرفته شده است. هر آرایش روی  $G$  را با یک بردار در  $\mathbb{Z}^3$  نشان می‌دهیم که مولفه  $i$ -ام تعداد چیپ‌های روی راس  $i$  را نشان می‌دهد. تنها آرایش‌های پایدار، آرایش‌های  $(x, y, z)$  برای  $x, y, z \in \{0, 1, 2\}$  و  $x + y + z = 0$  هستند. از این میان آرایش‌های  $(1, 1, 2), (1, 2, 0), (0, 2, 1), (0, 1, 2)$  و  $(1, 0, 2)$  بحرانی هستند، زیرا بازی‌های قانونی زیر را داریم.

$$(0, 2, 1) \rightarrow (0, 3, 2) \rightarrow (1, 0, 3) \rightarrow (2, 1, 0) \rightarrow (0, 2, 1),$$

$$(0, 2, 2) \rightarrow (0, 3, 3) \rightarrow (1, 0, 4) \rightarrow (2, 1, 1) \rightarrow (0, 2, 2),$$

$$(1, 0, 2) \rightarrow (1, 1, 3) \rightarrow (2, 2, 0) \rightarrow (0, 3, 1) \rightarrow (1, 0, 2),$$

$$(1, 1, 2) \rightarrow (1, 2, 3) \rightarrow (2, 3, 0) \rightarrow (3, 0, 1) \rightarrow (1, 1, 2),$$

$$(1, 2, 2) \rightarrow (1, 3, 3) \rightarrow (2, 0, 4) \rightarrow (3, 1, 1) \rightarrow (1, 2, 2).$$

در ضمن با توجه به تقارن گراف، آرایش‌های  $(0, 1, 2)$ ،  $(1, 2, 0)$  و  $(1, 0, 1)$  نیز بحرانی هستند. تا اینجا ۸ آرایش بحرانی به دست آورده‌ایم. ۱۰ آرایش پایدار دیگر همگی پس از یک یا دو شلیک به یکی از ۸ آرایش بحرانی فوق تبدیل می‌شوند. لذا طبق نتیجه ۳-۵-۲-۳-۵-۱۰ آرایش، بحرانی نیستند. در نتیجه مجموعه همه آرایش‌های بحرانی روی گراف  $G$  برابر  $\{(x, 1, 2), (x, 2, 1), (x, 2, 2), (1, 0, 2), (1, 2, 0); x = 0, 1\}$  است.

در فصل قبل لم جالب ۴-۵-۲ را در مورد دنباله‌های قانونی در بازی شلیک چیپ ثابت کردیم. با تقلید از اثباتی که در آن جا ذکر شد می‌توانیم این لم را مورد بازی دلار نیز ثابت کنیم. بنابراین نص لم ۴-۵-۲-۲-۳ در مورد بازی دلار نیز برقرار است. این لم در اثبات قضیه زیر و هم‌چنین قضیه مهم فصل بعد نقش کلیدی دارد.

قضیه ۳-۲-۷ [۴] اگر آرایش  $\rho$  یک آرایش بازگشتی باشد، آن‌گاه یک دنباله قانونی با شروع از  $\rho$  وجود دارد که بردار امتیاز آن بردار ۱ است، یعنی هر راس  $V \in k$  دقیقاً یک بار شلیک شده است و به آرایش شروع  $\rho$  باز می‌گردد.

برهان. چون  $\rho$  بازگشتی است، یک دنباله قانونی  $\sigma$  با شروع از آرایش  $\rho$  وجود دارد که به آرایش  $\rho$  باز می‌گردد. اگر  $a$  بردار امتیاز  $\sigma$  باشد، آن‌گاه  $a - La = \rho$ . اما با توجه به این که هر گراف غیر جهت‌دار همبند را می‌توان با دو طرفه کردن هریال به عنوان یک گراف جهت‌دار اویلری در نظر گرفت، طبق قضیه ۲-۳-۳ (iii) داریم  $\lambda 1 = a$ ، برای یک عدد طبیعی  $\lambda$ . حال اگر  $\sigma'$  یک زیر دنباله از  $\sigma$  باشد که با حذف اولین  $\lambda$  شلیک راس  $k$ ، برای هر  $V \in k$  به دست می‌آید، آن‌گاه طبق لم ۴-۵-۲-۳-۵-۱ آرایش  $\sigma'$  یک دنباله قانونی با شروع از  $\rho$  است. اما واضح است که هر راس  $k$  در  $\sigma'$  یک بار ظاهر شده ولذا  $1 = [\sigma']$ . از طرفی بازی قانونی  $\sigma'$  با شروع از  $\rho$  به آرایش  $\rho - L(\lambda - 1)$  منجر می‌شود. در نتیجه  $\sigma'$  دنباله قانونی مطلوب است. ■

تعريف ۳-۲-۸ برای هر آرایش بحرانی  $\kappa$ ، دنباله قانونی مصرح در قضیه ۳-۲-۳ را یک دنباله بحرانی برای  $\kappa$  می‌گوییم.

### ۳-۳ گروه بحرانی یک گراف

در این بخش قصد داریم نشان دهیم که می‌توان مجموعه همه آرایش‌های بحرانی روی یک گراف همبند  $G = (V, E)$  را به یک گروه آبلی تبدیل کرد. فرض کنید  $C(G; \mathbb{Z})$  گروه همه توابع با مقادیر صحیح روی  $V$  باشد. همان طور که می‌دانید می‌توان هر عضو  $C(G; \mathbb{Z})$  را به صورت یک بردار عمودی در  $\mathbb{Z}^{|V|}$  در نظر گرفت. بنابراین می‌توانیم ماتریس لایپلاسین گراف  $G$  را که در بخش ۱-۱ تعریف کردیم به عنوان یک هم‌ریختی  $L : C(G; \mathbb{Z}) \rightarrow C(G; \mathbb{Z})$  در نظر بگیریم. همچنین هم‌ریختی  $\tau : C(G; \mathbb{Z}) \rightarrow C(G; \mathbb{Z})$  را به صورت  $\tau(f) = \sum_{k \in V} f(k)$  در  $\ker \tau$  قرار دارد.

**لم ۳-۳-۱** تصویر هم‌ریختی  $L$  یک زیر گروه نرمال از هسته  $\tau$  است.

برهان. با توجه به تعریف، مجموع درایه‌های هر ستون  $L$  برابر صفر است. بنابراین  $0 = 1^\top L = 1^\top L = \tau L$  و برای هر  $v = Lw \in \text{Im } L$  داریم  $\tau(v) = \tau(Lw) = 0$ . بنابراین  $\text{Im } L$  یک زیر گروه از  $\ker \tau$  است و چون گروه‌ها آبلی هستند این یک زیر گروه نرمال است. ■

مجموعه همه آرایش‌های بحرانی روی گراف  $G$  را با  $\mathcal{C}(G)$  نشان می‌دهیم و برای هر آرایش  $\theta$ ، از  $(\theta)$  آرایش بحرانی یکتاً تعیین شده در قضیه ۴-۲-۳ را مراد می‌کنیم. قضیه زیر ثابت می‌کند که می‌توانیم به  $\mathcal{C}(G)$  ساختار یک گروه آبلی بدهیم. برای هر  $f \in \ker \tau$ ، هم‌مجموعه  $f$  متناظر با  $L$  را با  $[f]$  نشان می‌دهیم.

**قضیه ۳-۳-۲** [۴] بین مجموعه  $\mathcal{C}(G)$  از آرایش‌های بحرانی روی گراف  $G$  و گروه آبلی  $\ker \tau / \text{Im } L$  یک تنازنیک به یک برقرار است.

برهان. ابتدا ثابت می‌کنیم که هر هم‌مجموعه  $[f] \in \ker \tau / \text{Im } L$  شامل یک آرایش است. فرض کنید  $\tau(f) \neq 0$  و آرایش  $\eta$  را برای هر  $k \neq q$  به صورت زیر تعریف کنید:

$$\eta(k) = \begin{cases} \deg(k) - 1 & f(k) \geq 0, \\ \deg(k) - 1 - f(k) & f(k) < 0, \end{cases}$$

و داریم  $\eta(q) = \sum_{k \neq q} \eta(k)$ . طبق قضیه ۳-۲-۲ یک دنباله قانونی وجود دارد که  $\eta$  را به یک آرایش پایدار  $\kappa$  تبدیل می‌کند. اگر  $a$  بردار امتیاز این دنباله باشد، آنگاه داریم  $\kappa = \eta - La$ . قرار دهید  $\theta = f + \eta - \kappa$ ، بنابراین

$k \neq [f]$ . از طرف دیگر برای هر  $q = f + La$

$$\theta(k) = f(k) + \eta(k) - \kappa(k) \geq \deg(k) - 1 - \kappa(k) \geq 0$$

بنابراین  $\theta$  یک آرایش در هم مجموعه  $[f]$  است.

حال تابع  $\ker \tau / \text{Im } L \rightarrow \mathcal{C}(G)$  را به صورت  $\varphi([f]) = \gamma(\theta)$  تعریف کنید که  $\theta$  یک آرایش در هم مجموعه  $[f]$  است. ابتدا باید نشان دهیم که تابع  $\varphi$  خوش تعریف است. فرض کنید  $\theta_1$  و  $\theta_2$  دو آرایش باشند که  $[\theta_1] = [\theta_2] = [f]$ . بنابراین یک  $g \in C(G, \mathbb{Z})$  یافت می‌شود که  $Lg = \theta_1 - \theta_2$ . توابع  $\theta_1$  و  $\theta_2$  یافت می‌شوند که  $\theta_1 - Lg_1 = \theta_2 - Lg_2$ . قرار می‌دهیم  $\theta_0 = \theta_1 - Lg_1 = \theta_2 - Lg_2 = g_1 - g_2$ . فرض کنید  $\kappa_1 = (\theta_1)\gamma$  و  $\sigma_1$  یک دنباله قانونی با شروع از  $\theta_1$  باشد که منجر به آرایش  $\kappa_1$  شود. چون  $\kappa_1$  بازگشتی است، طبق قضیه ۳-۲-۷ می‌توانیم  $\sigma_1$  را به گونه‌ای اختیار کنیم که در آن هر راس  $k$  حداقل  $(k)$  بار ظاهر شود.  $\sigma'$  را دنباله حاصل از حذف اولین  $(k)$  از  $\sigma$  در  $\sigma$  برای هر  $k \in V$  قرار دهید. در نتیجه طبق لم ۲-۴-۵،  $\sigma'$  یک دنباله قانونی با شروع از آرایش  $\theta_0$  است که طبق ساختار از حذف دقیقاً  $(k)$  بار وقوع راس  $k$  از  $\sigma$  برای هر  $k$  به دست می‌آید. بنابراین  $\kappa_1 = \sigma' - g_1 = [\sigma'] - g_1$  و لذا دنباله  $\sigma'$  با شروع از  $\theta_0$  به  $\kappa_1$  منجر می‌شود. این نشان می‌دهد که  $\gamma(\theta_1) = \gamma(\theta_0)$ . به طور مشابه  $\gamma(\theta_2) = \gamma(\theta_0)$ . در نتیجه تابع  $\varphi$  خوش تعریف است.

برای اثبات پوشابودن  $\varphi$  می‌بینیم که برای هر  $\kappa \in \mathcal{C}(G)$  داریم  $\varphi([\kappa]) = \gamma(\kappa) = \kappa$ . همچنین برای اثبات یک به یک بودن  $\varphi$  می‌بینیم که اگر  $\varphi([\theta_1]) = \varphi([\theta_2])$  آن‌گاه  $\kappa = \gamma(\theta_1) = \gamma(\theta_2) = \kappa$ . بنابراین  $\kappa \rightarrow \theta_1, \theta_2$  و لذا  $\theta_1 - \theta_2 = L(v_1 - v_2) \in \mathbb{Z}^{|V|}$  یافت می‌شوند که  $v_1, v_2 \in \mathbb{Z}^{|V|}$ . در نتیجه  $[\theta_1] = [\theta_2]$ .

با توجه به قضیه ۳-۲-۳ می‌توانیم مجموعه آرایش‌های بحرانی  $\mathcal{C}(G)$  را به یک گروه آبلی تبدیل کنیم. در واقع طبق آن‌چه گفته شد  $\mathcal{C}(G)$  همراه با عمل  $\circ$  یک گروه آبلی است که  $\varphi([\theta_1 + \theta_2]) = \varphi([\theta_1]) \circ \varphi([\theta_2])$ . در نتیجه برای  $\kappa_1, \kappa_2 \in \mathcal{C}(G)$  داریم  $\kappa_1 \circ \kappa_2 = \gamma(\kappa_1 + \kappa_2)$ .

تعريف ۳-۳-۳ [۴] برای گراف همبند  $G$  مجموعه همه آرایش‌های بحرانی روی  $G$ ،  $\mathcal{C}(G)$  همراه با عمل  $\circ$  تعریف شده در زیر را گروه بحرانی گراف  $G$  گوییم. برای هر  $\kappa_1, \kappa_2 \in \mathcal{C}(G)$

$$\kappa_1 \circ \kappa_2 = \gamma(\kappa_1 + \kappa_2).$$

تخصیص گروه بحرانی به یک گراف همبند  $G$ ، این سوال را به ذهن مسادر می‌سازد که آیا ارتباطی بین خواص ذاتی این گروه و خواص ذاتی گراف  $G$  وجود دارد؟ در بخش بعد این نتیجه شگفت‌انگیز را اثبات می‌کنیم که: مرتبه گروه بحرانی گراف  $G$  برابر با تعداد زیر درخت‌های فراگیر  $G$  است. از طرف دیگر به یمن قضیه اساسی گروه‌های آبلی می‌توانیم نور بیشتری بر گروه بحرانی گراف‌ها بتابانیم و اطلاعات بیشتری از ساختار این گروه به دست آوریم. در بخش ۳-۵ به بررسی ساختاری این گروه خواهیم پرداخت.

### ۳-۴ چندجمله‌ای تات و گروه بحرانی

در این بخش به بررسی ارتباط چندجمله‌ای تات و گروه بحرانی یک گراف می‌پردازیم. ابتدا اجازه دهید تعریف چندجمله‌ای تات و برخی خواص آن را از نظر بگذرانیم. چون چندجمله‌ای تات برای گراف دلخواه و نه لزوماً همبند تعریف می‌شود، موقعناً شرط همبندی را برمی‌داریم. اما وقتی مجدداً به بحث گروه بحرانی باز می‌گردیم به همبندی نیاز داریم. فرض کنید  $G = (V, E)$  یک گراف غیر جهت دار باشد. برای هر مجموعه  $A \subseteq E$  از یال‌ها،  $r(A)$  را برابر با تعداد مولفه‌های همبندی زیرگراف  $G$  با مجموعه یال  $A$  و مجموعه راس  $V$  قرار می‌دهیم. در این صورت رتبه  $A$  را با  $r(A)$  نمایش داده و به صورت  $r(A) = |V| - k(A)$  تعریف می‌کنیم. با توجه به این که در هر گراف همبند  $G$  داریم  $1 \leq |E| \geq |V| - r(A) \leq |A|$ . یک زیرمجموعه  $E \subseteq A$  را مستقل گوییم هرگاه  $|A| = r(A)$ . هم‌چنین یک مجموعه مستقل ماکزیمال در مجموعه همه زیرمجموعه‌های  $E$  را یک پایه می‌نامیم.

به راحتی می‌توان نشان داد مجموعه  $E \subseteq A$  مستقل است اگر و تنها اگر  $A$  یک زیر جنگل از  $G$  باشد.<sup>۱</sup> بنابراین برای هر مجموعه پایه  $A$  داریم  $|A| = r(E)$ . هم‌چنین اگر  $G$  همبند باشد، آن‌گاه عناصر پایه همان درخت‌های فراگیر  $G$  هستند و داریم  $1 \leq |E| \leq |V| - r(E)$ .

با تشکر از دابلیوت. تات [۳۹]، چندجمله‌ای تات برای گراف  $G$  یک چندجمله‌ای دو متغیره در حلقه  $\mathbb{Z}[x, y]$  است که به صورت زیر تعریف می‌شود:

$$T(G; x, y) = \sum_{A \subseteq E} (x - 1)^{r(E) - r(A)} (y - 1)^{|A| - r(A)}.$$

چندجمله‌ای تات برای گراف  $G$  بسیاری از اطلاعات مربوط به  $G$  را در خود دارد. به عنوان مثال چندجمله‌ای رنگی، چندجمله‌ای شارش، احتمال اطمینان نهایی یک شبکه و تعداد درخت‌های فراگیر یک گراف همبند، همگی حالت خاصی از چندجمله‌ای تات در طول یک منحنی خاص در صفحه  $(x, y)$  هستند. ما در این پایان‌نامه قصد

<sup>۱</sup> در این متن برای سهولت زیرگراف القایی  $A$  در  $G$  را با همان نماد  $A$  نشان می‌دهیم.

بررسی مبسوط خواص چندجمله‌ای تات را نداریم. خواننده می‌تواند برای یک بررسی اجمالی به [۱۰] مراجعه کند.

همان طور که می‌دانیم مجموعه  $E \subseteq A$  پایه است اگر و تنها اگر  $r(A) = r(E)$ . بنابراین  $r(G; 1, 1) = |A|$  تعداد عناصر پایه را در  $G$  به دست می‌دهد. در نتیجه برای گراف همبند  $G$ ،  $r(G; 1, 1) = T(G; 1, 1)$  برابر تعداد درخت‌های فرآگیر  $G$  یا همان عدد درختی  $G$  است. چندجمله‌ای تات را می‌توان به صورت بازگشتی محاسبه کرد. برای پال  $e = vw$ ، عمل یکی کردن راس‌های  $v$  و  $w$  و حذف یال  $e$  را انقباض روی  $e$  می‌گوییم. گراف  $G$  با یال منقبض شده  $e$  را با  $G/e$  و گراف  $G$  با یال حذف شده را با  $G \setminus e$  نشان می‌دهیم. هم‌چنین یال  $e = vw$  را طوفه می‌گوییم هرگاه  $w = v$  و آن را هم طوفه یا پل می‌نامیم هرگاه برشی باشد، یعنی تعداد مولفه‌های همبندی  $G \setminus e$  بیشتر از تعداد مولفه‌های همبندی  $G$  باشد.<sup>۲</sup>

**گزاره ۳-۴-۱** [۳۹] اگر گراف  $G$  بدون یال باشد، آن‌گاه  $T(G; x, y) = 1$ . در غیر این صورت برای هر  $e \in E(G)$

$$\text{الف) اگر } e \text{ طوفه باشد، آن‌گاه } T(G; x, y) = yT(G \setminus e; x, y)$$

$$\text{ب) اگر } e \text{ هم طوفه باشد، آن‌گاه } T(G; x, y) = xT(G/e; x, y)$$

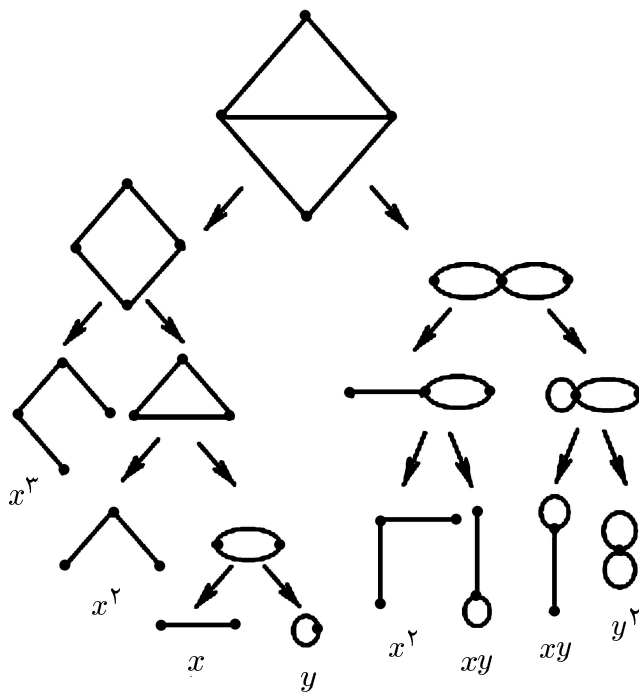
$$\text{ج) در غیر این صورت، } T(G; x, y) = T(G \setminus e; x, y) + T(G/e; x, y)$$

**مثال ۳-۴-۲** فرض کنید  $G$  از گراف  $K_4$  با حذف یک یال به دست می‌آید. در شکل ۳-۱ به کمک گزاره فوق، چندجمله‌ای تات این گراف را به صورت بازگشتی محاسبه کرده‌ایم. با جمع تک جمله‌ای‌ها در ذیل شکل به دست می‌آوریم  $T(G; x, y) = x^3 + 2x^2 + x + 2xy + y + y^2$ . بنابراین  $T(G; 1, 1) = 8$  که دقیقاً برابر با تعداد درخت‌های فرآگیر گراف  $G$  است.

بعد از معرفی مختصری درباره چندجمله‌ای تات به بازی دلار بازگردیم. در ادامه برای هر آرایش بحرانی یک سطح تعریف می‌کنیم. سپس نشان می‌دهیم می‌توان تعداد آرایش‌های بحرانی هر سطح را از چندجمله‌ای تات گراف به دست آورد. مجدداً  $G$  را یک گراف همبند فرض کنید.

**تعریف ۳-۴-۳** [۳۲] برای یک آرایش  $\theta$  روی گراف همبند  $G$ ، وزن  $\theta$  را تعداد کل چیپ‌ها روی راس‌های غیر از  $q$  تعریف می‌کنیم و با  $w(\theta)$  نمایش می‌دهیم. در واقع  $w(\theta) = \sum_{k \neq q} \theta(k)$ . هم‌چنین برای هر آرایش بحرانی  $\kappa$ ، سطح  $\kappa$  را با  $(\kappa)$  level نمایش داده و به صورت زیر تعریف می‌کنیم

<sup>۲</sup> ثابت می‌شود که یال  $e$  طوفه است اگر و تنها اگر در هیچ پایه‌ای نباشد و هم‌طوره است اگر و تنها اگر در هر پایه‌ای حضور داشته باشد.



شکل ۳-۱ محاسبه چندجمله‌ای تات برای گراف  $K_4 \setminus e$  به صورت بازگشتی.

$$\text{level}(\kappa) = w(\kappa) - |E(G)| + \deg(q).$$

مثال ۳-۴-۶ در مثال ۲-۳-۶ دیدیم که اگر  $G$  از گراف  $K_4$  با حذف یک یال به دست آید، آن‌گاه داریم  $|E(G)| = 5$  و  $\deg(q) = 2$ .  $\mathcal{C}(G) = \{(x, 1, 2), (x, 2, 1), (x, 2, 2), (1, 0, 2), (1, 2, 0); x = 0, 1\}$  آرایش‌های بحرانی  $(1, 2, 0)$ ،  $(1, 0, 2)$ ،  $(1, 0, 1)$  و  $(0, 2, 1)$  از سطح ۰، آرایش‌های بحرانی  $(0, 2, 2)$ ،  $(1, 2, 1)$  و  $(1, 1, 2)$  از سطح ۱ و آرایش بحرانی  $(1, 2, 2)$  از سطح ۲ هستند.

چه اعدادی می‌توانند سطح یک آرایش بحرانی باشند؟ به عبارت بهتر آیا کرانی برای سطح آرایش‌های بحرانی وجود دارد. برای پاسخ به این سوال، ابتدا بازی دلار را با یک تغییر به بازی شلیک چیپ معمولی تبدیل می‌کنیم؛ سپس از کران قضیه ۱-۳-۳ استفاده می‌کنیم. فرض کنید  $\theta$  یک آرایش پایدار در بازی دلار روی گراف  $G$  باشد. در این صورت با تعریف مجدد  $\deg(q) = \deg(q, \theta, \theta)$  را به یک آرایش در بازی شلیک چیپ معمولی تبدیل می‌کنیم. این آرایش در بازی شلیک چیپ را توسعی  $\theta$  می‌گوییم و با  $\theta$  نشان می‌دهیم.

لم ۳-۴-۵ [۳۲] فرض کنید  $G$  یک گراف و  $\kappa$  یک آرایش بحرانی در بازی دلار روی  $G$  باشد. در این صورت بازی شلیک چیپ روی  $G$  با شروع از آرایش  $\kappa_q$ ، یک بازی نامتناهی است.

برهان. طبق لم ۳-۲-۷ یک بازی قانونی با شروع از  $\kappa$  وجود دارد که هر راس یک بار شلیک شده و به آرایش  $\kappa$  باز می‌گردیم. در ضمن در این بازی  $q$  اولین راسی است که شلیک می‌شود. بنابراین با توجه به این که  $\deg(q) = \deg(q)$ ، می‌توانیم این بازی قانونی را عیناً به عنوان یک بازی شلیک چیپ با شروع از آرایش  $\kappa_q$  اجرا کنیم و مجدداً به آرایش  $\kappa_q$  باز گردیم. با تکرار همین دنباله، بازی را ادامه داده و یک بازی نامتناهی به دست می‌آوریم. ■

قضیه زیر یک کران برای سطح یک آرایش بحرانی به دست می‌دهد.

قضیه ۳-۴-۶ [۳۲] فرض کنید  $G$  یک گراف و  $\kappa$  یک آرایش بحرانی باشد، در این صورت

$$^{\circ} \leq \text{level}(\kappa) \leq |E(G)| - |V(G)| + 1.$$

برهان. طبق لم فوق آرایش شروع  $\kappa_q$  که از آرایش بحرانی  $\kappa$  به دست می‌آید، یک بازی شلیک چیپ نامتناهی تولید می‌کند. بنابراین طبق قضیه ۱-۳-۳(ج) تعداد کل چیپ‌ها در آرایش  $\kappa_q$  حداقل برابر  $|E(G)|$  است. از طرف دیگر تعداد چیپ‌های روی هر راس  $k \neq q$  در  $\kappa$  و  $\kappa_q$  برابر است. این نشان می‌دهد که  $w(\kappa) + \deg(q) \geq |E(G)|$ . برای نشان دادن نامساوی راست کافی است توجه کنیم که هر آرایش بحرانی، پایدار است، لذا

$$w(\kappa) \leq \sum_{k \neq q} (\deg(k) - 1) = 2|E(G)| - \deg(q) - |V(G)| + 1.$$

و در نتیجه حکم ثابت می‌شود. ■

اکنون آمده‌ایم تا به ارتباط چندجمله‌ای تات و آرایش‌های بحرانی بپردازیم. فرض کنید  $G$  یک گراف همبند باشد و برای هر  $i \geq 0$ ، تعداد آرایش بحرانی از سطح  $i$  را با  $c_i$  نشان دهیم. با توجه به قضیه ۳-۴-۶ واضح است که  $c_i = 0$  برای هر  $i > |E(G)| - |V(G)| + 1$ . حال تابع مولد آرایش‌های بحرانی را به صورت زیر در

نظر بگیرید

$$P_q(G; y) = \sum_{i=0}^{|E(G)| - |V(G)| + 1} c_i y^i.$$

بی‌شک شگفت‌زده خواهید شد اگر بگوییم تابع مولد فوق در واقع همان چندجمله‌ای تات به ازای  $1 = x$  است! به عنوان نمونه با توجه به مثال  $P_q(K_4 \setminus e; y) = 4 - 4y + 3y^2$  داریم. از طرف دیگر در مثال  $T(K_4 \setminus e; 1, y) = 4 + 3y + y^2$  دیدیم که

قضیه ۳-۴-۷ [۳۲] برای یک گراف  $G = (V, E)$ ، تابع مولد آرایش‌های بحرانی روی  $G$  برابر با چندجمله‌ای تات در طول خط  $x = 1$  است؛ یعنی

$$P_q(G; y) = T(G; 1, y).$$

درنتیجه مقدار چندجمله‌ای سمت چپ مستقل از راس  $q$  می‌باشد.

برهان. قضیه با استقرار روی  $|E|$  ثابت می‌شود. ابتدا می‌دانیم که اگر گراف  $G$  تنها از یک یال غیر طوقه تشکیل شده باشد، آن‌گاه تنها یک آرایش بحرانی وجود دارد که وزن آن صفر است. بنابراین سطح آن برابر است با  $0 = |E| + \deg(q)$ . هم‌چنین اگر گراف  $G$  تنها از یک طوقه  $e = qq$  تشکیل شده باشد، آن‌گاه تنها یک آرایش بحرانی وجود دارد که وزن آن صفر است. بنابراین سطح آن برابر است با  $1 = |E| + \deg(q)$ ، درنتیجه

حال فرض کنید گراف  $G$  حداقل دو یال دارد و  $qu = e$  یک یال  $G$  باشد که  $u$  می‌تواند خود  $q$  نیز باشد. سه حالت در نظر می‌گیریم:

حالت ۱. فرض کنید یال  $e$  یک هم‌طوقه است. برای هر آرایش بحرانی  $\kappa'$  روی  $G/e$ ، آرایش  $\kappa$  روی  $G$  را به صورت  $\kappa'(k) = \kappa'(k)$  برای هر  $q \neq u, k \neq u$  تعریف می‌کنیم و قرار می‌دهیم  $\kappa(u) = \deg(u) - 1$ . در این صورت  $\kappa$  یک آرایش بحرانی روی  $G$  است زیرا بعد از شلیک  $q$  می‌توانیم  $u$  را شلیک کنیم و سپس دنباله بحرانی  $\kappa'$  را عیناً اجرا کنیم تا به  $\kappa$  بازگردیم (تعریف ۳-۲-۸). بنابراین به هر آرایش بحرانی روی  $G/e$ ، یک آرایش بحرانی روی  $G$  نسبت می‌دهیم. اماه این تابع دوسویی است زیرا با توجه به برشی بودن  $e$ ، هر آرایش بحرانی روی  $G$  به راس  $u$  به تعداد  $1 - \deg(u)$  چیپ می‌دهد. از طرف دیگر داریم

$$\begin{aligned} \text{level}(\kappa') &= \sum_{k \neq q, u} \kappa'(k) - |E(G/e)| + \deg_{G/e}(q) \\ &= \sum_{k \neq q, u} \kappa(k) - (|E(G)| - 1) + (\deg_G(q) + \deg_G(u) - 2) \\ &= \sum_{k \neq q, u} \kappa(k) + (\deg_G(u) - 1) - |E(G)| + \deg_G(q) \\ &= \sum_{k \neq q} \kappa(k) - |E(G)| + \deg_G(q) \end{aligned}$$

$$= \text{level}(\kappa).$$

در نتیجه تابع مولد دو گراف  $G/e$  و  $G$  برابر است،

$$P_q(G; y) = P_q(G/e; y). \quad (1.3)$$

حالت ۲. فرض کنید یال  $e$  یک طوقه است. پس  $G/e$  همبند است. با بحث مشابه بحث حالت اول به هر آرایش بحرانی  $\kappa'$  روی  $G/e$ ، یک آرایش بحرانی  $\kappa$  روی  $G$  با ضابطه  $\kappa(k) = \kappa'(k)$  برای هر  $k \neq q$ ، نسبت می‌دهیم. می‌دانیم  $\kappa$  روی  $G$  بحرانی است زیرا دنباله بحرانی  $\kappa'$  روی  $G/e$  عیناً روی  $G$  قابل اجرا است. در ضمن واضح است که این تابع دوسویی است و داریم

$$\begin{aligned} \text{level}(\kappa') &= \sum_{k \neq q} \kappa'(k) - |E(G/e)| + \deg_{G/e}(q) \\ &= \sum_{k \neq q} \kappa(k) - (|E(G)| - 1) + (\deg_G(q) - 2) \\ &= \text{level}(\kappa) - 1. \end{aligned}$$

بنابراین توابع مولد دو گراف  $G$  و  $G/e$  در رابطه زیر صدق می‌کنند،

$$P_q(G; y) = y P_q(G/e; y). \quad (2.3)$$

حالت ۳. درنهایت فرض کنید یال  $e$  نه هم‌طوقه و نه طوقه است. آرایش‌های بحرانی گراف  $G$  را به دو دسته تقسیم کنید. آرایش‌های بحرانی  $\kappa$  که  $\deg(u) = \deg(u) - 1$  در کلاس  $A$  و بقیه آرایش‌های بحرانی را در کلاس  $A'$  قرار دهید. به هر آرایش  $\kappa$  در  $A$ ، یک آرایش  $\kappa'$  روی  $G/e$  با ضابطه  $\kappa'(k) = \kappa(k)$  برای هر  $k \neq u, q$ ، نسبت می‌دهیم. نشان می‌دهیم  $\kappa'$  بحرانی است. یک دنباله بحرانی برای  $\kappa$  روی  $G$  در نظر بگیرید. با توجه به این که  $\deg(u) = \deg(u) - 1$  بعد از شلیک راس  $q$ ، راس  $u$  آماده است و شلیک آن از تعداد چیپ‌های روی راس‌های دیگر نمی‌کاهد، لذا بدون کم شدن کلیت می‌توانیم فرض کنیم اولین دو شلیک در این دنباله بحرانی  $q$  و  $u$  هستند. اما پس از شلیک  $u$  برای شلیک راس‌های دیگر، وضعیت در دو گراف یکسان است. لذا می‌توانیم از این به بعد دنباله قانونی روی  $G$  را روی  $G/e$  اجرا کرده و به  $\kappa'$  برگردیم. در ضمن با انجام عکس عملیات فوق می‌توانیم به هر آرایش بحرانی  $\kappa'$  روی  $G/e$  یک آرایش  $\kappa$  روی  $G$  با ضابطه  $\kappa(k) = \kappa'(k)$  برای هر  $k \neq q$  و  $\deg(u) = \deg(u) - 1$  نسبت دهیم. این آرایش بحرانی است زیرا

بعد از شلیک راس‌های  $q$  و  $u$  همان آرایشی را به دست می‌آوریم که بعد از شلیک راس  $q$  در  $G/e$  داشتیم. با ادامه دنباله بحرانی مربوط به  $\kappa'$  به آرایش  $\kappa$  باز می‌گردیم زیرا هر راس دقیقاً یک بار شلیک شده و داریم  $\kappa - L\mathbf{1} = \kappa'$ . این نشان می‌دهید که تابع نسبت  $\kappa$  به  $\kappa'$  روی  $A$  دوسویی است. از طرف دیگر

$$\begin{aligned}\text{level}(\kappa) &= \sum_{k \neq q} \kappa(k) - |E(G)| + \deg_G(q) \\ &= \sum_{k \neq u, q} \kappa'(k) + \deg_G(u) - 1 - (|E(G/e)| + 1) + \deg_G(q) \\ &= \sum_{k \neq u, q} \kappa'(k) - |E(G/e)| + \deg_{G/e}(q) \\ &= \text{level}(\kappa').\end{aligned}$$

به طور مشابه می‌توان یک تناظر یک به یک بین آرایش‌های کلاس  $A'$  و آرایش‌های بحرانی روی  $e$  برقرار کرد. برای هر آرایش بحرانی  $\kappa$  در  $A'$ ، آرایش  $\kappa'$  را روی  $G/e$  مشابه  $\kappa$  تعریف می‌کنیم. واضح است که هر دنباله بحرانی در  $G/e$ ، در  $G$  نیز یک دنباله بحرانی است. از طرف دیگر

$$\begin{aligned}\text{level}(\kappa) &= \sum_{k \neq q} \kappa(k) - |E(G)| + \deg_G(q) \\ &= \sum_{k \neq q} \kappa'(k) - (|E(G/e)| + 1) + (\deg_{G/e}(q) + 1) \\ &= \text{level}(\kappa').\end{aligned}$$

در نتیجه

$$P_q(G; y) = P_q(G/e; y) + P_q(G/e; y). \quad (3.3)$$

بنابراین با توجه به گزاره ۳-۴-۱ و روابط (۱.۳)، (۲.۳) و (۳.۳)، با استقرار روی  $|E|$  حکم ثابت می‌شود. ■

یک نتیجه از قضیه فوق برابری مرتبه گروه بحرانی با تعداد درخت‌های فراگیر گراف همبند  $G$  است. البته این نتیجه اولین بار مستقل از قضیه فوق اثبات شده و در واقع خود به عنوان یک مشاهده در حدس ابتدایی این قضیه مفید بوده است. برای یک اثبات با ابزارهای نظریه جبری گراف [۴] و برای یک تناظر دوسویی صریح [۶] را ببینید. برای مشاهده ارتباط‌های بیشتر چند جمله‌ای تات و گروه بحرانی یک گراف [۵] را ببینید.

نتیجه ۳-۴-۸ [۴] برای گراف همبند  $G$ ، مرتبه گروه بحرانی  $(G)$  برابر تعداد درخت‌های فراگیر  $G$  یا همان عدد درختی  $G$  است.

برهان. فرض کنید برای  $i \geq 0$ ،  $c_i$  برابر تعداد آرایش‌های بحرانی در سطح  $i$  باشد. بنابراین  $|C(G)| = \sum_{i=0}^{\infty} c_i = P_q(G; 1) = T(G; 1, 1)$  و  $T(G; 1, 1) = P_q(G; 1)$  برابر با تعداد درخت‌های فراگیر  $G$  است. ■

### ۳-۵ بررسی ساختاری گروه بحرانی

این بخش را که بخش پایانی این فصل است به بررسی ساختاری گروه بحرانی گراف  $G$  اختصاص داده‌ایم. همان‌طور که دیدیم مجموعه آرایش‌های بحرانی یک گراف  $G$  ساختاریک گروه آبلی را دارد که آن را با  $C(G)$  نمایش می‌دهیم. طبق قضیه اساسی گروه‌های آبلی، هر گروه آبلی را می‌توان به صورت مجموع مستقیم گروه‌های دوری نوشت. در واقع با توجه به این که  $C(G)$  یک گروه آبلی متناهیاً تولید شده است، مطلب بیشتری می‌دانیم. قضیه زیر به قضیه ساختار معروف است، ساختار گروه‌های آبلی متناهیاً تولید شده را به نحو بارزی شفاف می‌کند.

قضیه ۳-۵-۱ اگر  $A$  یک گروه آبلی متناهیاً تولید شده باشد، آن‌گاه

$$A \cong (\mathbb{Z}/d_1\mathbb{Z}) \oplus \dots \oplus (\mathbb{Z}/d_r\mathbb{Z}) \oplus \mathbb{Z} \oplus \dots \oplus \mathbb{Z},$$

که  $d_1, d_2, \dots, d_r$  اعداد صحیح مثبت هستند که برای  $1 \leq i = 1 \leq r - 1, 1 \leq d_i | d_{i+1}$ . در ضمن تحت شرط اخیر، این نمایش یکتا است.

در ادامه قصد داریم روشی را برای پیدا کردن فاکتورهای ناوردای یک گروه آبلی ارایه کنیم. ابتدا به طور مختصر مطالبی در مورد ماتریس‌ها روی حلقه  $\mathbb{Z}$  بیان می‌کنیم. مجموعه کلیه ماتریس‌های  $n \times n$  روی حلقه  $\mathbb{Z}$  را با  $M(n, \mathbb{Z})$  نشان داده و مجموعه همه ماتریس‌های  $A \in M(n, \mathbb{Z})$  که در  $GL(n, \mathbb{Z})$  وارون دارند را با  $GL(n, \mathbb{Z})$  نمایش می‌دهیم. حال فرض کنید  $A$  یک ماتریس  $n \times m$  روی حلقه  $\mathbb{Z}$  باشد. هر یک از سه عمل زیر را یک عمل سطری مقدماتی روی ماتریس  $A$  گوییم.

(۱) اضافه کردن مضربی از یک سطر به سطر دیگر،

(۲) ضرب یک سطر در عدد  $1 \pm$  و

(۳) تعویض دو سطر.

به طور مشابه می‌توانیم اعمال سنتونی مقدماتی را تعریف کنیم. قضیه زیر نشان می‌دهد که با به کارگیری اعمال سطرنی و سنتونی مقدماتی روی یک ماتریس  $A$ ، می‌توانیم آن را به یک فرم ساده تبدیل کنیم.

قضیه ۳-۵-۲<sup>۴</sup> فرض کنید  $A$  یک ماتریس  $m \times n$  روی حلقه  $\mathbb{Z}$  باشد. در این صورت می‌توان با به کارگیری اعمال سطرنی و سنتونی مقدماتی روی  $A$ ، آن را به یک ماتریس به فرم  $N = \begin{pmatrix} D & O \\ O & O \end{pmatrix}$  تبدیل کرد، که  $D$  یک ماتریس قطری  $r \times r$  با درایه‌های قطری  $d_1, d_2, \dots, d_r$  و  $O$  یک ماتریس صفر از اندازه مناسب است. علاوه بر این  $d_i$ ها اعداد صحیح مثبت هستند و  $d_i | d_{i+1}$  برای  $1 \leq i \leq r-1$ . اعداد  $d_1, \dots, d_r$  به طور یکتا به وسیله  $A$  تعیین می‌شوند. همچنین ماتریس‌های  $R_1 \in GL(n, \mathbb{Z})$  و  $R_2 \in GL(m, \mathbb{Z})$  یافته می‌شوند که  $N = R_1 A R_2$ .

اعداد طبیعی  $d_1, \dots, d_r$  ذکر شده در قضیه فوق را فاكتورهای ناوردای ماتریس  $A$  گوییم و ماتریس  $N = \begin{pmatrix} D & O \\ O & O \end{pmatrix}$  را فرم اسمیت نرمال از  $A$  می‌خوانیم. برای بحث بیشتر در این باره [۱۲] بخش ۴.۲.۶ را ببینید. در ادامه مطالبی در مورد گروه‌های آبلی متناهیاً تولید شده بیان می‌کنیم.

زیرمجموعه  $X$  از گروه آبلی  $F$  را یک پایه برای  $F$  گوییم هرگاه (۱) مجموعه  $X$  گروه  $F$  را تولید کند و (۲) مجموعه  $X$  مستقل خطی باشد، یعنی برای اعضای متمایز  $x_1, \dots, x_t \in X$  و اعداد صحیح  $n_1, \dots, n_t \in \mathbb{Z}$  داشته باشیم

$$n_1 x_1 + n_2 x_2 + \dots + n_t x_t = 0 \Rightarrow n_i = 0, \forall 1 \leq i \leq t.$$

گروه آبلی  $F$  را یک گروه آبلی آزاد روی مجموعه  $X$  می‌گوییم هرگاه  $X$  یک پایه برای  $F$  باشد. هر عضو عادی  $f \in F$  را می‌توان به صورت یکتا به فرم  $f = n_1 x_1 + \dots + n_t x_t$  نوشت که  $n_i \in \mathbb{Z}$  و  $x_i \in X$ . به راحتی می‌توان نشان داد که اگر  $F$  یک گروه آبلی آزاد روی مجموعه  $X$  باشد آن گاه برای هر  $x \in X$

$${}^0.A_x \cong \mathbb{Z} \quad \text{که } F = \bigoplus_{x \in X} A_x$$

گروه آبلی  $A$  را گروه آبلی تعریف شده توسط مجموعه مولد  $\{a_1, \dots, a_m\}$  و روابط

$$\sum_j r_{ij} a_j = 0, \quad 1 \leq i \leq n,$$

برای  $r_{ij} \in \mathbb{Z}$ ، گوییم؛ هرگاه  $A \cong F/K$ ، که گروه آبلی آزاد روی مجموعه  $\{a_1, \dots, a_m\}$  و  $K$  زیرگروه  $F$  تولید شده به وسیله اعضای  $b_i = \sum_j r_{ij} a_j$  که به صورت  $R = (r_{ij})$  تعریف

<sup>4</sup> قضیه ۴.۲۹ [۱۲]  
<sup>5</sup> قضیه II.1.1 [۲۲]

می شود را ماتریس روابط گروه  $A$  می خوانیم. می توان نشان داد که اگر  $R'$  از به کارگیری اعمال سطری و ستونی مقدماتی روی  $R$  به دست آید، آن گاه مجموعه مولد  $\{a'_1, a'_2, \dots, a'_m\}$  برای  $F$  یافت می شود که  $A$  گروه آبلی تولید شده توسط این مجموعه مولد و ماتریس روابط  $R'$  است.<sup>۶</sup> از تلفیق این مطلب با قضیه ۳-۵-۲ نتیجه اصلی حاصل می شود. این نتیجه روشی برای به دست آوردن فاکتورهای ناوردای گروههای آبلی متناهیاً تولید شده به دست می دهد.

نتیجه ۳-۵-۳ فرض کنید  $A$  یک گروه آبلی تعریف شده توسط مجموعه مولد  $\{a_1, a_2, \dots, a_m\}$  و  $a_i \in A$  ماتریس روابط  $R$  باشد. اگر  $N = \begin{pmatrix} D & O \\ O & O \end{pmatrix}$  فرم اسمیت نرمال ماتریس  $R$  باشد، که  $D$  یک ماتریس قطری با درایه های قطری  $d_1, d_r, \dots, d_r$  است، آن گاه اعداد صحیح  $d_1, d_r, \dots, d_r$  فاکتورهای ناوردای گروه  $A$  هستند و داریم

$$A \cong (\mathbb{Z}/d_1\mathbb{Z}) \oplus \dots \oplus (\mathbb{Z}/d_r\mathbb{Z}) \oplus \mathbb{Z} \oplus \dots \oplus \mathbb{Z},$$

که تعداد جمعوندهای  $\mathbb{Z}$  برابر  $m - r$  است.

برهان. فرض کنید  $(n_{ij}) = N$ . طبق آنچه ذکر شد، اگر  $K$  زیرگروه  $F$  تولید شده توسط بردارهای  $.K \cong d_1\mathbb{Z} \oplus \dots \oplus d_r\mathbb{Z} \oplus 0 \oplus \dots \oplus 0$  داریم  $N$  باشد، آنگاه داریم  $b_i = \sum_j n_{ij}a_j$  در نتیجه

$$\begin{aligned} A &\cong (\mathbb{Z} \oplus \dots \oplus \mathbb{Z}) / (d_1\mathbb{Z} \oplus \dots \oplus d_r\mathbb{Z} \oplus 0 \oplus \dots \oplus 0) \\ &\cong (\mathbb{Z}/d_1\mathbb{Z}) \oplus \dots \oplus (\mathbb{Z}/d_r\mathbb{Z}) \oplus \mathbb{Z} \oplus \dots \oplus \mathbb{Z}. \end{aligned}$$

■ و حکم ثابت می شود.

برای بحث بیشتر درباره گروههای آبلی متناهیاً تولید شده [۲۲] بخش VII.2.app را ببینید. بعد از مرور مختصر نتایج کلاسیک درباره گروههای آبلی متناهیاً تولید شده، به بازی دلار باز گردیم. چگونه می توان فاکتورهای ناوردای گروه بحرانی  $\mathcal{C}(G)$  را به دست آورد؟ برای پاسخ به این سوال از نتیجه ۳-۵-۳ استفاده می کنیم. ابتدا باید برای  $\mathcal{C}(G)$  یک مجموعه مولد و تعدادی رابطه ارایه کنیم. قضیه زیر ما را به طرز شگفت آوری در این کار پیش می برد. ماتریسی که از حذف سطر و ستون مربوط به راس  $q$  در ماتریس لاپلاسین گراف  $G$  به دست می آید را ماتریس لاپلاسین تقلیل یافته گراف  $G$  گوییم و با  $L_q$  نشان می دهیم. این قضیه بیان می کند که ماتریس روابط گروه  $\mathcal{C}(G)$  همان ماتریس  $L_q$  است.

<sup>۶</sup> برای اثبات این مطلب [۲۲] بخش VII.2.app را ببینید.

قضیه ۳-۵-۴ [۴] فرض کنید  $L_q$  ماتریس لاپلاسین تقلیل یافته گراف همبند  $G = (V, E)$  باشد. در این صورت می‌توان برای گروه  $\mathcal{C}(G)$  مولدها و روابطی انتخاب کرد به طوری که ماتریس روابط این گروه ماتریس  $L_q$  باشد.

برهان. برای هر راس  $q \neq k$ , قرار دهید  $e_k = e_k - e_q$  که  $e_k - e_q$  تابع شاخص راس  $k$  در  $C(G; \mathbb{Z})$  است. در این صورت مجموعه  $X = \{a_k : k \in V, k \neq q\}$  یک مجموعه مولد برای  $\ker \tau$  است، زیرا برای هر  $f \in \ker \tau$  داریم  $f(q) = -\sum_{k \neq q} f(k)$  ولذا

$$f = \sum_k f(k)e_k = \sum_{k \neq q} f(k)e_k + f(q)e_q = \sum_{k \neq q} f(k)a_k.$$

از طرف دیگر واضح است که مجموعه  $X$  مستقل خطی است. بنابراین  $X$  یک پایه برای گروه  $\ker \tau$  است. حال فرض کنید  $(l_{ij})$  و برای هر راس  $i \neq q$  قرار دهید  $b_i = \sum_{j \neq q} l_{ij}a_j = Le_i$ . ادعا می‌کنیم مجموعه  $\{b_i : i \in V, i \neq q\}$  یک مجموعه مولد برای  $\ker \tau$  است. برای هر  $v = Lw \in \text{Im } L$  با توجه به این که داریم  $v \in \ker \tau$

$$\begin{aligned} v &= \sum_{k \neq q} (Lw)_k a_k = \sum_{k \neq q} \sum_j l_{kj} w_j a_k \\ &= \sum_{j \neq q} w_j b_j + w_q \sum_{k \neq q} l_{kj} a_k = \sum_{j \neq q} w_j b_j + w_q (Le_q) \\ &= \sum_{j \neq q} w_j b_j - w_q \sum_{j \neq q} Le_j = \sum_{j \neq q} (w_j - w_q) b_j, \end{aligned}$$

و ادعا ثابت می‌شود. در نتیجه گروه  $\mathcal{C}(G) \cong \ker \tau / \text{Im } L$  طبق تعریف گروه آبلی تعریف شده توسط مجموعه مولد  $X$  و روابط  $\{\sum_{j \neq q} l_{ij}a_j = 0 : i \in V, i \neq q\}$  است. بنابراین ماتریس روابط این گروه برابر  $L_q$  است. ■

با کنار هم گذاشتن نتیجه ۳-۵-۳ و قضیه ۳-۵-۴ می‌توانیم فاکتورهای ناوردای گروه  $\mathcal{C}(G)$  را به دست آوریم. برای این کار کافی است فرم اسمیت نرمال ماتریس  $L_q$  را پیدا کنیم.

مثال ۳-۵-۵ فرض کنید  $(l_{ij})$  ماتریس لاپلاسین تقلیل یافته گراف دور به طول  $n$ ,  $G = C_n$  باشد. در این صورت

$$l_{ij} = \begin{cases} 2 & i = j, \\ -1 & i = j + 1, \\ -1 & j = i + 1, \\ 0 & \text{در غیر این صورت} \end{cases} \quad \begin{array}{ll} 1 \leq j \leq n-1, & \\ 1 \leq j \leq n-2, & \\ 1 \leq i \leq n-2, & \end{array}$$

قرار دهید  $T^2 = R_1 = T$  که درایه‌های روی قطر و پایین قطر آن یک و بقیه درایه‌های آن صفر است.  
همچنین قرار دهید  $R_2 = (r_{ij})$  که

$$r_{ij} = \begin{cases} -1 & i = j + 1 \pmod{n-1}, \quad 1 \leq j \leq n-1, \\ j & j = n-1, \quad 2 \leq i \leq n-1, \\ 0 & \text{در غیر این صورت} \end{cases}$$

داریم  $R_1, R_2 \in GL(n-1, \mathbb{Z})$  ولذا  $\det R_1 = |\det R_2| = 1$

$$R_1 L_q R_2 = \begin{pmatrix} I & \mathbf{0}^\top \\ \mathbf{0} & n \end{pmatrix},$$

که  $I$  ماتریس همانی  $(n-2) \times (n-2)$  است. بنابراین ماتریس سمت راست معادله فوق فرم اسمیت نرمال  $L_q$  بوده و فاکتورهای ناوردای آن  $n-2$  مرتبه) و  $n$  هستند. این نشان می‌دهد که

$$\mathcal{C}(C_n) \cong \mathbb{Z}/n\mathbb{Z}.$$

مثال فوق ما را به گزاره زیر رهنمون می‌سازد.

**گزاره ۳-۵-۶** فرض کنید  $n_1, n_2, \dots, n_k$  اعداد طبیعی دلخواه داده شده باشند، در این صورت گراف  $G$  یافت می‌شود که

$$\mathcal{C}(G) \cong (\mathbb{Z}/n_1\mathbb{Z}) \oplus \dots \oplus (\mathbb{Z}/n_k\mathbb{Z}).$$

برهان. فرض کنید گراف  $G$  از  $k$  دور  $C_{n_1}, C_{n_2}, \dots, C_{n_k}$  مشترک هستند تشکیل شده است. اگر  $L_q^{n_i}$  ماتریس لاپلاسین تقلیل یافته دور  $C_{n_i}$  و  $L_q$  ماتریس لاپلاسین تقلیل یافته  $G$  باشد، آن‌گاه فرم بلوکی زیر را دارد،

$$L_q = \begin{pmatrix} L_q^{n_1} & & & \\ & L_q^{n_2} & & \\ & & \ddots & \\ & & & L_q^{n_k} \end{pmatrix}.$$

بنابراین با توجه به مطالب گفته شده در مثال ۳-۵-۵ می‌توانیم با به کارگیری اعمال سط्रی و ستونی مقدماتی روی  $L_q$  به ماتریس زیر بررسیم

$$\begin{pmatrix} A_{n_1} & & & \\ & A_{n_2} & & \\ & & \ddots & \\ & & & A_{n_k} \end{pmatrix},$$

که  $A_{n_i}$  یک ماتریس است. در نتیجه طبق قضیه ۳-۵-۴ داریم

$$\mathcal{C}(G) \cong (\mathbb{Z}/n_1\mathbb{Z}) \oplus \dots \oplus (\mathbb{Z}/n_k\mathbb{Z}).$$

و حکم ثابت می‌شود. ■

مثال ۳-۵-۷ ماتریس  $L_q$  برای گراف کامل  $G = K_n$  برابر ماتریس  $(n - 1) \times (n - 1)$  است که  $J$  ماتریسی با همه درایه‌های یک می‌باشد. در این صورت

$$L_q = \begin{pmatrix} n-1 & -\mathbf{1}^\top \\ -\mathbf{1} & nI - J \end{pmatrix},$$

که در اینجا  $I, J$ , ماتریس‌های  $(n-2) \times (n-2)$  هستند. قرار دهید

$$R_1 = \begin{pmatrix} \mathbf{1} & \mathbf{1}^\top \\ \mathbf{1} & I + J \end{pmatrix}, \quad R_2 = \begin{pmatrix} \mathbf{1} & -\mathbf{1}^\top \\ \mathbf{0} & I \end{pmatrix}.$$

داریم  $R_1, R_2 \in GL(n-1, \mathbb{Z})$ . لذا  $\det R_1 = \det R_2 = 1$  علاوه بر این

$$R_1 L_q R_2 = \begin{pmatrix} \mathbf{1} & \mathbf{0}^\top \\ \mathbf{0} & nI \end{pmatrix}.$$

بنابراین ماتریس سمت راست معادله فوق فرم اسمیت نرمال  $L_q$  است و فاکتورهای ناوردای آن ۱ و  $n-2$  (مرتبه) هستند. این نشان می‌دهد که

$$\mathcal{C}(K_n) \cong \bigoplus_{i=1}^{n-2} \mathbb{Z}/n\mathbb{Z}.$$

با توجه به آن‌چه گفته شد و به کمک نتیجه ۳-۴-۸ به دست می‌آوریم که تعداد درخت‌های فرآگیر گراف  $K_n$  برابر  $n^{n-2}$  است. این استدلال اثباتی دیگری برای فرمول کیلی فراهم می‌کند.

اخیراً مطالعات در زمینه بررسی ساختاری گروه  $\mathcal{C}(G)$  رشد فزاپنده‌ای داشته است. ساختار این گروه علاوه بر گراف‌های بالا برای چرخ‌ها،  $W_n$  [۴]،  $n$ -مکعب‌ها،  $Q_n$  [۲]، گراف‌های چندبخشی کامل، حاصل‌ضرب دکارتی گراف‌های کامل [۲۴] و درخت‌های منظم [۳۸] بررسی شده است. همچنین ثابت شده است که اگر  $G$  یک گراف مسطح و  $G^*$  گراف دوگان آن باشد، آن‌گاه  $\mathcal{C}(G) \cong \mathcal{C}(G^*)$  [۱۳]. برای اطلاعات بیشتر درباره بازی دلار و گروه بحرانی [۳۳] را ببینید.

قسمت دوم

رنگ آمیزی گراف‌ها

## فصل ۴

# $b$ -رنگ آمیزی حاصل ضرب دکارتی گراف‌ها

فرض کنید  $G = (V, E)$  یک گراف ساده باشد (یال چندگانه و طوقه مجاز نیست). یادآوری می‌کنیم که یک  $k$ -رنگ آمیزی معتبر برای گراف  $G$  یک نگاشت  $c$  از مجموعه  $V$  به روی مجموعه رنگ‌های  $C = \{1, 2, \dots, k\}$  است، به طوری که هر دو راس مجاور در  $G$  دارای رنگ‌های متفاوت باشد. در حقیقت برای هر  $i$ ،  $1 \leq i \leq k$ ، مجموعه  $(\{i\})^{c^{-1}}$  یک مجموعه مستقل از راس‌های است که آن را یک کلاس رنگی می‌نامیم. می‌نیمم  $k$  که  $G$  دارای یک  $k$ -رنگ آمیزی معتبر است را عدد رنگی  $G$  گفته و با  $\chi(G)$  نشان می‌دهیم.

یک  $b$ -رنگ آمیزی از گراف  $G$  با  $k$  رنگ، یک  $k$ -رنگ آمیزی معتبر از  $G$  است به طوری که در هر کلاس رنگی  $i$  یک راس  $x_i$  وجود دارد که در همه  $1 - k$  کلاس رنگی دیگر همسایه دارد. راس  $x_i$  را یک راس  $b$ -احاطه‌گر و مجموعه  $\{x_1, x_2, \dots, x_k\}$  را یک سیستم  $b$ -احاطه‌گر می‌نامیم. بزرگترین عدد  $k$  که  $G$  دارای یک  $b$ -رنگ آمیزی با  $k$  رنگ است را عدد  $b$ -رنگی گراف  $G$  گفته و با  $\varphi(G)$  نشان می‌دهیم. یک کران بدیهی و مفید برای  $\varphi(G)$  به صورت زیر است.

$$\chi(G) \leq \varphi(G) \leq \Delta(G) + 1, \quad (1.4)$$

که  $\Delta(G)$  بزرگترین درجه راس‌ها در  $G$  است. مفهوم  $b$ -رنگ آمیزی اولین بار توسط ایرویسگ و منلاو [۲۳] معرفی شده است. تاکنون تحقیقات گوناگونی در مورد این موضوع انجام شده و همچنان سوالات باز زیادی در این رابطه وجود دارد [۲۰، [۲۷]، [۲۸] و [۲۹]. مروای جامع بر این نتایج در [۳۶] انجام گرفته است.

حاصل ضرب دکارتی دو گراف  $G_1$  و  $G_2$  که با  $G_1 \square G_2$  نشان می‌دهیم، گراف ساده‌ای با مجموعه راس‌های  $V(G_1) \times V(G_2)$  است که دو راس  $(u_1, v_1)$  و  $(u_2, v_2)$  در  $G_1 \square G_2$  مجاورند اگر و تنها اگر  $u_1 = u_2$  و  $v_1 = v_2$ . در این فصل همه جا وقتی  $|V(G_1)| = m$  و  $|V(G_2)| = n$  مجاور باشند یا  $u_1, u_2$  در  $G_1$  مجاور باشند و  $v_1 = v_2$ . در این فصل همه جا وقتی  $(i, j) \in V(G_2)$ ، مجموعه راس‌های  $G_1 \square G_2$  را به صورت یک آرایه  $m \times n$  در نظر می‌گیریم که هر درایه  $(i, j)$  متناظر با راس  $(i, j)$  در  $G_1 \square G_2$  است که  $i \in V(G_1)$  و  $j \in V(G_2)$  و هر ستون یک کپی از گراف  $G_1$  و هر سطر یک کپی از گراف  $G_2$  را القا می‌کند. بنابراین همه مولفه‌های اول به پیمانه  $|V(G_1)|$  و مولفه‌های دوم به پیمانه  $|V(G_2)|$  هستند. وقتی  $G_2 = C_n$  همسایه‌های راس  $(i, j)$  را راس‌های  $(i, j \pm 1)$  در نظر گرفته و وقتی  $G_2 = P_n$ ، همسایه‌های راس  $(i, j)$  را برای  $1 \leq j \leq n-1$  راس‌های  $(i, j \pm 1)$  و برای  $j = 1$  راس  $(i, 2)$  و برای  $j = n$  راس  $(i, n-1)$  قرار می‌دهیم.

عدد  $b$ -رنگی حاصل ضرب دکارتی بعضی از گراف‌ها مانند  $C_n \square C_k$ ،  $P_n \square P_k$ ،  $K_{1,n} \square P_k$ ،  $K_{1,n} \square K_{1,n}$  و  $C_n \square P_k$  مطالعه شده است [۲۷]. در این فصل به مطالعه این مفهوم برای حاصل ضرب دکارتی گراف کامل و هر گراف دلخواه  $G$  و به طور خاص دورها، مسیرها و گراف کامل می‌پردازیم [۳۴].

## ۱-۴ عدد $b$ -رنگی گراف $K_m \square G$

در این بخش نتایجی در مورد حاصل ضرب دکارتی گراف کامل و هر گراف دلخواه  $G$  بیان می‌کنیم.

**گزاره ۱-۱-۱** اگر  $c$  یک  $b$ -رنگ آمیزی برای گراف  $K_m \square G$  با  $\varphi$  رنگ باشد که  $m > \varphi$ ، آن‌گاه ستون متناظر با یک راس  $v \in V(G)$  شامل حداقل  $\deg_G(v)$  راس  $b$ -احاطه‌گر است.

برهان. بنا به فرض  $m > \varphi$ ، بنابراین در  $b$ -رنگ آمیزی  $c$  حداقل یک رنگ هست که در ستون متناظر با راس  $K_m^v, v$  ظاهر نشده است. از طرف دیگر این رنگ باید در همسایه‌گی همه راس‌های  $b$ -احاطه‌گر در ستون  $K_m^v$  ظاهر شود که بهوضوح باید در ستون‌های متفاوت باشند. بنابراین تعداد راس‌های  $b$ -احاطه‌گر در ستون  $K_m^v$  حداقل  $\deg_G(v)$  است. ■

فرض کنید  $d = (d_1, d_2, \dots, d_n)$  دنباله درجه گراف  $G$  با  $n$  راس باشد. بنا به گزاره ۴-۱-۱، هر ستون  $1 \leq i \leq n$ ، شامل حداکثر  $d_i$  راس  $b$ -احاطه‌گر است. بنابراین تعداد راس‌های یک سیستم  $b$ -احاطه‌گر در  $K_m^{\square G}$  حداکثر  $\sum_{i=1}^n d_i$  است. به این ترتیب برای  $(K_m \square G)^\varphi$  کران زیر به دست می‌آید که کران‌های موجود در [۲۷] را بهبود می‌بخشد.

نتیجه ۴-۱-۲ اگر  $(d_1, d_2, \dots, d_n)$  دنباله درجه گراف  $G$  با  $n$  راس و  $e$  یال باشد، آن‌گاه

$$\varphi(K_m \square G) \leq \sum_{i=1}^n d_i = 2e.$$

در زیر یک لم در مورد تکمیل پذیری یک رنگ آمیزی معتبر جزئی از گراف  $K_m \square G$  برای هر گراف دلخواه  $G$  ارایه می‌کیم. یک رنگ آمیزی معتبر جزئی از یک گراف، یک تخصیص از رنگ‌ها به بعضی از راس‌های  $G$  است به طوری که هر دو راس مجاور دارای رنگ‌های متفاوت باشد.

فرض کنید  $S_1, S_2, \dots, S_n$  تعدادی مجموعه باشند. یک سیستم نمایندگی مجزا (SDR) برای این مجموعه‌ها یک  $n$ -تایی  $(x_1, x_2, \dots, x_n)$  است که دارای دو شرط زیر باشد. (۱) برای  $i = 1, 2, \dots, n$ ،  $x_i \in S_i$  و (۲) برای  $j \neq i$ ،  $x_i \neq x_j$ . قضیه معروف هال<sup>۱</sup>، شرط لازم و کافی برای وجود SDR را بیان می‌کند به این صورت که خانواده  $\{S_i\}_{i=1}^n$  دارای SDR است اگر و تنها اگر برای هر زیرمجموعه  $\{1, 2, \dots, n\} \subseteq I$  داشته باشیم  $|I| \geq |\cup_{i \in I} S_i|$ .

لم ۴-۱-۳ فرض کنید  $G$  یک گراف و  $m$  یک عدد صحیح مثبت باشد که  $2\Delta(G) < m$ . اگر  $c$  یک رنگ آمیزی معتبر جزئی برای گراف  $K_m \square G$  با  $m$  رنگ باشد به طوری که هر ستون یا به طور کامل رنگ شده باشد یا حداقل  $2\Delta(G)$  راس رنگ نشده داشته باشد، آن‌گاه  $c$  را می‌توان به یک رنگ آمیزی معتبر برای گراف  $K_m \square G$  با  $m$  رنگ توسعی داد.

برهان. در یک رنگ آمیزی معتبر جزئی از گراف  $K_m \square G$  با  $m$  رنگ، یک ستون با راس‌های رنگ نشده  $v_k, \dots, v_2, v_1$  که  $2\Delta(G) \geq k$ ، را در نظر می‌گیریم. بدون کم شدن از کلیت مسئله فرض کنید این  $k$  رنگ ظاهر نشده رنگ‌های  $1, 2, \dots, k$  باشند. برای هر  $i = 1, 2, \dots, k$  را مجموعه رنگ‌هایی در نظر می‌گیریم که می‌توانند برای رنگ آمیزی معتبر راس  $v_i$  استفاده شوند، پس  $\{1, 2, \dots, k\} \subseteq S_i$ . برای توسعی این رنگ آمیزی به یک رنگ آمیزی معتبر برای این ستون، کافی است یک SDR برای خانواده  $\{S_i\}_{i=1}^n$  بیابیم. برای

Hall<sup>۱</sup>

این منظور ثابت می‌کنیم این خانواده در شرط هال صدق می‌کند. فرض کنید  $\{1, 2, \dots, k\} \subseteq I \subseteq \{1, 2, \dots, r\}$ . اگر  $\Delta(G) \leq r$  آن‌گاه برای یک  $i \in I$  داریم

$$|\cup_{i \in I} S_i| \geq |S_{i_0}| \geq k - \Delta(G) \geq \Delta(G) \geq r = |I|.$$

اگر  $\Delta(G) > r$  آن‌گاه  $\{1, 2, \dots, k\} = \cup_{i \in I} S_i$ . زیرا اگر یک رنگ مانند  $i$ ،  $1 \leq i \leq r$  در هیچ یک از  $S_i$ ‌ها ظاهر نشود، آن‌گاه باید در همسایگی هر راس  $v_i \in I$ ، یک راس  $u_i$  با رنگ  $i$  وجود داشته باشد. راس‌های  $u_i \in I$ ،  $i \in I$ ، هم‌رنگ هستند، پس در ستون‌های متفاوت ظاهر می‌شوند. بنابراین  $\Delta(G) \leq |I| = r$  تناقض است. در نتیجه

$$|\cup_{i \in I} S_i| = k \geq |I|.$$

لذا رنگ آمیزی هر ستون تکمیل‌پذیر است و اثبات پایان می‌یابد. ■

**گزاره ۴-۱-۴** برای هر دو گراف  $G$  و  $H$ ، اگر گراف  $H'$  از جایگذاری یک یال  $H$  با مسیری به طول ۳ به دست آید، آن‌گاه  $\varphi(G \square H') \geq \varphi(G \square H)$ .

برهان. فرض کنید  $e = xy$  یک یال در گراف  $H$  و گراف  $H'$  حاصل از جایگذاری یال  $e$  با مسیر  $xwzy$  باشد. علاوه بر این فرض کنید  $c$  یک  $b$ -رنگ آمیزی از گراف  $G \square H$  با  $\varphi(G \square H)$  رنگ باشد. یک  $c$ -رنگ آمیزی برای گراف  $G \square H'$  به صورت زیر ارایه می‌دهیم. ستون‌های متناظر با راس‌های  $w$  و  $z$  در  $H'$  را همانند ستون‌های متناظر با راس‌های  $y$  و  $x$  در رنگ آمیزی  $c$  رنگ می‌کنیم. سایر راس‌ها را دقیقاً مانند رنگ آمیزی  $c$  رنگ می‌کنیم. به راحتی دیده می‌شود که  $c$ -یک  $b$ -رنگ آمیزی از  $G \square H'$  است. ■

**نتیجه ۴-۱-۵** برای اعداد صحیح و مثبت  $n, m$

$$\varphi(K_m \square P_{n+2}) \geq \varphi(K_m \square C_n), \quad \varphi(K_m \square C_{n+2}) \geq \varphi(K_m \square C_n).$$

برهان. فرض کنید  $e = xy$  یال در گراف  $C_{n+2}$  از جایگذاری یال  $e$  در گراف  $C_n$  با مسیر  $xwzy$ . گراف  $(K_m \square C_n) = k$  به دست می‌آید. بنابراین بنا به گزاره ۴-۱-۴، یک  $b$ -رنگ آمیزی  $c$  برای گراف  $K_m \square C_{n+2}$  با رنگ  $k$  به

دست می‌آید. علاوه بر این بنا به اثبات گزاره ۴-۱، در  $b$ -رنگ آمیزی  $c$  در ستون‌های متناظر با راس‌های  $w$  و  $z$  هیچ راس  $b$ -احاطه‌گری وجود ندارد. بنابراین با حذف یال  $wz$  همچنان  $c$  یک  $b$ -رنگ آمیزی برای گراف  $K_m \square P_{n+2}$  خواهد بود. ■

## ۲-۴ عدد $b$ -رنگی گراف $K_m \square C_n$

در این بخش مقدار دقیق  $\varphi(K_m \square C_n)$  را مشخص می‌کنیم. می‌دانیم که  $\chi(K_m \square C_n) = m$  و  $\Delta(K_m \square C_n) = m + 1$ . در نتیجه بنا به رابطه (۱.۴)،

$$m \leq \varphi(K_m \square C_n) \leq m + 2. \quad (2.4)$$

برای اثبات قضیه اصلی به لم زیر نیاز داریم.

لم ۴-۱ اگر  $c$  یک  $b$ -رنگ آمیزی برای گراف  $K_m \square C_n$  با  $k$  رنگ و  $S$  یک سیستم  $b$ -احاطه‌گر باشد به طوری که:

الف) یک راس  $b$ -احاطه‌گر در یک کلاس رنگی  $x$ ، مانند  $(r, s)$ ، وجود دارد به طوری که راس‌های  $(r, s \pm 1)$  در  $S$  نیستند،

ب) سطر  $m$  دارای راسی در  $S$  نیست،

ج) وقتی  $n$  فرد باشد،  $x \neq c(m, s - 1)$ .

آن‌گاه  $\varphi(K_{m+1} \square C_n) \geq k + 1$ .

برهان. بدون کم شدن از کلیت مسئله فرض می‌کنیم  $(1, 1) = (r, s)$ . یک  $b$ -رنگ آمیزی  $c'$  برای گراف  $K_{m+1} \square C_n$  با  $1 + k$  رنگ مانند زیر ارایه می‌دهیم.

$$c'(i, j) = \begin{cases} x & (i, j) = (m+1, 1), \\ k+1 & (i, j) = (1, 1), \\ k+1 & (i, j) = (m+1, 2t), 1 \leq t \leq \lfloor \frac{n}{4} \rfloor, \\ c(m, 2t-1) & (i, j) = (m+1, 2t-1), 2 \leq t \leq \lceil \frac{n}{4} \rceil, \\ k+1 & (i, j) = (m, 2t-1), 2 \leq t \leq \lceil \frac{n}{4} \rceil, \\ c(i, j) & \text{در غیر این صورت.} \end{cases}$$

با به تعریف  $c'$  و خاصیت (ج)، به آسانی دیده می‌شود که  $c'$  یک رنگآمیزی معتبر است. علاوه بر این با به خواص (الف) و (ب) و از آن‌جا که در رنگآمیزی  $c'$  هر ستون دارای راسی با رنگ  $k+1$  است، هر راس در  $S$  یک راس  $b$ -احاطه‌گر در  $c'$  بوده و هم‌چنین راس  $(1, 1)$  یک راس  $b$ -احاطه‌گر با رنگ  $k+1$  است. در نتیجه  $c'$  یک  $b$ -رنگآمیزی با  $k+1$  رنگ است. ■

قضیه ۴-۲-۲ برای اعداد صحیح مثبت  $m, n \geq 4$ ، داریم:

$$\varphi(K_m \square C_n) = \begin{cases} m & m \geq 2n, \\ m+1 & m = 2n-1, \\ m+2 & m \leq 2n-2. \end{cases}$$

برهان. فرض کنید  $2n \geq m$ . با به نتیجه  $K_m \square C_n \leq 2n, 2-1-4$ ، بنابراین با به رابطه (۲.۴)،  $\varphi(K_m \square C_n) = m$  داریم. حال فرض کنید  $m = 2n-1$ . با به نتیجه  $K_m \square C_n \leq 2n = m+1, 2-1-4$ ، برای اثبات تساوی، یک رنگآمیزی برای گراف  $K_m \square C_n$  با  $m+1$  رنگ ارایه می‌دهیم. یک آرایه  $n \times (m+1)$  با تعدادی درایه پر مطابق زیر ارایه می‌دهیم. این رنگآمیزی جزئی را  $c$  می‌نامیم.

داریم  $r = 0, 1 \leq k \leq \lfloor \frac{n}{4} \rfloor, 1 \leq j \leq n$ .

$$\begin{aligned} c(2\lceil \frac{j}{4} \rceil - r, j) &= 2j - r, \\ c(2k, 2k-2) &= 4k-1, \quad c(2k, 2k+1) = 4k-3, \\ c(m+1, 2k-r) &= 4k+2r-3. \end{aligned}$$

اگر  $n$  فرد باشد، هم‌چنین قرار می‌دهیم:

$$c(m+1, n) = c(n, n-1) = c(n+1, 1) = 4.$$

در شکل ۴-۱، این آرایه برای  $n = 4$  نشان داده شده است.

۱	۳		
۲	۴	۱	۳
		۵	۷
۵	۷	۶	۸
۳	۱	۷	۵

شکل ۴-۱ یک  $b$ -رنگ آمیزی جزئی از گراف  $K_4 \square C_4$ .

در این آرایه درایه‌های داده شده یک رنگ آمیزی جزئی از گراف  $K_{m+1} \square C_n$  است، که هر ستون دارای سه درایه پر است. چون  $2n - 1 \geq m = 2n - 1$ ، هر ستون حداقل ۴ راس رنگ نشده دارد، بنا به لم ۳-۱-۴،  $c = 3$  را می‌توان به یک رنگ آمیزی برای گراف  $K_{m+1} \square C_n$  با  $1 + m$  رنگ توسعه داد. حال برای به دست آوردن رنگ آمیزی دلخواه آخرین سطر را حذف می‌کنیم. در این رنگ آمیزی هر ستون دقیقاً یک رنگ غایب دارد. مجموعه راس‌های  $\{1, 0, 1\} \cup \{j \mid 1 \leq j \leq n, r = 0, 1 \leq j \leq n, r = 1\}$  یک سیستم  $b$ -احاطه‌گر است. زیرا برای  $(2k-1, 2k)$ ، رنگ غایب در ستون  $2k$ ،  $2k-3, 2k-4$  است که رنگ درایه‌های  $(2k, 2k+1)$  و  $(2k-1, 2k)$  می‌باشد. همچنین رنگ غایب در ستون  $1, 2k+1, 2k-4$  است که رنگ درایه‌های  $(2k, 2k-2)$  و  $(2k-1, 2k)$  می‌باشد.

حال اگر  $2 \leq m \leq 2n - 9$ ، آن‌گاه بنا به رابطه  $(2.4)$ ، برای اثبات تساوی، یک  $b$ -رنگ آمیزی احاطه‌گر برای  $K_m \square C_n$  با  $m+2$  رنگ ارایه می‌دهیم. یک آرایه  $(m+2) \times n$  با درایه‌های پرشده مطابق زیر در نظر می‌گیریم. این رنگ آمیزی جزئی را  $c$  می‌نامیم. داریم  $1 \leq j \leq \lceil m/2 \rceil + 1$  و  $r = 0, 1 \leq k \leq \lceil \frac{m}{2} \rceil$

$$c(2\lceil \frac{j}{2} \rceil - r, j) = 2j - r,$$

$$c(2k - r, 2k - 2) = 4k + r - 1, \quad c(2k - r, 2k + 1) = 4k + r - 2,$$

$$c(m+1, 2k - r) = 4k + 2r - 2, \quad c(m+2, 2k - r) = 4k + 2r - 2.$$

اگر  $(m \equiv 0, 3 \pmod{4})$ , آن‌گاه تعریف می‌کنیم.

$$\begin{aligned} c(\lceil m/2 \rceil + 2 - r, \lceil m/2 \rceil) &= 6 - r, \\ c(\lceil m/2 \rceil + 2 - r, \lceil m/2 \rceil + 2) &= 5 + r, \\ c(m + 1 + r, \lceil m/2 \rceil + 1) &= 6 - r. \end{aligned}$$

در شکل ۴-۲ این آرایه برای  $m = 9$  و  $n = 6$  داده شده است.

1	3	2			4
2	4	1			3
8	5	7	6		
7	6	8	5		
10		1	9	11	
9		11	10	1	
3	1	2	5	11	9
4	2	8	6	1	10

شکل ۴-۲ یک  $b$ -رنگ آمیزی جزیی از گراف  $K_{11} \square C_6$ .

این آرایه با درایه‌های داده شده یک رنگ آمیزی جزیی برای گراف  $K_{m+2} \square C_n$  است که هر ستون دارای ۶ درایه پر است. چون  $n \geq 9$ , هر ستون حداقل چهار راس رنگ نشده دارد، در نتیجه بنا به لم ۱-۳،  $c$  را می‌توان به یک رنگ آمیزی از گراف  $K_{m+2} \square C_n$  با  $m+2$  رنگ توسعی داد. برای به دست آوردن رنگ آمیزی مطلوب دو سطر آخر را حذف می‌کنیم. در این رنگ آمیزی در هر ستون دقیقاً دو رنگ غایب وجود دارد. مجموعه  $\{(j/2) - r, j) \mid 1 \leq j \leq \lceil m/2 \rceil + 1, r = 0, 1\}$  یک سیستم احاطه‌گر است. زیرا برای  $1 \leq k \leq \lceil \frac{m}{4} \rceil$ , رنگ‌های غایب در ستون  $2k, 2k-2, 2k-4, \dots, 2k-4k$  هستند و داریم  $c(2k-1, 2k+1) = c(2k, 2k-1) = 4k-2$  و  $c(2k, 2k+1) = c(2k-1, 2k-1) = 4k$ . داریم  $c(2k-1, 2k+1) = c(2k, 2k) = 4k-1$  هستند و داریم  $c(2k-1, 2k-2) = c(2k, 2k) = 4k-1$  هستند و داریم  $c(2k, 2k-2) = c(2k-1, 2k) = 4k-1$  و  $c(2k, 2k-2) = c(2k-1, 2k) = 4k-1$ .

حال فرض کنید  $8 \leq m \leq 2n-2$  و  $4 \leq n \leq m$ . در شکل ۴-۳، یک  $b$ -رنگ آمیزی برای گراف‌های  $K_7 \square C_n$  داده شده است. مجموعه راس‌ها در سیستم  $b$ -احاطه‌گر  $S$  در

شکل ۳-۴ یک b-رنگ آمیزی از گراف‌های  $K_4 \square C_n$  و  $n = 4, 5, 6$ .

شکل با دایره مشخص شده است. حال لم  $1-2-4$  را دو بار برای  $K_4 \square C_4$  به کار می‌بریم، بار اول برای  $(r, s) = (2, 3)$  و بار دوم برای  $(r, s) = (3, 4)$ . همچنین برای گراف  $K_4 \square C_5$ ، لم  $1-2-4$  را دو بار، هر دو بار برای  $(r, s) = (3, 4)$  به کار می‌بریم. به این ترتیب b-رنگ آمیزی مطلوب برای گراف‌های  $K_m \square C_n$  باشد. همچنین با به کارگیری لم  $1-2-4$  برای گراف  $K_7 \square C_5$  و  $K_7 \square C_6$  و  $n = 5, 6$  به دست می‌آید. همچنین با به کارگیری لم  $1-2-4$  برای گراف  $K_7 \square C_5$  و  $K_7 \square C_6$  و  $m = 5, 6$  به دست می‌آید. b-رنگ آمیزی مطلوب برای  $K_8 \square C_n$  و  $n = 5, 6$  به دست می‌آید.

بنابراین نتیجه  $1-4-5$ ، برای به دست آوردن b-رنگ آمیزی مطلوب برای  $K_m \square C_n$ ،  $n \geq t$ ، کافی است یک b-رنگ آمیزی برای گراف‌های  $K_m \square C_t$  و  $K_m \square C_{t+1}$  داشته باشیم. بنابراین از b-رنگ آمیزی‌های بالا رنگ آمیزی مطلوب برای گراف‌های  $K_m \square C_n$  باشد. ■

### ۳-۴ عدد b-رنگی گراف

در این بخش با استفاده از نتایج بخش قبل مقدار دقیق  $\varphi(K_m \square P_n)$  را مشخص می‌کنیم. می‌دانیم که  $\chi(K_m \square P_n) = m + 1$  و  $\Delta(K_m \square P_n) = m$ .

$$m \leq \varphi(K_m \square P_n) \leq m + 2. \quad (3.4)$$

قضیه ۴-۳-۱ برای اعداد صحیح مثبت  $m, n \geq 4$ ، داریم:

$$\varphi(K_m \square P_n) = \begin{cases} m & m \geq 2n - 2, \\ m + 1 & 2n - 5 \leq m \leq 2n - 3, \\ m + 2 & m \leq 2n - 6. \end{cases}$$

برهان. فرض کنید  $2n - 2 \geq m \geq 2(n - 1), 2 - 1 - 4, 2 - 1 - 4$ . بنابراین با به رابطه (۳.۴)، داریم  $\varphi(K_m \square P_n) = m$ .

اگر  $2n - 2 = m + 2$ ،  $\varphi(K_m \square P_n) = m + 1$  آن‌گاه در اولین و آخرین ستون گراف  $K_m \square P_n$  هیچ راس  $b$ -احاطه‌گر وجود ندارد، زیرا درجه راس‌های اول و آخر  $m$  است. از طرف دیگر بنا به گزاره ۴-۱-۴ در بقیه ستون‌ها هر یک حداقل دو راس  $b$ -احاطه‌گر وجود دارد. درنتیجه  $(m + 2) = \varphi(K_m \square P_n) \leq 2(n - 2)$ . بنابراین برای  $m + 2 = \varphi(K_m \square P_n) \leq m + 1$ ، داریم  $m \geq 2n - 5$ .

حال فرض کنید  $2n - 5 \leq m \leq 2n - 3$ ، یک  $b$ -رنگ آمیزی برای  $K_m \square P_n$  با  $m + 1$  رنگ ارایه می‌دهیم.

حالت ۱.  $m = 2n - 3$

رنگ آمیزی  $\{1, 2, \dots, m + 1\}$  را مطابق زیر تعریف می‌کنیم:

$$c(i, j) = \begin{cases} m - 1 & (i, j) = (m, 1), \\ m + 1 & (i, j) = (3j - 4, j), \quad 1 \leq j \leq n - 1, \\ m + 1 & (i, j) = (3n - 6, n), \\ i + j - 1 \pmod{m} & \text{در غیر این صورت.} \end{cases}$$

به آسانی دیده می‌شود که  $c$  یک رنگ آمیزی معتبر است و مجموعه

$$S = \{(m - 1, 1), (3n - 5, n), (3j - 5, j), (3j - 3, j) \mid 2 \leq j \leq n - 1\}$$

یک سیستم  $b$ -احاطه‌گر است. زیرا هر راس،  $1 - n$  همسایه در ستون خودش را احاطه می‌کند. پس کافی است رنگ غایب در آن ستون، در همسایگی آن راس ظاهر شود. رنگ غایب در ستون  $j, 1 - 2 \leq j \leq n - 1$ ، برابر  $5 - 4j$ ، در ستون اول برابر  $m$  و در ستون  $n$ ، برابر  $4n - 7$  است. علاوه بر این  $c(m - 1, 2) = m$ ،  $c(3j - 3, j - 1) = 4j - 5$  و  $c(3j - 5, j + 1) = 4j - 5$ ،  $c(3n - 5, n - 1) = 4n - 7$ .

درنتیجه  $S$  یک سیستم  $b$ -احاطه‌گر با رنگ‌های  $\{1, 2, \dots, m\}$  است. در شکل ۴-۵(الف) این رنگ آمیزی برای  $m = 5$  نشان داده شده است و راس‌های  $b$ -احاطه‌گر با دایره مشخص شده است.

حال فرض کنید  $5 - b = m = 2n - 1$ —رنگ آمیزی داده شده در بالا برای گراف  $K_m \square P_{n-1}$  با  $1 + m$  رنگ را در نظر می‌گیریم. یک ستون اضافه کرده و آن را دقیقاً مانند ستون اول رنگ می‌کنیم. رنگ آمیزی حاصل یک  $b$ -رنگ آمیزی از گراف  $K_m \square P_n$  با  $1 + m$  رنگ است.

حالت ۲.  $2 \cdot m = 2n - 4$

همان‌گونه که در شکل ۴-۴ می‌بینیم  $\varphi(K_4 \square P_4) = 5$ .

5	2	5	4
1	3	4	1
3	5	1	2
4	1	2	3

شکل ۴-۴ یک  $b$ -رنگ آمیزی از گراف  $K_4 \square P_4$  با ۵ رنگ.

برای  $n \geq 5$  نگاشت  $\{1, 2, \dots, m+1\}$  را به صورت زیر تعریف می‌کنیم.

$$c(i, j) = \begin{cases} m-1 & (i, j) = (m, 1), \\ m+1 & (i, j) = (3j-4, j), \quad 1 \leq j \leq \lceil \frac{n}{3} \rceil, \\ m+1 & (i, j) = (3j-5, j), \quad \lceil \frac{n}{3} \rceil + 1 \leq j \leq n-1, \\ m+1 & (i, j) = (3n-7, n), \\ i+j-1 \pmod{m} & \text{در غیر این صورت.} \end{cases}$$

به آسانی دیده می‌شود که  $c$  یک رنگ آمیزی معتبر است. مشابه حالت ۱، مجموعه

$$S = \{(m-1, 1), (3n-6, n), (3j-5, j), (3j-3, j), (i, 3i-6), (i, 3i-4) \mid \lceil \frac{n}{3} \rceil + 1 \leq i \leq n-1, 2 \leq j \leq \lceil \frac{n}{3} \rceil\}$$

یک سیستم  $b$ -احاطه‌گر است. در شکل ۴-۵(ب) این رنگ آمیزی برای  $m = 6$  نشان داده شده و راس‌های  $b$ -احاطه‌گر با دایره مشخص شده است.

حال فرض کنید  $6 \leq 2n - 2 \leq m \leq 2n' - 2$ . قرار دهید  $n' = n - 2$ . چون  $n' \geq 4$ ،  $\varphi(K_m \square C_{n'}) = m+2$  و  $\varphi(K_m \square P_{n'}) \geq m+2$ . لذا بنا به نتیجه  $\varphi(K_m \square P_n) \geq m+2$  و بنا به رابطه  $(3.4)$  برای  $n = 5$  یک  $b$ -رنگ آمیزی برای گراف  $K_m \square P_n$  در شکل ۴-۶ نشان داده شده است.

■

1	2	3	6
2	6	4	5
3	4	5	1
6	5	1	2
4	1	7	3

(الف)

1	2	3	4	5
2	1	4	5	7
3	4	5	7	1
4	5	6	1	2
5	7	1	2	3
6	1	2	3	4

(b)

شکل ۴-۵ یک b-رنگ آمیزی از گراف  $K_5 \square P_4$  و  $K_6 \square P_5$  با ۶ و ۷ رنگ.

5	1	7	4	7
7	2	5	3	1
4	3	4	2	4
1	4	1	7	0

شکل ۶-۴ یک  $b$ -رنگ آمیزی از گراف  $P_5 \square K_4$  با ۶ رنگ.

## ۴-۴ عدد $b$ -رنگی گراف $K_n \square K_n$

می‌دانیم که  $\varphi(K_n \square K_n) = n$  و  $\chi(K_n \square K_n) = 2n - 2$ . بنابراین  $\Delta(K_n \square K_n) = 2n - 1$ . این را به رابطه (۱.۴) می‌دانیم که  $n \leq \varphi(K_n \square K_n) \leq 2n - 1$ . در این بخش این کاران را بهبود داده و ثابت می‌کنیم  $\varphi(K_n \square K_n) \leq 2n - 3$ . در نهایت حدس می‌زنیم که برای  $n \geq 5$ ،  $\varphi(K_n \square K_n) = 2n - 3$ .

لم ٤-٤-١ فرض کنید  $c$  یک  $b$ -رنگ آمیزی برای گراف  $K_n \square K_n$  با  $1 - 2n$  رنگ باشد. اگر دو راس  $(i, i)$  و  $(i, t)$  راس‌های  $b$ -احاطه‌گر باشند، آن‌گاه در ستون‌های  $j$  و  $t$  هیچ راس  $b$ -احاطه‌گر دیگری وجود ندارد.

برهان. فرض کنید  $c$  یک  $b$ -رنگ آمیزی برای گراف  $K_n \square K_n$  با  $1 - 2n$  رنگ باشد. واضح است که اگر راس  $(x, y)$  یک راس  $b$ -احاطه‌گر باشد، آن‌گاه همه  $2n - 2$  همسایه این راس دارای رنگ‌های متفاوت هستند. یعنی رنگ‌های راس‌های سطر  $x$  و ستون  $y$  متفاوتند. حال بنا به خلف فرض کنید راس‌های  $(i, t)$  و  $(i', j)$ ،  $i \neq i'$ ،  $b$ -احاطه‌گر باشند. چون راس  $(i, t)$  یک راس  $b$ -احاطه‌گر است، رنگ‌های راس‌های سطر  $i$  و ستون  $t$  متفاوت هستند. در نتیجه اگر  $c(i', t) = a$  آن‌گاه در سطر  $i$  راسی به رنگ  $a$  وجود ندارد. بنابراین راس

a-احاطه‌گر  $(i, j)$  باید در ستون  $j$  همسایه‌ای به رنگ  $a$  داشته باشد. پس در سطر  $i$  و ستون  $j$  راسی با رنگ  $a$  وجود دارد و این با فرض این که  $(i', j)$  راس b-احاطه‌گر است تناقض دارد. به دلیل مشابه راس  $(i', t)$ ،  $i' \neq i$  راس b-احاطه‌گر نیست. ■

قضیه ۴-۴-۲ برای اعداد صحیح و مثبت  $2 \leq n$ ، داریم:

$$\varphi(K_n \square K_n) \leq 2n - 2.$$

برهان. می‌دانیم که  $\varphi(K_n \square K_n) = 2n - 1$ . فرض کنید  $\varphi(K_n \square K_n) = 2n - 1$  رنگ باشد. بدون کم شدن از کلیت مسئله فرض کنید سطرهای ۱ تا  $r$  هر یک دارای حداقل دو راس b-احاطه‌گر و سطرهای  $1 + r$  تا  $n$  هر یک حداکثر یک راس b-احاطه‌گر داشته باشند. هم‌چنین فرض کنید راس‌های b-احاطه‌گر در سطر اول و در  $s$  ستون اول قرار داشته باشند. بنا به لم ۴-۴-۱، در هر ستون  $j$ ،  $1 \leq j \leq s$  تنها یک راس b-احاطه‌گر وجود دارد. اگر  $s = n$  یا  $s = r$  آن‌گاه حداکثر  $n$  راس b-احاطه‌گر خواهیم داشت که تناقض است. اندازه مجموعه سیستم b-احاطه‌گر در رنگ آمیزی  $c$ ، حداکثر  $(n - r) + s$  است. حال اگر  $s < n$  و  $r < n$  آن‌گاه این تعداد حداکثر  $1 - r < 2n - 1 - r \leq 2n - s + (n - r) \leq 2n - 1$  بوده که متناقض با فرض است. ■

قضیه ۴-۴-۳ برای اعداد صحیح و مثبت  $5 \geq n$ ، داریم:

$$\varphi(K_n \square K_n) \geq 2n - 3.$$

برهان. برای اثبات قضیه یک b-رنگ آمیزی  $c$  با  $3 - 2n$  رنگ در دو حالت  $n$  زوج و فرد ارایه می‌دهیم. ابتدا تابع  $f : \mathbb{N} \rightarrow \mathbb{Z}$  را به صورت زیر تعریف می‌کنیم.

$$f(x) = \begin{cases} x & x \text{ فرد}, \\ x - 2 & x \text{ زوج}. \end{cases}$$

حالت ۱.  $n$  فرد است.

در این حالت نگاشت  $c : V(K_n \square K_n) \rightarrow \mathbb{N}$  را مطابق زیر تعریف می‌کنیم.

$$c((i, j)) = \begin{cases} i + j - 1 \pmod{n-1} & i \leq j \leq n-i-1, \\ f(i+j) \pmod{n-1} & n-i \leq j \leq n-2, i \leq j, \\ (i+j-2) \pmod{n-2}) + (n-1) & j < i \leq n-1, (i, j) \neq (n-1, n-2) \\ n-4 & (i, j) = (n-1, n-2). \end{cases}$$

برای ستون‌های  $1-n$  و سطر  $n$ ، نگاشت  $c$  را به صورت زیر تعریف می‌کنیم.

$$c((i, n-1)) = \begin{cases} 2i-2 \pmod{n-1} & 1 \leq i \leq \frac{n-1}{2}, \\ 2i-1 \pmod{n-1} & \frac{n+1}{2} \leq i \leq n-2, \\ 2n-4 & i = n-1. \end{cases}$$

$$c((i, n)) = \begin{cases} (2i-2) \pmod{n-2}) + (n-1) & i \text{ فرد}, i \leq n-2, \\ i-2 \pmod{n-1} & i \text{ زوج}, i \leq n-2, \\ n-4 & i = n-1. \end{cases}$$

$$c((n, j)) = \begin{cases} j-1 \pmod{n-1} & j \text{ فرد}, j \leq n-3, \\ (2j-2) \pmod{n-2}) + (n-1) & j \text{ زوج}, j \leq n-2, \\ 2n-5 & j = n-2, \\ 1 & j = n. \end{cases}$$

نگاشت  $c$  یک  $b$ -رنگ آمیزی و  $\{(i, i), (j+1, j) \mid 1 \leq i \leq n-1, 1 \leq j \leq n\}$  یک سیستم  $S = \{(i, i), (j+1, j) \mid 1 \leq i \leq n-1, 1 \leq j \leq n\}$  است. زیرا راس‌های  $S$  دارای رنگ‌های متمایزند و رنگ‌های سطر و ستون متناظر با هر راس در  $S$  همه غیرازدواتاً متمایز هستند. به عنوان مثال این رنگ آمیزی برای  $n=7$  در شکل ۴-۷(الف) نشان داده شده است.

حالت ۲.  $n$  زوج است.

در این حالت نگاشت  $c : V(K_n \square K_n) \rightarrow \mathbb{N}$  را مطابق زیر تعریف می‌کنیم.

$$c((i, j)) = \begin{cases} i + j - 2 \pmod{n-2} & i+1 \leq j \leq n-i-1, \\ f(i+j-1) \pmod{n-2} & n-i \leq j \leq n-2, i+1 \leq j, \\ (i+j-1) \pmod{n-1}) + (n-2) & j \leq i \leq n-1, (i, j) \neq (n-1, n-2), \\ n-4 & (i, j) = (n-1, n-2). \end{cases}$$

برای ستون‌های  $1 - n$  و سطر  $n$ ، نگاشت  $c$  را به صورت زیر تعریف می‌کنیم.

$$c((i, n-1)) = \begin{cases} 2i-2 \pmod{n-2} & 1 \leq i \leq \frac{n-2}{2}, \\ 2i-1 \pmod{n-2} & \frac{n}{2} \leq i \leq n-3, \\ 2n-5 & i = n-2, \\ 2n-4 & i = n-1, \\ n-3 & i = n. \end{cases}$$

$$c((i, n)) = \begin{cases} (2i \pmod{n-1}) + (n-2) & i \text{ فرد}, i \leq n-2, \\ i-2 \pmod{n-2} & i \text{ زوج}, i \leq n-2, \\ n-3 & i = n-1, \\ 1 & i = n. \end{cases}$$

$$c((n, j)) = \begin{cases} (2j-2 \pmod{n-1}) + (n-2) & j \text{ فرد}, 3 \leq j \leq n-2, \\ j-2 \pmod{n-2} & j \text{ زوج}, j \leq n-3 \\ n-4 & j = 1, \\ 2n-5 & j = n-2. \end{cases}$$

$S = \{(i, i), (j-1, j) \mid 1 \leq i \leq n-1, 1 \leq j \leq n-2\} \cup \{(n-1, n-2)\}$  نگاشت  $c$  یک  $b$ -رنگآمیزی و  $(n-1, n-2)$  یک سیستم  $b$ -احاطه‌گر است. زیرا راس‌های  $S$  دارای رنگ‌های متمایزند و رنگ‌های سطر و ستون متناظر با هر راس در  $S$  همه غیر از دو تا متمایز هستند. به عنوان مثال این رنگآمیزی برای  $n=8$  در شکل ۷-۴(b) نشان داده شده است. ■

تذکر. برای  $n=3$  به تقریب یک‌ریختی تنها راه ممکن برای داشتن یک  $b$ -رنگآمیزی با ۴ رنگ چیزی است که در شکل ۷-۸(الف) نشان داده شده است که کامل کردن آن غیر ممکن است. در نتیجه  $\varphi(K_3 \square K_3) = 3$ .

برای  $n=4$  یک  $b$ -رنگآمیزی با  $6 = 2n-2$  رنگ در شکل ۷-۸(b) داده شده است.

در پایان در رابطه با قضیه فوق، حدس زیر را ارایه می‌کنیم.

حدس. برای هر عدد صحیح  $n \geq 5$ ،  $\varphi(K_n \square K_n) = 2n-3$ .

(1)	2	3	4	5	6	11
(7)	(3)	4	5	1	2	6
8	(9)	(5)	1	6	4	10
9	10	(11)	(6)	3	1	2
10	11	7	(8)	(2)	3	9
11	7	8	9	(4)	(10)	5
6	8	2	7	9	11	1

(الف)

(7)	(1)	2	3	4	5	6	8
8	(9)	(3)	4	5	1	2	6
9	10	(11)	(5)	1	6	4	12
10	11	12	(13)	(6)	3	1	2
11	12	13	7	(8)	(2)	3	9
12	13	7	8	9	(10)	11	4
13	7	8	9	10	(4)	(12)	5
4	6	10	2	7	11	5	1

(ب)

شکل ۷-۴ یک b-رنگ آمیزی از گراف  $K_7 \square K_7$  و  $K_8 \square K_8$  با ۱۱ و ۱۳ رنگ.

(1)	(2)	3
(4)	(3)	1
2	4	?

(الف)

(1)	(2)	3	4
(5)	4	1	2
6	5	(4)	(3)
3	(6)	2	1

(ب)

شکل ۸-۴ b-رنگ آمیزی گراف  $K_4 \square K_4$  و  $K_2 \square K_2$ .

## فصل ۵

# $b$ -رنگ آمیزی گراف‌های کنسر

پس از تعریف مفهوم  $b$ -رنگ آمیزی و عدد  $b$ -رنگی این سوال مطرح می‌شود که آیا برای گراف  $G$  و عدد صحیح  $k$ ،  $\chi(G) \leq k \leq \varphi(G)$ ، یک  $b$ -رنگ آمیزی برای  $G$  با  $k$  رنگ وجود دارد؟ جواب این سوال در حالت کلی منفی است. به عنوان مثال برای گراف  $Q_2$  داریم  $\chi(Q_2) = 2$  و  $\varphi(Q_2) = 4$ ، اما هیچ  $b$ -رنگ آمیزی با ۳ رنگ ندارد [۲۳]. گراف  $G$ -پیوسته نامیده می‌شود هرگاه برای هر عدد صحیح  $k$ ،  $\chi(G) \leq k \leq \varphi(G)$  یک  $b$ -رنگ آمیزی برای  $G$  با  $k$  رنگ وجود داشته باشد. تعدادی کمی از گراف‌های  $b$ -پیوسته شناخته شده است [۱۷].

فرض کنید  $k$  و  $n$  دو عدد طبیعی هستند که  $n < 2k$ . برای مجموعه  $T$  از اندازه  $n$ ،  $V$  را مجموعه همه زیرمجموعه‌های  $k$  عضوی  $S$  در نظر بگیرید. گراف کنسر با پارامترهای  $n$  و  $k$  که با  $K(n, k)$  نشان داده می‌شود گرافی با مجموعه راس‌های  $V$  است به طوری که دو راس مجاورند اگر و تنها اگر زیرمجموعه‌های متناظر آن‌ها مجزا باشند. گراف‌های کنسر از دیدگاه‌های مختلف مورد مطالعه بوده است. در این فصل به مطالعه  $b$ -رنگ آمیزی این دسته از گراف‌ها می‌پردازیم. در بخش اول مقدار دقیق  $(K(n, 2))\varphi$  و  $(K(2k + 1, k))\varphi$  را مشخص می‌کنیم. در بخش دوم ثابت می‌کنیم گراف کنسر با پارامترهای  $2 = k$  و  $n \geq 16$   $b$ -پیوسته هستند [۳۵].

برای اثبات قضیه‌های اصلی این فصل از ساختارهای طرح‌های سه‌تایی استاینر استفاده خواهیم کرد. به همین

جهت در بخش بعد معرفی مختصری از طرح‌های سه‌تایی اشتاینراایه می‌کنیم.

## ۱-۵ طرح‌های سه‌تایی اشتاینراایه

یک دوتایی  $(S, B)$  را یک طرح سه‌تایی اشتاینراایه نامیم، هرگاه  $S$  مجموعه متناهی از نقطه‌ها با نمادها و  $B$  خانواده‌ای از زیرمجموعه‌های ۳ عضوی  $S$  به نام بلوک‌ها باشد، به طوری که هر دو نقطه از  $S$  با هم دقیقاً در یک بلوک ظاهر شود. هرگاه  $n = |S|$ ، طرح سه‌تایی اشتاینراایه را با  $STS(n)$  نشان می‌دهیم. به راحتی ثابت می‌شود که شرط لازم برای وجود  $STS(n)$  این است که  $n \equiv 1, 3 \pmod{6}$ . این شرایط لازم، کافی نیز بوده و برای هر  $3 \leq n = 6k + 1$  و  $n = 6k + 2$ ، یک  $STS(n)$  موجود است. ساختارهای مختلفی برای این طرح‌ها ارایه شده است. در ادامه به بیان برخی از این ساختارها می‌پردازیم.

**تعريف ۱-۱-۱** یک مربع لاتین از مرتبه  $k$  یک آرایه  $k \times k$  است که هر سلول آن شامل یکی از نمادهای  $\{1, 2, \dots, k\}$  بوده به طوری که در هر سطر و هر ستون از آرایه، هریک از نمادهای  $1, 2, \dots, k$  یک و فقط یک بار ظاهر شوند. منظور از یک شبه‌گروه از مرتبه  $k$  ام زوج  $(Q, \circ)$  است که  $Q$  یک مجموعه از اندازه  $k$  و "◦" یک عمل دوتایی روی  $Q$  است به طوری که برای هر دو عضو  $a$  و  $b$  در  $Q$ ، معادلات  $b \circ a = b$  و  $a \circ x = b$  و  $y \circ a = b$  و  $a \circ x = y$  برقرار باشند. در حقیقت هر شبه‌گروه متناظر با یک مربع لاتین است و برعکس. یک شبه‌گروه دارای جواب یکتا باشند.  $i \circ i = i$  و آن را متقارن می‌خوانیم هرگاه برای هر  $(Q, \circ)$  را خودتوان گوییم هرگاه برای هر  $i \in Q$  و  $j \in Q$ ، یک شبه‌گروه از مرتبه  $2k$  را نیمه خودتوان گوییم هرگاه برای هر  $i, j \in Q$ ،  $i \circ i = i$  و  $i \circ j = j \circ i$ .

$$i \circ i = k + i \circ k + i = i$$

**مثال ۱-۲-۱** فرض کنید  $1 \leq i, j \leq 2k + 1$  یک عدد فرد باشد و گروه جمعی  $(\mathbb{Z}_n, +)$  را در نظر بگیرید. با توجه به این که  $n$  فرد است، برای هر  $i, j \in \mathbb{Z}_n$  که  $j \neq i$ ، داریم  $2i \neq 2j$ . بنابراین یک جایگشت  $\sigma$  روی مجموعه  $\{1, \dots, n\}$  وجود دارد که برای هر  $i \in \mathbb{Z}_n$ ،  $\sigma(2i) = i$ . حال شبه‌گروه  $(Q, \circ)$  را به صورت  $Q = \mathbb{Z}_n$  و  $\sigma(i + j) = \sigma(i) + \sigma(j)$ ، برای هر  $i, j \in Q$ ، تعریف می‌کیم. این شبه‌گروه متقارن خودتوان است. فرض کنید  $1 \leq i, j \leq 2k + 1$  یک عدد زوج باشد و گروه جمعی  $(\mathbb{Z}_n, +)$  را در نظر بگیرید. در این صورت برای هر  $i + j = (i + k) + (i + k) = 2i$ ،  $1 \leq i \leq k$  حال جایگشت  $\sigma$  را جایگشتی بگیرید که برای هر  $i \in Q$ ،  $\sigma(2i) = i$ . حال شبه‌گروه  $(Q, \circ)$  را به صورت  $Q = \mathbb{Z}_n$  و  $\sigma(i + j) = \sigma(i) + \sigma(j)$ ، برای هر  $i, j \in Q$ ، تعریف می‌کنیم. این شبه‌گروه، یک شبه‌گروه متقارن نیمه خودتوان است.

### ساختار بوس<sup>۱</sup>: ساختن طرح سه‌تایی اشتاینر از مرتبه $3 \cdot 6k + 6$ .

فرض کنید  $n = 6k + 3$  و  $(Q, \circ)$  یک شبه‌گروه متقارن خودتوان از مرتبه  $1 \cdot 2k + 2$  باشد، که  $S = Q \times \{1, 2, 3\}$  و  $\mathcal{B} = Q \times \{1, 2, 3, \dots, 2k + 1\}$  را شامل دو نوع سه‌تایی‌های زیر در نظر می‌گیریم.

$$\text{نوع ۱. } 1 \leq i \leq 2k + 1 \quad \{(i, 1), (i, 2), (i, 3)\} \in \mathcal{B}$$

$$\text{نوع ۲. } 1 \leq i < j \leq 2k + 1 \quad \{(i, 1), (j, 1), (i \circ j, 2)\}, \quad \{(i, 2), (j, 2), (i \circ j, 3)\}, \quad \{(i, 3), (j, 3), (i \circ j, 1)\} \in \mathcal{B}$$

$(S, \mathcal{B})$  یک طرح سه‌تایی اشتاینر از مرتبه  $3 \cdot 6k + 6$  است.

### ساختار اسکولم<sup>۲</sup>: ساختن طرح سه‌تایی اشتاینر از مرتبه $1 \cdot 6k + 1$ .

فرض کنید  $n = 6k + 1$  و  $(Q, \circ)$  یک شبه‌گروه متقارن نیمه خودتوان از مرتبه  $2k$  باشد، که  $S = Q \times \{1, 2, 3\} \cup \{\infty\}$  و  $\mathcal{B} = Q \times \{1, 2, 3, \dots, 2k\}$  را شامل سه نوع سه‌تایی‌های زیر در نظر می‌گیریم.

$$\text{نوع ۱. } 1 \leq i \leq k \quad \{(i, 1), (i, 2), (i, 3)\} \in \mathcal{B}$$

$$\text{نوع ۲. } 1 \leq i < j \leq 2k \quad \{(i, 3), (j, 3), (i \circ j, 1)\}, \quad \{(i, 2), (j, 2), (i \circ j, 3)\}, \quad \{(i, 1), (j, 1), (i \circ j, 2)\} \in \mathcal{B}$$

$$\text{نوع ۳. } 1 \leq i \leq k \quad \{\infty, (k+i, 3), (i, 1)\}, \quad \{\infty, (k+i, 2), (i, 3)\}, \quad \{\infty, (k+i, 1), (i, 2)\} \in \mathcal{B}$$

$(S, \mathcal{B})$  یک طرح سه‌تایی اشتاینر از مرتبه  $1 \cdot 6k + 1$  است.

گرچه طرح سه‌تایی اشتاینر برای  $1, 3 \not\equiv n \pmod{6}$  وجود ندارد، اما می‌توان ساختارهای نزدیک به طرح سه‌تایی اشتاینر یافت. این ساختارها طرح‌های متعادل دوگانه نام دارند. یک طرح متعادل دوگانه یک زوج مرتب  $(S, \mathcal{B})$  است، به طوری که  $S$  مجموعه متناهی از نقطه‌ها یا نمادها و  $\mathcal{B}$  خانواده‌ای از زیرمجموعه‌های  $S$  به نام بلوک‌ها است، به طوری که هر دو نقطه از  $S$  با هم دقیقاً در یک بلوک ظاهر شود. هرگاه  $n = |S|$ ، این ساختار را با  $PBD(n)$  نشان می‌دهیم. در زیر ساختاری از  $PBD(n)$  برای  $n = 6k + 5$  ارایه می‌دهیم که در آن اندازه همه بلوک‌ها غیر از یکی ۳ و تنها یک بلوک از اندازه ۵ وجود دارد.

---

Bose<sup>۱</sup>  
Skolem<sup>۲</sup>

### ساختار ۵

فرض کنید  $\{1, 2, \dots, 2k + 1\} = Q$  یک شبکه‌گروه متقارن خودتوان از مرتبه ۱ باشد. همچنانی فرض کنید  $\alpha$  جایگشت  $\{1, 2, \dots, 2k + 1\}$  باشد. قرار می‌دهیم  $S = \{\infty_1, \infty_2\} \cup (\{1, 2, \dots, 2k + 1\} \times \{1, 2, 3\})$  و  $B = \{\infty_1, \infty_2\} \cup (\{1, 2, \dots, 2k + 1\} \times \{1, 2, 3\})$

نوع ۱.  $\{\infty_1, \infty_2, (1, 1), (1, 2), (1, 3)\}$

$, \{\infty_1, (2i, 1), (2i, 2)\}, \{\infty_1, (2i, 3), (\alpha(2i), 1)\}$

$, \{\infty_2, (2i, 2), (2i, 3)\}, \{\infty_2, (\alpha(2i), 2), (\alpha(2i), 3)\}$

$, 1 \leq i \leq k$  برای  $\{\infty_2, (\alpha(2i), 1), (\alpha^{-1}(2i), 3)\}, \{\infty_2, (2i, 1), (\alpha(2i), 2)\}$

نوع ۲.  $\{(i, 3), (j, 3), (\alpha(i \circ j), 1)\}, \{(i, 2), (j, 2), (i \circ j, 3)\}, \{(i, 1), (j, 1), (i \circ j, 2)\}$

$. 1 \leq i \leq 2k + 1$

یک  $(S, B)$  با دقیقاً یک بلوک از اندازه ۵ و سایر بلوک‌ها از اندازه ۳ است.

تعريف ۱-۵-۳ در  $H = \{\{1, 2\}, \{3, 4\}, \dots, \{2k - 1, 2k\}\}$  و  $Q = \{1, 2, \dots, 2k\}$  فرض کنید. این صورت هر زیرمجموعه دو عضوی  $\{2i - 1, 2i\} \in H$  حفره نامیده می‌شود. یک شبکه‌گروه با حفره  $H$  یک شبکه‌گروه  $(Q, \circ)$  از مرتبه  $2k$  به طوری که برای هر  $(h, \circ)$   $h \in H$  یک زیرشبکه‌گروه از  $(Q, \circ)$  باشد.

گزاره ۱-۵-۴ [۳۰] برای هر  $k \geq 3$ ، یک شبکه‌گروه  $(Q, \circ)$  متقارن از مرتبه  $2k$  با حفره‌های  $H = \{\{1, 2\}, \{3, 4\}, \dots, \{2k - 1, 2k\}\}$  و سه عدد متمایز  $i, j, l \leq 2k$  وجود دارد، به طوری که  $.l \circ j = i$  و  $i \circ l = j$ ،  $i \circ j = l$

با استفاده از یک شبکه‌گروه متقارن از مرتبه  $2k$  با حفره  $H$ ، می‌توان ساختارهایی برای  $STS(6k + 2)$  و  $PBD(6k + 5)$  ارایه داد. از این ساختارها در اثبات  $b$ -پیوستگی گراف  $K(n, 2)$  استفاده خواهیم کرد.

### ساختار طرح‌های سه‌تایی اشتاینر با استفاده از شبکه‌گروه‌های متقارن حفره‌دار

فرض کنید  $(\{1, 2, \dots, 2k\}, \circ)$  یک شبکه‌گروه متقارن از مرتبه  $2k$  با حفره  $H$  باشد. در این صورت:

الف) زوج  $(S, \mathcal{B})$  یک  $STS(6k+1)$  است، که  $S = \{\infty\} \cup (\{1, 2, \dots, 2k\} \times \{1, 2, 3\})$  و  $\mathcal{B}$  به صورت زیر تعریف می‌شود.

(۱) برای  $k \leq i \leq 1$ ،  $(S_i, \mathcal{B}_i)$  را یک  $STS(7)$  در نظر بگیرید به طوری که داشته باشیم  $\mathcal{B}_i \subset \mathcal{B}$  و قرار دهید  $S_i = \{\infty\} \cup \{2i-1, 2i\} \times \{1, 2, 3\}$ .

(۲) برای  $1 \leq i \neq j \leq 2k$  که  $\{(i, 1), (j, 1), (i \circ j, 2)\} \subseteq H$  سه‌تایی‌های  $\{(i, 1), (j, 1), (i \circ j, 2)\}$  و  $\{(i, 3), (j, 3), (i \circ j, 1)\}$  در  $\mathcal{B}$  قرار دارند.

ب) زوج  $(S, \mathcal{B})$  یک  $STS(6k+3)$  است، که  $S = \{\infty_1, \infty_2, \infty_3\} \cup (\{1, 2, \dots, 2k\} \times \{1, 2, 3\})$  به صورت زیر تعریف می‌شود.

(۱) برای  $k \leq i \leq 1$ ،  $(S_i, \mathcal{B}_i)$  را یک  $STS(9)$  در نظر بگیرید به طوری که داشته باشیم  $S_i = \{\infty_1, \infty_2, \infty_3\} \cup (\{2i-1, 2i\} \times \{1, 2, 3\})$  یک بلوک باشد. قرار دهید  $\mathcal{B}_i \subset \mathcal{B}$ .

(۲) برای  $1 \leq i \neq j \leq 2k$  که  $\{(i, 1), (j, 1), (i \circ j, 2)\} \subseteq H$  سه‌تایی‌های  $\{(i, 1), (j, 1), (i \circ j, 2)\}$  و  $\{(i, 3), (j, 3), (i \circ j, 1)\}$  در  $\mathcal{B}$  قرار دارند.

ج) زوج  $(S, \mathcal{B})$  یک  $PBD(6k+5)$  با یک بلوک از اندازه ۵ و سایر بلوک‌ها از اندازه ۳ است، که  $S = \{\infty_1, \infty_2, \infty_3, \infty_4, \infty_5\} \cup (\{1, 2, \dots, 2k\} \times \{1, 2, 3\})$  به صورت زیر تعریف می‌شود.

(۱) برای  $k \leq i \leq 1$ ،  $(S_i, \mathcal{B}_i)$  را یک  $PBD(11)$  قرار دهید به طوری که داشته باشیم  $S_i = \{\infty_1, \infty_2, \infty_3, \infty_4, \infty_5\} \cup (\{2i-1, 2i\} \times \{1, 2, 3\})$  یک بلوک باشد. قرار دهید  $\mathcal{B}_i \subset \mathcal{B}$ .

(۲) برای  $1 \leq i \neq j \leq 2k$  که  $\{(i, 1), (j, 1), (i \circ j, 2)\} \subseteq H$  سه‌تایی‌های  $\{(i, 1), (j, 1), (i \circ j, 2)\}$  و  $\{(i, 3), (j, 3), (i \circ j, 1)\}$  در  $\mathcal{B}$  قرار دارد.

## ۲-۵ عدد $b$ -رنگی گراف‌های کنسنتریت

در این بخش نتایجی در مورد عدد  $b$ -رنگی گراف کنسنتری مقادیری از  $n$  و  $k$  به دست می‌آوریم.

قضیه ۱-۲-۵ برای هر عدد صحیح مثبت  $k$ ،  $k \geq 3$ ،  $\varphi(K(2k+1, k)) = k+2$

برهان. می‌دانیم که  $\varphi(K(2k+1, k)) \leq k+2$ ، لذا با توجه به رابطه (۱.۴)،  $\Delta(K(2k+1, k)) \leq k+2$ . فرض کنید  $3 \leq k$ ، برای اثبات تساوی یک  $b$ -رنگ آمیزی با  $2+k$  رنگ ارایه می‌دهیم. کلاس رنگی  $i$

$1 \leq i \leq k$  را شامل مجموعه

$$\{\{k+1, \dots, 2k+1\} - \{k+i\}, \{1, \dots, k\} - \{i\} \cup \{k+j\}, 1 \leq j \leq k+1, j \neq i\}$$

قرار می‌دهیم. همچنین کلاس رنگی  $1 + k$  را شامل مجموعه

$$\{\{k+1, \dots, 2k\}, \{1, \dots, k\} - \{j\} \cup \{k+j\}, 1 \leq j \leq k\}$$

و کلاس  $2 + k$  را شامل مجموعه  $\{\{1, 2, \dots, 2k+1\} - \{1, 2, \dots, k\}\}$  تعریف می‌کنیم. سایر راس‌های  $\{A\}$  را به صورت زیر رنگ می‌کنیم. اگر  $i \in A \cap \{1, 2, \dots, 2k+1\}$  آن‌گاه برای یک  $A$ ،  $i \notin A$  و  $2k+1-i \in A$  را به کلاس  $i$  اضافه می‌کنیم. اگر  $i \in A \cap \{1, 2, \dots, 2k+1\}$  و  $2k+1-i \notin A$  را به کلاس  $i$  اضافه می‌کنیم. اگر  $i \notin A \cap \{1, 2, \dots, 2k+1\}$  و  $2k+1-i \in A$  را به کلاس  $2k+1-i$  اضافه می‌کنیم. اگر  $i \in A \cap \{1, 2, \dots, 2k+1\}$  و  $2k+1-i \notin A$  را به کلاس رنگی  $2 + k$  اضافه می‌کنیم.

به آسانی دیده می‌شود که اعضای هر کلاس دو به دو دارای اشتراک غیررتّه‌ی هستند، لذا هر کلاس یک مجموعه مستقل تشکیل می‌دهد. پس این یک رنگ آمیزی معتبر است. مجموعه  $\{1, 2, \dots, k\}$  یک سیستم  $b$ -احاطه‌گر است. زیرا راس  $\{1, 2, \dots, k\}$  به همه راس‌های  $\{1, 2, \dots, 2k+1\} - \{k+i\}$  متصل است. علاوه بر این برای یک  $i$  ثابت،  $1 \leq i \leq k+1$ ،  $\{1, 2, \dots, 2k+1\} - \{k+i\}$  با راس‌های  $\{1, \dots, k\} - \{i\}$  مجاور است. همچنین برای  $k+1 \leq i \leq 2k+1$  راس با راس  $\{1, \dots, k\} - \{i\}$  مجاور است.

■

یک مجموعه  $S$  از راس‌ها در گراف  $G$  را احاطه‌گر گوییم هرگاه هر راس خارج از  $S$  یک همسایه در  $S$  داشته باشد. لم زیر مطلبی در مورد مجموعه‌های احاطه‌گر در گراف  $K(n, k)$  بیان می‌کند.

لم ۵-۲-۲ اگر  $T \subseteq \{1, \dots, n\}$  یک زیرمجموعه از اندازه  $1 \leq 2k$  باشد، در این صورت مجموعه همه زیرمجموعه‌های  $k$  عضوی  $T$  یک مجموعه مستقل احاطه‌گر در گراف کنسر  $K(n, k)$  است.

برهان. فرض کنید  $A \subseteq \{1, \dots, n\}$  یک زیرمجموعه  $k$  عضوی باشد که  $A \not\subseteq T$ . در این صورت  $|A \cap T| \leq k-1$ ، پس یک زیرمجموعه  $k$  عضوی  $B \subseteq T$  یافت می‌شود که  $A \cap B = \emptyset$ . لذا  $A$  و  $B$  در گراف  $K(n, k)$  مجاورند. همچنین واضح است که هر دو زیرمجموعه  $k$  عضوی  $T$  اشتراک دارند. لذا مجموعه همه زیرمجموعه‌های  $k$  عضوی  $T$  یک مجموعه مستقل احاطه‌گر است.

■

در صورت وجود طرح‌هایی با پارامترهای خاص، از لم فوق یک کران پایین برای عدد  $b$ -رنگی گراف‌های کنسنتر  $K(n, k)$  به دست می‌آید. زوج مرتب  $(S, \mathcal{B})$  را یک طرح اشتاینر با پارامترهای  $(n, k, t)$  می‌نامیم، هرگاه  $|S| = n$  و  $\mathcal{B}$  خانواده‌ای از زیرمجموعه‌های  $k$  عضوی  $S$  باشد، به طوری که هر عضو  $S$  با هم یک و فقط یک بار در اعضای  $\mathcal{B}$  ظاهر شود.

**نتیجه ۳-۲-۵** اگر  $(S, \mathcal{B})$  یک ساختار وقوع اشتاینر با پارامترهای  $(n, 2k - 1, k)$  باشد، آن‌گاه  $\varphi(K(n, k)) \geq |\mathcal{B}|$ .

برهان. فرض کنید  $\{B_1, B_2, \dots, B_{|\mathcal{B}|}\}$  برای هر  $i \leq |\mathcal{B}|$ ، کلاس رنگی  $i$  را مجموعه همه زیرمجموعه‌های  $k$  عضوی  $B_i$  تعریف می‌کنیم. بنا به لم ۲-۲-۵ هر کلاس  $i$  یک مجموعه مستقل است، پس این افزای یک رنگ آمیزی معتبر برای راس‌های گراف  $K(n, k)$  است. علاوه بر این هر کلاس  $i$  تعریف شده در بالا بنا به لم ۲-۲-۵ یک مجموعه احاطه‌گر است. در نتیجه هر عضو در یک کلاس رنگی  $i$  در سایر کلاس‌ها دارای همسایه است. بنابراین این افزای یک  $b$ -رنگ آمیزی برای گراف  $K(n, k)$  با  $|\mathcal{B}|$  رنگ است. ■

در ادامه قصد داریم عدد  $b$ -رنگی گراف‌های کنسنتر  $(2, K(n, 2))$  را به دست آوریم. ابتدا ذکر دو نکته ضروری به نظر می‌رسد.

**تذکر ۱.** هر راس در گراف کنسنتر  $K(n, 2)$  که در حقیقت یک زیرمجموعه دو عضوی از مجموعه  $\{1, 2, \dots, n\}$  است متناظر با یک یال در گراف کامل  $K_n$  با مجموعه راس‌های  $\{1, 2, \dots, n\}$  است. در نتیجه دو راس در  $K(n, 2)$  مستقل هستند اگر و تنها اگر دو یال متناظر آن‌ها در  $K_n$  مجاور باشند. فرض کنید  $A$  یک مجموعه مستقل از راس‌ها در گراف  $K(n, 2)$  باشد، در این صورت یا همه راس‌ها در  $A$  در یک عضو مانند  $a$  مشترک هستند یا  $\{\{a, b\}, \{a, c\}, \{b, c\}\} = A$ . به عبارت دیگر مجموعه راس‌های مستقل در  $K(n, 2)$  متناظر با یک زیرگراف ستاره به مرکز  $a$  یا یک مثلث در  $K_n$  هستند. در ادامه مجموعه‌های مستقل به فرم اول را مجموعه مستقل ستاره‌ای به مرکز  $a$  و فرم دوم را مجموعه مستقل مثلثی می‌نامیم. هم‌چنین برای راحتی هر کلاس مثلثی مستقل از یال‌های گراف  $K_n$  به سادگی با مجموعه  $\{a, b, c\}$  نشان می‌دهیم. از آنجا که هر رنگ آمیزی معتبر از یک گراف در واقع افزای راس‌های آن گراف به مجموعه‌های مستقل راسی است، می‌توان هر رنگ آمیزی معتبر گراف  $K(n, 2)$  را افزایی از یال‌های گراف  $K_n$  به ستاره‌ها یا مثلث‌ها در نظر می‌گیریم.

**تذکر ۲.** از تعریف  $STS(n)$  به راحتی مشاهده می‌شود که یک طرح اشتاینر سه‌تایی در حقیقت معادل با یک افزای از یال‌های گراف  $K_n$  به مثلث‌ها است. با توجه به این موضوع و توضیحات فوق هر طرح اشتاینر سه‌تایی با  $n$  نقطه یک رنگ آمیزی معتبر از گراف  $K(n, 2)$  است.

لم ۵-۴-۲ اگر  $c$  یک  $b$ -رنگ آمیزی برای گراف  $K(n, 2)$  باشد و در این رنگ آمیزی  $A_1, \dots, A_2, A_t$  همه کلاس‌های رنگی ستاره‌ای با مراکز  $a_t, \dots, a_2, a_1$  باشند، آن‌گاه  $a_i$ ها متمایزنند و هر زیر مجموعه دو عضوی از  $\{a_1, a_2, \dots, a_t\}$  متعلق به  $\bigcup_{i=1}^t A_i$  است.

برهان. بنا به خلف فرض می‌کنیم برای یک  $j \neq i$ ،  $a_j = a_i$ . در نتیجه  $A_i \cup A_j$  یک مجموعه مستقل است، یعنی هیچ راسی در کلاس  $A_j$  در کلاس  $A_i$  همسایه ندارد که این با  $b$ -رنگ آمیزی بودن  $c$  متناقض است. پس برای  $a_i \neq a_j$ ،  $1 \leq i \neq j \leq t$ .

حال یک زیرمجموعه دو عضوی دلخواه از  $\{a_1, a_2, \dots, a_t\}$  را در نظر می‌گیریم. اگر  $\{a_i, a_j\} \notin \bigcup_{i=1}^t A_i$  آن‌گاه این راس متعلق به یک کلاس رنگی مثلثی  $\{a_i, a_j, b\}$  است. در این کلاس راس‌های  $\{a_i, b\}$  و  $\{a_j, b\}$  راس‌های  $b$ -احاطه‌گر نیستند زیرا در کلاس  $A_i$  همسایه ندارند. هم‌چنین راس  $\{a_j, b\}$  در کلاس  $A_j$  همسایه ندارد پس  $b$ -احاطه‌گر نیست. این یک تناقض است در نتیجه  $\{a_i, a_j\} \in \bigcup_{i=1}^t A_i$ .

لم ۵-۵ فرض کنید  $c$  یک رنگ آمیزی معتبر برای گراف  $K(n, 2)$  باشد به طوری که همه کلاس‌های رنگی ستاره‌ای با مراکز  $a_t, \dots, a_2, a_1$  باشند. اگر

(۱) برای هر  $i \leq t$ ،  $a_i$ ها متمایز باشند و  $|A_i| \geq 3$

(۲) هر زیر مجموعه دو عضوی از  $\{a_1, a_2, \dots, a_t\}$  متعلق به  $\bigcup_{i=1}^t A_i$  باشد و

(۳) برای هر  $i \leq t$ ، یک  $\{x_i\} \in A_i$  وجود داشته باشد که  $\{a_i, x_i\} \in A_i$  آن‌گاه یک  $b$ -رنگ آمیزی برای گراف  $K(n, 2)$  است.

برهان. در رنگ آمیزی معتبر با خاصیت‌های (۱)، (۲) و (۳)، در هر کلاس رنگی راس‌های  $b$ -احاطه‌گر به صورت زیر وجود دارد. در کلاس‌های ستاره‌ای  $A_i$ ،  $i \leq t$ ، راس  $\{a_i, x_i\}$  یک راس  $b$ -احاطه‌گر است زیرا طبق (۱) در هر کلاس  $A_j$  یک  $\{a_j, y\}$  وجود دارد که  $y \neq a_i, x_i$ . هم‌چنین هر کلاس مثلثی طبق لم ۲-۵-۲ یک مجموعه احاطه‌گر است، بنابراین راس  $\{a_i, y\}$  در هر کلاس مثلثی دارای همسایه است. از طرفی برای هر کلاس رنگی مثلثی  $\{a, b, c\}$  طبق (۳)،  $|\{a, b, c\} \cap \{a_1, a_2, \dots, a_t\}| \leq 1$ ، در نتیجه حداقل دو عضو در این مجموعه مثلًا  $b, a$  وجود دارد که  $a, b \notin \{a_1, a_2, \dots, a_t\}$ . از این‌رو با توجه به (۱) راس  $\{a, b\}$  در همه کلاس‌های رنگی همسایه دارد. در ضمن بنا به لم ۲-۵-۲ کلاس‌های مثلثی احاطه‌گر هستند. لذا راس  $\{a, b\}$  یک راس  $b$ -احاطه‌گر است و این رنگ آمیزی یک  $b$ -رنگ آمیزی می‌باشد.

قضیه ۵-۲-۶ برای هر صحیح مثبت  $n$ ، داریم:

$$\varphi(K(n, 2)) = \begin{cases} \frac{n(n-2)}{4} + 3 & n = 6k, \\ \frac{n(n-1)}{4} & n = 6k+1, n = 6k+3, \\ \frac{n(n-2)+2}{4} + 3 & n = 6k+2, n = 6k+4, \\ \frac{n(n-1)}{4} - \frac{1}{3} & n = 6k+5. \end{cases}$$

برهان. قضیه را برای دو حالت  $n$  زوج و فرد اثبات می‌کنیم.

حالت ۱.  $n$  زوج است.

ابتدا یک کران بالا برای  $\varphi(K(n, 2))$  ارایه می‌دهیم. فرض کنید  $c$  یک  $b$ -رنگ آمیزی برای  $K(n, 2)$  با  $\varphi = c$  رنگ باشد و در این  $b$ -رنگ آمیزی  $t$  کلاس رنگی ستاره‌ای به مرکز  $i$  با  $n_i$  راس،  $1 \leq i \leq t$  وجود داشته باشد. بنابراین داریم:

$$|S(K(n, 2))| = \binom{n}{2} = \sum_{i=1}^t n_i + 3(\varphi - t).$$

با توجه به تذکر ۲ رنگ آمیزی  $c$  معادل با افزایشات  $K_n$  به ستاره‌ها و مثلث‌ها است. با توجه به این که درجه هر راس در  $K_n$  برای  $n$  زوج، فرد است و در هر مثلث از هر راس  $K_n$ ، صفر یا دو یال مصرف می‌شود، برای هر  $1 \leq i \leq n-t$ ، یک راس شامل  $i$  در کلاس‌های ۱ تا  $t$  (کلاس‌های ستاره‌ای) وجود دارد. از طرف دیگر بنا به لم ۵-۲-۴، هر زیرمجموعه دو عضوی از مجموعه  $\{1, 2, \dots, t\}$  نیز در  $t$  کلاس ستاره‌ای هستند. در نتیجه

$$\sum_{i=1}^t n_i \geq (n-t) + \frac{t(t-1)}{2} = n + \frac{t(t-3)}{2}.$$

بنابراین

$$\binom{n}{2} \geq n + \frac{t(t-9)}{2} + 3\varphi.$$

پس

$$\varphi \leq \frac{n(n-2)}{6} - \frac{t(t-9)}{6}.$$

از آنجا که می‌نیمم  $t(t-9) \leq 4$  در  $t=4$  اتفاق می‌افتد، داریم:

$$\varphi \leq \frac{n(n-2)}{6} + \frac{10}{3}.$$

حال به یافتن کران پایین می پردازیم.

حالت ۱.۱.  $n = 6k$

ابتدا یک  $(3 - 2k)STS$  با ساختار بوس را در نظر می گیریم. در این ساختار توجه کنید که  $1 - 2k$  مثلث نوع (۱) راس مجزا هستند. مثلث های نوع (۱) را با  $\{a_1, b_1, c_1\}, \{a_2, b_2, c_2\}, \dots, \{a_{2k-1}, b_{2k-1}, c_{2k-1}\}$  داریم. طرح یک تجزیه از یال های  $K_n$  به  $\frac{(n-3)(n-4)}{6}$  مثلث است. حال سه راس نشان می دهیم. بنا به تذکر ۲، این طرح یک تجزیه از یال های  $K_n$  است. حال سه راس جدید  $a, b, c$  را اضافه کرده و یک  $b$ -رنگ آمیزی با  $\varphi = \frac{n(n-3)}{6} + 3$  یا به طور معادل یک تجزیه از یال های  $K_n$  به  $\varphi$  مثلث و ستاره ارایه می دهیم.

هر مثلث از نوع (۲) را یک کلاس رنگی در نظر می گیریم. سایر کلاس ها را نیز به این صورت تعریف می کنیم. کلاس  $a$  شامل  $\{a, c_1\}, \{a, c_2\}, \dots, \{a, c_{2n-1}\}, \{a, b\}$ ، کلاس  $b$  شامل  $\{a, b_1\}, \{a, b_2\}, \dots, \{a, b_{2n-1}\}$  و کلاس  $c$  شامل  $\{c, a_1\}, \{c, a_2\}, \dots, \{c, a_{2n-1}\}, \{c, b\}$ . همچنین  $1 \leq i \leq 2k-3$  کلاس رنگی مثلثی به صورت  $\{a, a_i, b_i\}, \{b, b_i, c_i\}, \{c, c_i, a_i\}$  برای  $i$  تعریف می کنیم.

تعداد کلاس های رنگی معرفی شده عبارت است از

$$\varphi = \frac{(n-3)(n-4)}{6} - \frac{2n-6}{6} + 3 + 3 \frac{2n-6}{6} = \frac{n(n-3)}{6} + 3.$$

با توجه به این که تنها سه کلاس ستاره ای داریم به راحتی می بینیم که این رنگ آمیزی شرایط لم ۵-۲-۵ را برآورده می کند ولذا یک  $b$ -رنگ آمیزی است.

حالت ۲.۱.  $n = 6k+2$ ،  $(k \geq 2)$

ابتدا یک  $(1 - n)STS$  با ساختار بوس یا اسکولم و سه مثلث مجزا  $\{b_1, b_2, b_3\}, \{a_1, a_2, a_3\}$  و  $\{c_1, c_2, c_3\}$  به طوری که  $\{a_1, b_1, c_1\}$  مثلث باشد را در نظر می گیریم. یک راس جدید  $d$  اضافه کرده و یک  $b$ -رنگ آمیزی با  $\varphi = \frac{n(n-3)+2}{6}$  به صورت زیر ارایه می دهیم.

هر مثلث در  $(1 - n)STS$  را به جز چهار مثلث  $\{c_1, c_2, c_3\}, \{b_1, b_2, b_3\}, \{a_1, a_2, a_3\}$  و  $\{a_1, b_1, c_1\}$  را یک کلاس رنگی در نظر می گیریم. علاوه بر این کلاس  $a$  را شامل راس های  $\{b_1, b_2\}, \{b_1, b_3\}, \{b_2, b_3\}, \{b_1, d\}, \{b_2, c_1\}$ ، کلاس  $b$  را شامل راس های  $\{a_1, a_2\}, \{a_1, a_3\}, \{a_2, a_3\}, \{a_1, d\}, \{a_2, c_1\}$ ، کلاس  $c$  را شامل راس های  $\{c_1, c_2\}, \{c_1, c_3\}, \{c_2, c_3\}, \{c_1, d\}, \{c_2, a_1\}$  و کلاس  $d$  را شامل راس های  $\{d, x\}$  تعریف می کنیم.  $1 \leq i \leq 3$  و سه کلاس دیگر مثلث های  $\{b_2, b_3, d\}, \{c_2, c_3, d\}$  و  $\{a_2, a_3, d\}$  و  $x \neq a_i, b_i, c_i$  تعداد این کلاس ها برابر است با

$$\varphi = \frac{(n-1)(n-2)}{6} - 4 + 4 + 3 = \frac{n(n-3)}{6} + \frac{10}{3}.$$

با توجه به این که تنها چهار کلاس ستاره ای داریم به راحتی می بینیم که این رنگ آمیزی شرایط لم ۵-۲-۵ را برآورده می کند ولذا یک  $b$ -رنگ آمیزی است.

حالت ۲.  $n$  فرد است.

ابتدا یک کران بالا برای  $|V(K(n, 2))|$  ارایه می‌دهیم. فرض کنید  $c$  یک  $b$ -رنگ آمیزی برای  $K(n, 2)$  باشد و در این  $b$ -رنگ آمیزی  $t$  کلاس رنگی ستاره‌ای به مرکز  $i$  با  $n_i$  راس،  $1 \leq i \leq t$ ، وجود داشته باشد. بنابراین داریم:

$$|V(K(n, 2))| = \binom{n}{2} = \sum_{i=1}^t n_i + 2(\varphi - t).$$

با به لم ۴-۲-۵، هر زیرمجموعه دو عضوی از مجموعه  $\{1, 2, \dots, t\}$  نیز در  $t$  کلاس ستاره‌ای هستند، همچنین در کلاس  $i$  یک راس  $b$ -احاطه‌گر مانند  $\{i, x\}, \{i, y\}, \{x, y\}$  وجود دارد. در نتیجه

$$\sum_{i=1}^t n_i \geq \frac{t(t-1)}{2} + t = \frac{t(t+1)}{2}.$$

بنابراین

$$\binom{n}{2} = \sum_{i=1}^t n_i + 2(\varphi - t) \geq 2\varphi + \frac{t(t+1)}{2} - 2t = 2\varphi + \frac{t(t-5)}{2}.$$

پس

$$\varphi \leq \frac{n(n-1)}{6} - \frac{t(t-5)}{2}.$$

عبارت  $t(t-5) \leq 2$  و  $t=3$  ماقزبم می‌شود، در نتیجه

$$\varphi \leq \frac{n(n-1)}{6} + 1.$$

حال ثابت می‌کنیم  $\frac{n(n-1)}{6} \leq \varphi$ . فرض کنید  $1 = \frac{n(n-1)}{6} + 1 < \varphi$ ، پس  $t=2$  یا  $t=3$ . از آنجا که درجه راس‌های  $K_n$  زوج است و در هر مثلث از هر راس  $K_n$  صفر یا دو یال مصرف می‌شود، هر راس  $K_n$  تعداد زوج یال در کلاس‌های رنگی ستاره‌ای دارد. اگر  $t=3$  آن‌گاه یال‌های  $\{1, 2\}, \{1, 3\}$  و  $\{2, 3\}$  در کلاس‌های ۱، ۲ و ۳ هستند. بنابراین راس  $i$ ،  $1 \leq i \leq 3$ ، به حداقل دو راس غیر از  $\{1, 2, 3\}$  مجاور است و این یال‌ها در کلاس  $i$  قرار دارند. در نتیجه  $\sum_{i=1}^3 n_i \geq 3 + 2 \times 3 = 9 = 3\varphi = 3(\varphi - 3) + 9 \geq 9 + 3(\varphi - 3)$  و در نتیجه  $\varphi \leq \frac{n(n-1)}{6}$ . اگر  $t=2$  آن‌گاه فرض کنید کلاس ۱ شامل راس‌های  $\{1, 2\}$  و  $\{1, 3\}$  باشند. از آنجا که یال‌های واقع بر راس ۳ در کلاس‌های ۱ و ۲ زوج هستند، کلاس ۲ شامل راس  $\{2, 3\}$  است که با  $\{1, 2\}$  و  $\{1, 3\}$  مجاور نیست. کلاس‌های ۱ و ۲ شامل حداقل یک یال دیگر هستند و یال‌های واقع بر ۱ و یال‌های

واقع بر ۲ در کلاس‌های ۱ و ۲ زوج هستند، پس راس‌های ۱ و ۲ هر کدام حداقل به سه راس دیگر غیر از  $\{1, 2\}$  مجاور است و آن بال در کلاس‌های ۱ و ۲ است. در نتیجه  $7 = 1 + 2 \times 3 = \sum_{i=1}^2 n_i$  و

$$\binom{n}{2} \geq 7 + 2(\varphi - 2) = 2\varphi + 1.$$

پس

$$\varphi \leq \frac{n(n-1)}{4}.$$

حال یک کران بالا برای  $(K(n, 2), \varphi)$  ارایه می‌دهیم. اگر  $n \equiv 1, 3 \pmod{6}$  آن‌گاه  $STS(n)$  وجود دارد، پس بنا به نتیجه ۵-۲-۳ یک b-رنگ آمیزی با  $\frac{n(n-1)}{4}$  وجود دارد.

اگر  $n \equiv 5 \pmod{6}$  آن‌گاه بنا به ساختار  $5k + 5$ ، یک  $PBD$  با یک بلوک از اندازه ۵ مانند  $\{1, 2, 3, 4, 5\}$  و سایر بلوک‌ها که تعداد آن‌ها  $= \frac{n(n-1)}{4} - \frac{10}{3}$  است، از اندازه ۳ وجود دارد. هر بلوک از اندازه ۳ را به عنوان یک کلاس رنگی در نظر می‌گیریم و کلاس‌های دیگر را به صورت  $\{\{1, 2\}, \{1, 3\}, \{1, 4\}, \{1, 5\}\}$  تعریف می‌کنیم.

بنابراین

$$\varphi \geq \frac{n(n-1)}{4} - \frac{10}{3} + 3 = \frac{n(n-1)}{4} - \frac{1}{3}.$$

■

با توجه به این که گراف پترسن  $K(5, 2)$  همان  $(5, 2)$  است، نتیجه زیر از قضیه ۵-۲-۶ ناشی می‌شود.

نتیجه ۵-۲-۷ اگر  $P$  گراف پترسن باشد، آن‌گاه  $\varphi(P) = 3$ .

### ۳-۵ b-پیوستگی گراف‌های کنسر

در این بخش ثابت می‌کنیم که گراف‌های کنسر  $(K(n, 2), b)$  پیوسته هستند.

لم ۱-۳-۵

Peterson<sup>r</sup>

الف) فرض کنید  $1 \leq n = 6k + 6$  یا  $n = 6k + 3$  باشد.  $b$ -رنگ آمیزی متناظر با این  $STS(n, S, B)$  یک  $\varphi$  را در نظر می‌گیریم. اگر  $\{1, 2, \dots, n\} \subseteq H \subseteq S$  در شرایط زیر صدق کند:

$$1) |H| = m \geq 4 \text{ و } H \text{ شامل } t \text{ کلاس رنگی به شکل مثلث باشد،}$$

۲) به ازای هر  $i \in H$ , یک  $j \in H$  موجود باشد که مثلث حاوی  $\{i, j\}$  به طور کامل مشمول در  $H$  نباشد.  
آن‌گاه یک  $b$ -رنگ آمیزی برای  $K(n, 2)$  با  $(\frac{m(m-3)}{2} - 2t) - \varphi$  رنگ وجود دارد.

ب) فرض کنید  $5 \leq n = 6k + 5$  و  $PBD(n, S, B)$  یک  $\varphi$  عضوی  $\{1, 2, \dots, n-1, n, n-1, n-2\}$  باشد.  
 $b$ -رنگ آمیزی متناظر با این  $PBD$  ارایه شده در اثبات قضیه ۵-۶-۲ با  $\frac{n(n-1)}{2} - \varphi$  رنگ را در نظر می‌گیریم به طوری که راس‌های ۱ و ۲ راس‌های مرکزی در کلاس‌های مرکزی باشند. اگر  $H \subseteq S = \{1, 2, \dots, n\}$  در شرایط زیر صدق کند:

$$1) |H| = m \geq 4 \text{ و } H \text{ شامل } t \text{ کلاس رنگی به شکل مثلث باشد،}$$

۲) به ازای هر  $i \in H$ ,  $j \in H$  موجود باشد که مثلث حاوی  $\{i, j\}$  به طور کامل مشمول در  $H$  نباشد و

$$. n, n-1, n-2 \notin H \quad 3) \{1, 2\} \subset H$$

آن‌گاه یک  $b$ -رنگ آمیزی برای  $K(n, 2)$  با  $(\frac{m(m-3)}{2} - 2t) + 1 - \varphi$  رنگ وجود دارد.

برهان. همه کلاس‌های مثلث‌هایی که شامل یک راس  $\{i, j\}$  هستند که  $\{i, j\} \subseteq H$  را منحل می‌کنیم.

الف) چون هر راس  $\{i, j\} \subseteq H$  در یک مثلث قرار داشته و مثلث به طور کامل درون  $H$  قرار دارند، تعداد کلاس‌های مثلثی منحل شده برابر  $(\frac{m(m-1)}{2} - 2t + t) = \frac{m(m-1)}{2}$  است. حال فرض می‌کنیم  $\{1, 2, \dots, m\}$  و  $m$  کلاس جدید به صورت زیر تشکیل می‌دهیم: کلاس جدید ۲  $\leq i \leq m-3$  را شامل راس‌های  $\{i, j\}$  با  $1 \leq j \leq m$  قرار دهید و کلاس‌های ۱، ۲،  $m-1$  و  $m$  را به ترتیب شامل راس‌های  $\{j, m\}$  با  $2 \leq j \leq m-1$  و  $\{m-1, m\}$  با  $3 \leq j \leq m-2$  قرار دهید. همچنین اگر یک راس  $\{i, x\}$  برای  $i \in H$  و  $x \notin H$  در یکی از مثلث‌های منحل شده باشد، این راس را در کلاس  $n$  قرار دهید. کلاس‌های جدید ۱ تا  $m$  همراه با کلاس‌های قدیمی منحل نشده یک  $b$ -رنگ آمیزی معتبر جدید به دست می‌دهد که تعداد کلاس‌های رنگی آن  $(\frac{m(m-1)}{2} - 2t) + m - \varphi$  است.

ب) چون هر راس  $\{i, j\} \subseteq H$  به جز  $\{1, 2\}$  در یک مثلث قرار داشته و مثلث به طور کامل درون  $H$  قرار دارند، تعداد کلاس‌های مثلثی منحل شده برابر  $(\frac{m(m-1)}{2} - 1 - 3t + t) = \frac{m(m-1)}{2}$  است. حال فرض کنید  $H = \{1, 2, \dots, m\}$  و  $m-2$  کلاس جدید به صورت زیر تشکیل می‌دهیم:

کلاس جدید  $i \leq j \leq m$  را شامل راس‌های  $\{i, 1\}, \{i, 2\}$  و  $\{i, j\}$  باشد. همچنین اگر یک راس  $x$  برای  $i \in H$  و  $x \notin H$  در یکی از مثلث‌های منحل شده باشد، این راس را در کلاس  $n$  قرار دهید. کلاس‌های جدید ۳ تا  $m$  همراه با کلاس‌های قدیمی مثلثی منحل نشده و دو کلاس قدیمی مرکزی یک رنگ آمیزی معتبر جدید به دست می‌دهد که تعداد کلاس‌های رنگی آن  $\varphi = (\frac{m(m-1)}{4} - 1 - 2t) + m - 2$  است.

با توجه به شرایط موجود برای مجموعه  $H$  در صورت  $l_m$ ، رنگ آمیزی‌های ارایه شده در (الف) و (ب) شرایط  $l_m - 5 - 2 - 5$  را برآورده کرده ولذا  $b$ -رنگ آمیزی هستند. ■

**لم ۵-۲-۳** اگر  $n$  یک عدد فرد بزرگتر یا مساوی ۱۳ باشد و  $\lceil \frac{n}{3} \rceil = k$ . آن‌گاه برای هر عدد صحیح فرد  $5 \leq m \leq k+4$  و  $0 \leq t \leq \frac{3(m-1)}{2}$  به جز  $(m, t) = (5, 2), (7, 5)$  یک  $b$ -رنگ آمیزی با  $\varphi$  رنگ برای  $K(n, 2)$  و یک مجموعه  $H$ ،  $m$  عضوی شامل  $t$  مثلث موجود است که شرایط  $l_m - 5 - 2 - 5$  را برآورده می‌کند.

برهان. برای  $3 \leq l = 6k + 5$  یا  $n = 6k + 1$  و برای  $1 \leq l = 2k + 1$  قرار دهید. آن‌گاه  $l = 2k + 1$  و برای  $1 \leq l = 6k + 5$  قرار دهید. بسته به هریک از موارد فوق یک  $STS(n)$  یا یک  $PBD(n)$  طبق ساختارهای بوس، اسکولم یا  $6$  ساخته شده توسط شبه‌گروه‌های مثال  $1-5-2$  را در نظر گرفته و  $b$ -رنگ آمیزی منتظر با هر کدام را مطابق اثبات مندرج در قضیه  $5-2-6$  در نظر بگیرید. توجه کنید که در حالت  $5 \leq n = 6k + 5$ ، راس‌های مرکزی در دو کلاس مرکزی را راس‌های  $\{1, l\}$  و  $\{2, l\}$  قرار دهید. فرض کنید  $4 \leq m \leq k+5$ ، در این صورت:

الف) اگر  $0 \leq t \leq \frac{m-5}{2}$  آن‌گاه قرار دهید:

$$H = \{(l, 1), (i, 1), (l-i, 1); 1 \leq i \leq t, (j, 1); t+1 \leq j \leq m-4-t, \\ (\sigma(l), 2), (1, 3), (\sigma^{-1}(k+1)-1, 3)\}.$$

ب)  $\frac{m-5}{2} < t < m-5$  آن‌گاه قرار دهید:

$$H = \{(l, 1), (i, 1), (l-i, 1); 1 \leq i \leq \frac{m-5}{2}, \\ (\sigma(l), 2), (\sigma((2(m-5-t)), 2), (\sigma(m-5), 2), (\sigma(2l-m-5), 2)\}.$$

ج) اگر  $3(\frac{m-5}{2}) \leq t \leq m-5$  آنگاه قرار دهید:

$$H = \{(l, 1), (i, 1), (l-i, 1); 1 \leq i \leq \frac{m-5}{2}, \\ (\sigma(l), 2), (\sigma(1), 2), (\sigma(3(m-5)-2t), 2), (\sigma(2l-m-5), 2)\}.$$

د) اگر  $10 < 2m - 10 \leq t \leq 3(\frac{m-5}{2})$  آنگاه قرار دهید:

$$H = \{(l, 1), (i, 1), (l-i, 1); 1 \leq i \leq \frac{m-5}{2}, \\ (\sigma(l), 2), (\sigma(1), 2), (\sigma(l-1), 2), (\sigma(4(m-5)-2t), 2)\}.$$

مجموعه‌های  $H$  تعریف شده در بالا در شرایط لم ۱-۳-۵ صدق می‌کند. همچنین اگر  $11 \geq m \geq 2m - 11 \geq \frac{3m-11}{2}$  بنا براین برای هر  $0 \leq t \leq m \leq k+4$  و یک مجموعه  $H$  صادق در شرایط لم ۱-۳-۵ وجود دارد. همچنین طبق ساختار بالا، برای  $(m, t) = (m=9, 0 \leq t \leq 7)$ ، چنین مجموعه  $H$  ای وجود دارد. برای  $(m, t) = (m=5, 0 \leq t \leq 1)$ ،  $(m, t) = (m=7, 0 \leq t \leq 3)$  وجود دارد. برای  $(m, t) = (7, 4)$  مجموعه  $H$  به صورت  $\{(1, 1), (l-1, 1), (2, 1), (l, 1), (\sigma(l), 2), (\sigma(1), 2), (\sigma(l-1), 2)\}$  است. اثبات وجود  $(m, t) = (8, 8)$  از وجود  $(9, 8)$  است. نتیجه می‌شود که این مطلب در قضیه بعد اثبات شده است. ■

لم ۳-۳-۵ اگر  $n$  یک عدد فرد بزرگتر یا مساوی ۱۳ باشد و  $\lceil \frac{n}{2} \rceil = k$ ، آنگاه برای هر عدد صحیح زوج  $4 \leq m \leq k+4$  و  $0 \leq t \leq m-4$ ، یک  $b$ -رنگ آمیزی با  $\varphi$  رنگ برای  $K(n, 2)$  و یک مجموعه  $H$  عضوی شامل  $t$  مثلث موجود است که شرایط لم ۱-۳-۵ را برآورده می‌کند. همچنین اگر  $19 \geq n \geq 6k+5$  آنگاه برای  $(m, t) = (6, 4), (8, 8)$  چنین مجموعه  $H$  ای وجود دارد.

برهان.  $b$ -رنگ آمیزی‌ها را همان  $b$ -رنگ آمیزی‌های اثبات لم ۱-۳-۵ در نظر گرفته و قرار می‌دهیم.  
 $.l = 2k$

الف) اگر  $0 \leq t \leq \frac{m-4}{2}$  آنگاه قرار دهید:

$$H = \{(l, 1), (i, 1), (l-i, 1); 1 \leq i \leq t, (j, 1); t+1 \leq j \leq m-3-t, \\ (\sigma(l), 2), (\sigma(2t), 2)\}.$$

ب) اگر  $\frac{m-4}{2} < t < m - 4$ , آنگاه قرار دهید:

$$H = \{ (l, \mathbb{1}), (i, \mathbb{1}), (l-i, \mathbb{1}); \mathbb{1} \leq i \leq \frac{m-\mathfrak{r}}{\mathfrak{r}}, \\ (\sigma(l), \mathfrak{r}), (\sigma(\mathfrak{r}m - \lambda - \mathfrak{r}t), \mathfrak{r}), (\sigma(m - \mathfrak{r}), \mathfrak{r}) \}.$$

ج) اگر  $t = m - 4$  آنگاه قرار دهید:

$$H = \{(l, 1), (i, 1), (l-i, 1); 1 \leq i \leq \frac{m-\mathfrak{k}}{\gamma}, \\ (\sigma(l), \mathfrak{k}), (\sigma(1), \mathfrak{k}), (\sigma(m-\mathfrak{k}), \mathfrak{k})\}.$$

اثبات وجود  $(m, t) = (6, 4), (8, 8)$  با استفاده از ساختار شبکه‌گروه با حفره‌ها:

فرض کنید  $1 \leq n = 6k + 3$  یا  $n = 6k + 1$  با  $h = \{1, 2, \dots, 6k-1, 2k\}$  معرفی شده در گزاره ۵-۱-۴ باشد. (S, B) را یک  $STS(n)$  به دست آمده از این شبکه‌گروه با حفره مندرج در بخش ۵-۱ در نظر بگیرید. حال  $b$ -رنگ آمیزی متناظر با این  $STS(n)$  را برای گراف  $K(n, 2)$  با  $\frac{n(n-1)}{6}$  رنگ در نظر می‌گیریم. همان‌گونه که در گزاره ۵-۱-۴ آمده است، سه عدد متمایز  $2k \leq i, j, l \leq n$  وجود دارد به طوری که  $i \circ l = j$  و  $i \circ j = l$ . حال قرار می‌دهیم  $S = \{(i, 1), (j, 1), (l, 1), (j, 2), (l, 2), (l, 3), \infty_1\}$  که در  $(S, B)$  مندرج در ساختار شبکه‌گروه با حفره  $\{\infty_1, (l, 1), (l, 2), (j, 1), (j, 2)\}$  هر کدام یک مثلث باشند. در این صورت مجموعه  $S$  علاوه بر این دو مثلث حاوی مثلث‌های  $\{(i, 1), (j, 1), (l, 1)\}$  و  $\{(i, 1), (j, 1), (l, 2)\}$  نیز هست. بنابراین پارامتر  $(4, 1, m, t) = (4, 1, 6k+3)$  به دست می‌آید.

قضیه ۵-۳-۴ گراف کنسر  $K_{(n, 2)}$  برای  $n \geq 16$ ،  $b$ -پیوسته است.

برهان. قضیه را ابتدا برای  $n$  های فرد و با استقرار ثابت می کنیم. فرض کنید  $n$  یک عدد فرد و گراف  $K(n-2, 2)$  یک گراف  $b$ -پیوسته باشد. بنابراین برای هر عدد  $\lfloor \frac{(n-2)(n-3)}{4} \rfloor \leq x \leq n-4$  یک  $b$ -رنگ آمیزی با  $x$  رنگ وجود دارد. یک  $b$ -رنگ آمیزی از گراف  $(2, 2, K(n-2, 2))$  با  $x$  رنگ در نظر گرفته و آن را به یک  $b$ -رنگ آمیزی از گراف  $(2, 2, K(n, 2))$  با  $x+2$  رنگ تبدیل می کنیم. برای این کار دو کلاس رنگی جدید  $\{1\} \leq i \leq n-1$  و  $\{n, i\} : 1 \leq i \leq n-2$  را اضافه می کنیم. این رنگ آمیزی در شرایط  $5-2-5$  صدق می کند، لذا یک  $b$ -رنگ آمیزی است. بنابراین برای  $b$ -پیوسته بودن گراف  $(2, 2, K(n, 2))$  کافی است ثابت کنیم برای هر  $\varphi = \lfloor \frac{n(n-1)}{4} \rfloor \leq x \leq \lfloor \frac{n(n-1)}{4} + 3 \rfloor$  یک  $b$ -رنگ آمیزی از  $(2, 2, K(n, 2))$  با  $x$  رنگ وجود دارد. قرار دهید  $3 - \lfloor \frac{n(n-1)}{4} \rfloor - \lfloor \frac{n(n-3)}{4} \rfloor = \psi$ ، درنتیجه برای  $\lfloor \frac{n}{4} \rfloor = k$  داریم  $1 \leq \psi \leq 4k-4$ . ادعای ثابت می کنیم برای هر  $\psi \leq x \leq 1$ ، یک  $b$ -رنگ آمیزی با  $x$  رنگ وجود دارد. مجموعه  $A$  را مجموعه همه اعداد طبیعی  $x$  قرار دهید که اعداد  $m$  و  $t$  و یک مجموعه  $S \subseteq \{1, 2, \dots, n\}$  وجود دارد که در شرایط  $1-3-5$  صدق کند و  $x = \frac{m(m-3)}{2} - 2t$ .

حالت ۱.  $n = 6k+1$  یا  $n = 6k+3$

برای اثبات ادعا، طبق  $1-3-5$  (الف) کافی است ثابت کنیم، برای هر  $\psi \leq x \leq 1$ ،  $x \in A$ . طبق  $5-3-3$  یک مجموعه  $S$  با پارامترهای  $(6, 4)$  و  $(8, 8)$  وجود دارد. بنابراین  $1, 4 \in A$  همچنین طبق  $1-3-2$  برای هر عدد فرد  $m$ ،  $4 \leq m \leq k+5$ ، داریم:

$$\frac{m(m-3)}{2}, \frac{m(m-3)}{2} - 2, \dots, \frac{m(m-3)}{2} - (3m-1) = \frac{(m-3)(m-6)}{2} + 2 \in A.$$

طبق  $1-3-5$  به ازای هر عدد زوج  $m$ ،  $4 \leq m \leq k+6$ ، داریم:

$$\frac{m(m-3)}{2}, \frac{m(m-3)}{2} - 2, \dots, \frac{m(m-3)}{2} - 2 \frac{m-4}{2} = \frac{(m-1)(m-4)}{2} + 2 \in A.$$

بنابراین برای هر عدد  $4 \leq m \leq k+5$  کلیه اعداد  $1$  تا  $\frac{m(m-3)}{2}$  که زوجیت آنها با  $\frac{m(m-3)}{2}$  یکسان است، عضوی از  $A$  هستند. درنتیجه  $\frac{(k+4)(k+1)}{4} \in A$ . اما همواره  $\psi \geq 4k-1 \geq \frac{(k+4)(k+1)}{4}$ .

حالت ۲.  $n = 6k+5$

در این حالت برای اثبات ادعا، طبق  $1-3-5$  (ب)، ابتدا ثابت می کنیم برای هر  $1 \leq x \leq \psi - 1$  به جز  $4 \in A$ ، همه مطالب گفته شده در حالت اول اینجا نیز صادق است مگر برای مجموعه  $S$  با پارامترهای  $(6, 4), (8, 8)$ . بنابراین طبق آنچه گفته شد  $A \subseteq \{4\} - \{4\} = \{2, 3, \dots, \frac{(k+4)(k+1)}{2}\}$ . از طرفی به راحتی مجموعه  $S$  با پارامترهای  $(1, 4, 0)$  صادق در شرایط  $1-3-5$  است. پس  $x = 2, 5 \in A$  و چون  $1 \leq x \leq \psi - 1 \geq \frac{(m+4)(m+1)}{4}$  طبق  $1-3-5$  (ب) برای هر  $\psi \leq x \leq 1$ ، به جز  $5$  یک  $b$ -رنگ آمیزی برای گراف  $(2, 2, K(n, 2))$  با  $x$  رنگ وجود دارد. برای کامل شدن این حالت یک  $b$ -رنگ آمیزی

با  $\varphi$  و  $5 - \varphi$  ارایه می‌دهیم. ابتدا یک  $PBD(n)$  با یک بلوک ۵ عضوی به نام  $F = \{a, b, c, d, e\}$  در نظر بگیرید و از روی آن یک  $b$ -رنگ آمیزی با  $\varphi$  رنگ بسازید که راس‌های مرکزی در آن  $a$  و  $b$  باشند. فرض کنید  $f, g \notin F$  و  $\{b, f, g\} \notin PBD(n)$  باشد. حال قرار می‌دهیم  $S = \{a, b, c, f, g\}$  و همه مثلث‌هایی که حداقل دو راس در  $S$  دارند را منحل می‌کنیم و سه کلاس جدید ایجاد می‌کنیم. فرض کنید کلاس‌های منحل شده  $\{c_1, c_2, c_3, c_4\}$  باشند. سه کلاس  $c_1 = \{f, a\}, c_2 = \{f, b\}, c_3 = \{f, g\}, c_4 = \{f, x_1\}, c_5 = \{a, g, x_2\}, c_6 = \{a, f, x_3\}, c_7 = \{a, g, x_4\}$  و  $c_8 = \{a, x_5\}$  جدید را به صورت  $\{c_1, c_2, c_3, c_4, c_5, c_6, c_7, c_8\}$  داشت. اضافه می‌کنیم. در این صورت یک  $b$ -رنگ آمیزی جدید با ۵ کلاس مرکزی و  $2 - \varphi$  رنگ به دست می‌آوریم. حال فرض کنید  $\{f, g, h\} \notin F$  و  $\{b, g, h\} \in PBD(n)$  باشد. قرار می‌دهیم  $S = \{a, b, c, d, f, g, h\}$  و همه مثلث‌هایی که حداقل دو راس در  $S$  را منحل کرده و ۵ کلاس جدید ایجاد می‌کنیم. دقیقاً ۱۰ مثلث منحل شده و ۵ کلاس مرکزی  $c, f, g, h, d$  اضافه می‌شود. لذا یک  $b$ -رنگ آمیزی با  $5 - \varphi$  خواهیم داشت.

تا اینجا ثابت کردیم برای هر عدد فرد  $n \geq 17$  گراف  $K(n, 2)$ -پیوسته است. حال فرض کنید  $n \geq 16$  یک عدد زوج باشد. در این صورت گراف  $K(n - 1, 2)$ -پیوسته است. بنابراین برای هر  $x \leq n - 3$  یک  $b$ -رنگ آمیزی برای  $K(n - 1, 2)$  با  $x$  رنگ وجود دارد. حال یک راس جدید  $y$  اضافه کرده و یک کلاس جدید  $\{n, i\}$  به این  $b$ -رنگ آمیزی اضافه می‌کنیم. حاصل یک  $b$ -رنگ آمیزی برای  $K(n, 2)$  با  $x + 1$  رنگ است. بنابراین برای هر  $n - 2 \leq y \leq n - 1$  یک  $b$ -رنگ آمیزی برای  $K(n, 2)$  با  $y$  رنگ وجود دارد. درنتیجه برای اثبات  $b$ -پیوسته بودن گراف  $K(n, 2)$  کافی است یک  $b$ -رنگ آمیزی با  $2 + \lfloor \frac{n-1)(n-2)}{2} \rfloor - 1 = 1 - \varphi$  ارایه دهیم. برای این کار  $b$ -رنگ آمیزی مندرج در اثبات قضیه ۵-۶ را در نظر بگیرید و دو مثلث  $\{a, b_1, c_1\}$  و  $\{b, a_1, b_1\}$  را منحل کنید. یک کلاس جدید مرکزی  $\{b_1, a_1\}$  را اضافه کنید و راس  $\{a, c_1\}$  را به کلاس مرکزی  $a$ ، راس  $\{b, a_1\}$  را به کلاس مرکزی  $b$  منتقل کنید. حاصل یک  $b$ -رنگ آمیزی با  $1 - \varphi$  رنگ است. ■

# واژه‌نامه

## فارسی به انگلیسی

configuration	آرایش
transition probability	احتمال انتقال
score	امتیاز
alphabet	الفبا
contraction	انقباض
reccurent configuration	بازگشتی، آرایش –
legal game	بازی قانونی
critical configuration	بحرانی، آرایش –
reduced vector	بردار تقلیل یافته
period vector	بردار تناوب
primitive period vector	بردار تناوب اولیه
antimatroid	پادمتروید
stable configuration	پایدار، آرایش –
basis	پایه
bridge	پل

## ۵. واژه‌نامه فارسی به انگلیسی

$b$ -continuous	$b$ -پیوسته
prefix	پیشوند
irreducible	تحویل ناپذیر
stationary distribution	توزیع ایستا
extension	توسیع
permutable	جایگشتپذیر
probabilistic abacus	چرتکه احتمالاتی
Tutte polynomial	چندجمله‌ای تات
cartesian product	حاصل‌ضرب دکارتی
strong exchange property	خاصیت تبدیل قوی
greedoid exchange property	خاصیت تبدیل گریدوید
critical sequence	دبالة بحرانی
legal sequence	دبالة قانونی
ready vertex	راس آماده
$b$ -dominating vertex	راس $b$ -احاطه‌گر
rank	رتبه
$b$ -chromatic number	$b$ -رنگ آمیزی
legal coloring	رنگ آمیزی معتبر

partial –

–جزیی

language

زبان

simple –

–ساده

access time

زمان دسترسی

Markov chain

زنجیر مارکوف

subword

زیر کلمه

configuration's level

سطح آرایش

 $b$ -dominating systemسیستم  $b$ -احاطه‌گر

system of distinct representatives

سیستم نمایندگی مجزا

quasi-group

شبہ گروه

–with holes

–با حفره

idempotent –

خودتوان

commutative –

متقارن

half-idempotent –

نیمه خودتوان

spectral radius

شعاع طیفی

fire

شلیک

steiner system

طرح اشتاینر

steiner triple system

طرح سه‌تایی اشتاینر

pairwise balanced design

طرح متعادل دوگانه

loop

طوقه

tree number

عدد درختی

chromatic number

عدد رنگی

$b$ -chromatic number عدد  $b$ -رنگی  
 elementry row operation عمل سطری مقدماتی

invariant factors فاکتورهای ناوردا  
 stochastic process فرایند تصادفی  
 Markov process فرایند مارکوف  
 Smith normal form فرم اسمیت نرمال

Peron-Ferobenius Theorem قضیه پرون-فروبنیوس  
 Structure Theorem قضیه ساختار  
 strongly connected قویاً همبند

word کلمه  
 basic——اساسی

Kneser graph گراف کنسنر  
 free abelian group گروه آبلی آزاد  
 critical group گروه بحرانی  
 greedoid گریدوید  
 random walk گشت تصادفی

Latin square مریع لاتین

transition matrix ماتریس انتقال  
 relation matrix ماتریس روابط  
 Laplacian matrix ماتریس لاپلاسین

reduced Laplacian matrix	ماتریس لاپلاسین تقلیل یافته
matroid	متروید
dominating set	مجموعه احاطه‌گر
independent	مستقل
linearly independent	مستقل خطی
left-hereditary	موروثی-چپ
locally free	موضعاً آزاد
sink component	مولفه چاهک
strongly connected component	مولفه قویاً همبند
positive semi-definite	نیم-معین مثبت
configuration's weight	وزن آرایش
weakly connected	همبند ضعیف
coloop	هم‌طوقه

# نمایه

- آرایش، ۱۹، ۶، ۴۵  
بازگشتی، ۴۶  
بحرانی، ۴۶  
پایدار، ۴۶  
مرزی، ۴۱  
احتمال انتقال، ۲۶  
الفبا، ۸  
امتیاز، ۷، ۴۵  
انقباض، ۵۳  
اویلری، ۱۹  
بازی دلار، ۴۴  
بازی قانونی، ۷، ۴۵  
بردار تقلیل یافته، ۲۶  
بردار تناوب، ۳۴  
پاد متروید، ۹  
پایه، ۶۰، ۵۲  
پل، ۵۳  
پیشوند، ۸  
پیوسته، ۸۲  
تحویل ناپذیر، ۲۳  
توزیع ایستا، ۲۷
- توسیع آرایش، ۵۴  
جایگشت پذیر، ۸  
چرتکه احتمالاتی، ۴۰  
چندجمله‌ای تات، ۵۲  
حاصل ضرب دکارتی، ۶۷  
خاصیت تبدیل قوی، ۹  
خاصیت تبدیل گردید وید، ۹  
دنباله اولیه، ۴۷  
دنباله بحرانی، ۴۹  
دنباله قانونی، ۶، ۴۵  
دوره تناوب، ۳۴  
راس *b*–احاطه‌گر، ۶۶  
راس آماده، ۶، ۱۹، ۴۵  
راس چاهک، ۱۹  
رتبه زبان، ۱۱  
رتبه زیرگراف، ۵۲  
*b*–رنگ آمیزی، ۶۶  
زبان، ۸  
ساده، ۹  
زمان دسترسی، ۲۸

- زنجیر مارکوف، ۲۷  
 زیر کلمه، ۸
- سطح آرایش، ۵۳  
 سیستم  $\delta$ -احاطه‌گر، ۶۶  
 سیستم نمایندگی مجزا، ۶۸
- شبه‌گروه، ۸۳  
 با حفره، ۸۵  
 خودتوان، ۸۳  
 متقارن، ۸۳  
 نیمه خودتوان، ۸۳  
 شعاع طیفی، ۲۳  
 شلیک، ۴۵، ۱۹، ۶
- طرح اشتاینر، ۸۷  
 طرح سه‌تایی اشتاینر، ۸۳  
 طرح متعادل دوگانه، ۸۴  
 طوقه، ۵۳  
 طول بازی، ۳۷
- عدد  $\delta$ -رنگی، ۶۶  
 عدد درختی، ۵۳  
 عمل سطحی مقدماتی، ۵۹
- فاکتورهای ناوردا، ۶۰  
 فرایند تصادفی، ۲۶  
 فرایند مارکوف، ۲۶  
 فرم اسمیت نرمال، ۶۰
- قضیه پرون-فروینوس، ۲۳  
 قضیه ساختار، ۵۹
- قویاً همبند، ۱۹  
 کلمه، ۸  
 اساسی، ۱۰
- گراف زمینه، ۱۹، ۲۳  
 گراف کنسنتر، ۸۲  
 گروه آبلی آزاد، ۶۰  
 گروه آبلی متناهیاً تولید شده، ۶۰  
 گروه بحرانی، ۵۱  
 گریدوید، ۹  
 گریدوید با تکرار، ۹  
 گشت تصادفی، ۲۷  
 ماتریس  
 انتقال، ۲۷  
 روابط، ۶۱  
 لاپلاسین، ۷  
 تقلیل یافته، ۶۱  
 جهت‌دار، ۲۲
- ماتریس‌ها روی حلقه  $\mathbb{Z}$ ، ۵۹  
 متروید، ۹  
 مجموعه احاطه‌گر، ۸۷  
 مربع لاتین، ۸۳  
 مستقل، ۵۲  
 موروثی-چپ، ۸  
 موضع‌آزاد، ۸  
 مولفه چاهک، ۲۰
- وزن آرایش، ۵۳  
 هم‌طوقه، ۵۳

فصل ۵. نمایه

۱۰۷

همبند ضعیف، ۱۹

# کتاب‌نامه

- [1] ALON N., BALOGH J., BOLLOBÁS B. AND SZABÓ T., *Game domination number*, Discrete Math., 256 (2002), pp. 23–33.
- [2] BAI H., *On the critical group of the  $n$ -cube*, Linear Algebr. Appl., 369 (2003), pp. 251–261.
- [3] BECK J., *Ramsey games*, Discrete Math., 249 (2002), pp. 3–30.
- [4] BIGGS N., *Chip firing and the critical group of a graph*, J. Algebraic Combin., 9 (1999), pp. 25–45.
- [5] ———, *The tutte polynomial as a growth function*, J. Algebraic Combin., 10 (1999), pp. 115–133.
- [6] BIGGS N. AND WINKLER E., *Chip-firing and the chromatic polynomial*, CDAM Research Report Series, LSE-CDAM-97-03, (1997).
- [7] BJÖRNER A. AND LOVÁSZ L., *Chip-firing games on directed graphs*, J. Algebraic Combin., 1 (1992), pp. 305–328.
- [8] BJÖRNER A., LOVÁSZ L. AND SHOR P., *Chip-firing games on graphs*, European J. Combin., 12 (1991), pp. 283–291.
- [9] BJÖRNER A. AND ZIEGLER G., *Introduction to greedoids*, in Matroid Applications, N. White, ed., Cambridge University Press, Cambridge, 1992, pp. 284–357.
- [10] BRYLAWSKI T. AND OXLEY J., *The tutte polynomial and its applications*, in Matroid Applications, N. White, ed., Cambridge University Press, Cambridge, 1992, pp. 123–225.

- [11] CAMERON P., *Combinatorics: Topics, Techniques, Algorithms*, Cambridge University Press, 1996.
- [12] ———, *Introduction to Algebra*, Oxford University Press, Oxford, 1998.
- [13] CORI R. AND ROSSIN D., *On the sandpile group of dual graphs*, European J. Combin., 21 (2000), pp. 447–459.
- [14] ENGEL A., *The probabilistic abacus*, Educ. Stud. in Math., 6 (1975), pp. 1–22.
- [15] ———, *Why does the probabilistic abacus work?*, Educ. Stud. in Math., 7 (1976), pp. 59–69.
- [16] ERICKSSON K., *No polynomial bound for the chip firing game on directed graphs*, Proc. Amer. Math. Soc., 112 (1989), pp. 1203–1205.
- [17] FAIK T., *About the b-continuity of graphs*, Electronic Notes in Discrete Math., 17 (2004), pp. 151–156.
- [18] GODSIL C. AND ROYLE G., *Algebraic graph theory*, Springer-Verlag, New York, 2001.
- [19] GRUNDY P., *Mathematics and games*, Eureka, 2 (1939), pp. 6–8.
- [20] HOÀNG C. AND KOUIDER M., *On the b-dominating coloring of graphs*, Discrete Appl. Math., 152 (2005), pp. 176–186.
- [21] HOORY S., LINIAL N. AND WIGDERSON A., *Expander graphs and their applications*, Bull. Amer. Math. Soc. (N.S.), 43 (2006), pp. 439–561.
- [22] HUNGERFORD T., *Algebra*, Holt, Rinehart and Winston, Inc., New York, 1974.
- [23] IRVING R. AND MANLOVE D., *The b-chromatic number of a graph*, Discrete Appl. Math., 91 (1999), pp. 127–141.
- [24] JACOBSON B., NIEDERMAIER A. AND REINER V., *Critical groups for complete multipartite graphs and cartesian products of complete graphs*, J. Graph Theory., 44 (2003), pp. 231–250.
- [25] KEMENY J. AND SNELL J., *Finite Markov Chains*, Van Nostrand, Princeton, NJ, 1960.

- [26] KORTE B., LOVÁSZ L. AND SCHRADER R., *Greedoids*, in Algorithms and Combinatorics, vol. 4, Springer, Berlin, 1991.
- [27] KOUIDER M. AND MAHÉO M., *Some bounds for the b-chromatic number of a graph*, Discrete Math., 256 (2002), pp. 267–277.
- [28] ——, *The b-chromatic number of the Cartesian product of two graphs*, Studia Sci. Math. Hungar., 44 (2007), pp. 49–55.
- [29] KOUIDER M. AND ZAKER M., *Bounds for the b-chromatic number of some families of graphs*, Discrete Math., 306 (2006), pp. 617–623.
- [30] LINDNER C. AND RODGER C., *Design Theory*, CRC Press, 1997.
- [31] LOVÁSZ L., *Random walks on graphs: A survey*, Combinatorics. Paul Erdős is Eighty, 2 (1993), pp. 1–46.
- [32] MERINO C., *Chip-firing and the tutte polynomial*, Ann. Combin., 1 (1997), pp. 253–260.
- [33] ——, *The chip-firing game*, Discrete Math., 302 (2005), pp. 188–210.
- [34] OMOOMI B. AND JAVADI R., *On the b-coloring of cartesian product of graphs*. submitted.
- [35] ——, *On the b-coloring of kneser graphs*. manuscript.
- [36] RAMEZANI F., *Dominating Coloring in graphs*, Master thesis, Isfahan Univ. of Tech., Isfahan, 2007.
- [37] TARDOS G., *Polynomial bound for a chip firing game on graphs*, SIAM J. Discrete Math., 1 (1988), pp. 397–398.
- [38] TOUMPAKARI E., *On the sandpile group of regular trees*, European J. Combin., 28 (2007), pp. 822–842.
- [39] TUTTE W., *A contribution to the theory of chromatic polynomials*, Canad. J. Math., 6 (1954), pp. 80–91.

- [40] VAN DEN HEUVEL H., *Algorithmic aspects of a chip-firing game*, tech. report, CDAM, 1999.  
LSE-CDAM-99-09.
- [41] ZHU X., *The game coloring number of planar graphs*, J. Combin. Theory Ser. B, 75 (1999),  
pp. 245–258.

## **Abstract:**

This thesis is divided into two parts. In the first part a game or a process on a graph, called chip-firing game has been studied. The chip-firing game is one person game or a diffusion process on a graph. Although it has been around for no more than 20 years, but it has rapidly become an important and interesting object of study in structural combinatorics. The reason for this, is due to its relation with important concepts like random walks, Laplacian matrix, the Tutte polynomial, the chromatic polynomial, algebraic graph theory, group theory and theoretical physics. So far many variants of the chip-firing game have been defined and studied. In this part we survey results on the chip-firing game on graphs, directed graphs, and also a variant of it called dollar game and overview the numerous connections that the chip-firing game has with some other parts of combinatorics.

In the second part we answer to some open problems on a kind of vertex coloring on graphs called  $b$ -coloring. In this part the  $b$ -coloring of cartesian products of paths, cycles and complete graphs, also Kneser graphs has been studied.



**Isfahan University of Technology**

Department of Mathematical Sciences

# Chip-firing game and the $b$ -coloring on graphs

A Thesis

Submitted in partial fulfillment of the requirements

for the degree of Master of Science

**By**

**RAMIN JAVADI JOURTANI**

Evaluated and Approved by the Thesis Committee, on August 16, 2007

1- Behnaz Omoomi, Asistant Professor (Supervisor)

2- Seyed Ebadollah Mahmoodian, Professor (Advisor)

3- Bijan Taeri, Associated Professor (Examiner)

4- Gholamreza Omidi, Asistant Professor (Examiner)

Department Graduate Coordinator